



Parameteridentifikation för matematisk modell beskrivande tumörcellers och makrofagers inter- aktioner

Identification of parameters describing tumour- macrophages interactions

Examensarbete för kandidatexamen i matematik vid Göteborgs universitet

Kandidatarbete inom civilingenjörsutbildningen vid Chalmers

Ellinor Sorpola Svenningsson

Jonatan Bertolozzi

Karl Olsson-Lalor

Regina Gustavsson

Parameteridentifikation för matematisk modell beskrivande tumörcellers och makrofagers interaktioner

Examensarbete för kandidatexamen i matematik inom Matematikprogrammet, inriktning Tillämpad matematik, vid Göteborgs universitet

Ellinor Sorpola Svenningsson

Kandidatarbete i matematik inom civilingenjörsprogrammet Kemiteknik med Fysik vid Chalmers

Karl Olsson-Lalor

Kandidatarbete i matematik inom civilingenjörsprogrammet Bioteknik vid Chalmers
Regina Gustavsson Jonatan Bertolozzi

Handledare: Larisa Beilina

Institutionen för Matematiska vetenskaper
CHALMERS TEKNISKA HÖGSKOLA
GÖTEBORGS UNIVERSITET
Göteborg, Sverige 2023

Förord

Vi vill börja med att tacka vår handledare Larisa Beilina för sitt gedigna engagemang och det stöd hon har givit oss under hela kandidatarbetet. Under de regelbundna mötena med henne har vi fått flera bra förslag på både källor och utvecklingsmöjligheter i projektet. Larisa har även varit väldigt hjälpsam vid felsökning vilket möjliggjorde ett effektivt arbete. Vi vill dessutom rikta ett tack till biblioteket och Avdelningen för fackspråk och kommunikation för den handledning vi fått.

Under projektets gång har gruppen hållit veckovisa planeringsmöten för att strukturera arbetet och diskutera tidigare samt kommande arbetsuppgifter. Den övergripande planeringen för hela projektet har utgått från den planeringsrapport som skrevs i början av arbetet. Gruppen har kontinuerligt skrivit en dagbok som agerat dokumentation över gemensamt och individuellt arbete. Dessutom har all tid som lagts på projektet loggats individuellt.

Redan tidigt i projektet insågs det att gruppen väldigt effektivt kunde jobba gemensamt, just på grund av gruppstorleken och projektets utformning. Detta blev tydligt under inläsning av material från handledare då det resulterade i omfattande diskussioner vilket även var viktigt för gruppens förståelse av metoden. För att fortsatt kunna diskutera de problem som uppkom under projektets gång valde gruppen att sitta tillsammans under de, av Chalmers tekniska högskola, schemalagda tillfällen med undantag för schemakrockar och sjukdom.

Rapportskrivningen har pågått kontinuerligt under hela arbetet och alla gruppmedlemmar har bidragit till den resulterande texten. Detta gäller även för de delar där enbart några få benämns som huvudförfattare/delförfattare. I dessa avsnitt kan övriga gruppmedlemmar exempelvis ha bidragit med diskussion, omskrivningar eller delar av kod/text. Den huvudsakliga uppdelningen redovisas i följande tabell.

Ansvarsfördelning i rapportskrivandet

Författare	Huvudansvar i avsnitt	Delförfattare i avsnitt
Ellinor	1.1, 4.1, 7.3, B.1, C.1, C.2, D.3	4.2, 5.2, 7
Jonatan	2, 3.1, 5.1.1, 5.2, 7.2, C.3, D.2, D.3, E	1, 3, 7
Karl	Pp ¹ , SA ² , 4.2, 5.1.0 ³ , 5.2, 7.0 ³ , B.2, D.1	1.2, 7, C.1
Regina	2, 3.2, 6, 7.1, C.2, F	Pp ¹ , 1.0 ³ , 7

Ansvarsområden utanför rapporten fördelades enligt:

- Ellinor: Hon hade tillsammans med Karl huvudansvar i framtagandet av derivatorna som användes i Lagrangefunktionen. Hon hade även ansvar över att skriva in alla referenserna till rapporten och studerade samt felsökte tillhandahållen kod tillsammans med Jonatan.
- Jonatan: Han skrev koden för datautjämnningen i MATLAB och studerade samt felsökte tillhandahållen kod tillsammans med Ellinor.
- Karl: Han hade tillsammans med Ellinor huvudansvar i framtagandet av derivatorna som användes i Lagrangefunktionen. Han skrev även koden för känslighetsanalysen och grunden för de explicita beräkningarna.
- Regina: Hon hade ansvar för vidareutveckling och felsökning av de explicita beräkningarna. Hon hade även huvudansvar för de figurer och grafer som visas i rapporten.

¹ Populärvetenskaplig presentation.

² Sammandrag; abstract.

³ Inledning av avsnitt betäcknas med ".0". Exempelvis 5.1.0 innebär avsnitt 5 fram till 5.1.

Populärvetenskaplig presentation

Kan matematik användas för att hjälpa bota cancer?

Cancer är en av de största folkhälsoutmaningarna i världen och har en stor inverkan på samhället, både ekonomiskt och livskvalitetsmässigt för de drabbade. Till följd av att människor lever längre, våra levnadsvanor samt förbättrad screeningteknik har antalet bekräftade fall ökat, och då det inte finns något botemedel görs det stora satsningar på att förbättra förutsättningarna för de utsatta.

På individnivå kan cancers utvecklingsförlopp variera kraftigt från person till person även om det handlar om samma cancertyp. I en del fall kan tumörcellernas tillväxtförlopp bromsas in genom olika behandlingar som strålbehandling, immunterapi eller operationer. Det sker hela tiden mängder av ny forskning inom området för att hitta mer precisa och pålitliga metoder för att utveckla behandlingsstrategier och förutspå tumörtillväxt. Idag baseras ofta uppskattningarna av förloppet på klinisk erfarenhet och statistik, och även om prognostisering generellt har förbättrats med åren råder det fortfarande en stor variation i dess tillförlitlighet [10][11].

För att studera de variationer som finns i cancertillväxten mellan olika individer har en mängd matematiska modeller tagits fram [9] [6]. Dessa modeller framställer en bild av tillväxten av cancer- och immunförsvars-celler genom att med ekvationer beskriva hur de påverkar varandra. Dessa ekvationer består av olika termer vilka representerar specifika fenomen som sker i samspelet mellan de olika cellerna, exempelvis att immunförsvarsceller dödar cancerceller. Vissa av frekvenserna som dessa fenomen sker i har tagits fram experimentellt av biologer. Resterande frekvenser tros variera mellan individer vilket kan vara orsaken till att cancers utvecklingsförlopp är svårt att förutse.

I stället för att experimentellt ta fram dessa frekvenser syftar detta projekt på att göra det matematiskt genom att analysera en redan framtagen modell. Genom att studera en del av tumörcellens tillväxtförlopp kan matematik användas för att visa vilka värden dessa frekvenser måste ha haft för att just det tillväxtförloppet skulle ske. När dessa frekvenser identifierats är förhoppningen att de i kombination med modellen ska kunna användas för att visa hur tumören kommer fortsätta utvecklas framåt i tiden. Denna metod hoppas då kunna ge mer tillförlitliga uppskattningar av förloppet än de som används i nuläget.

Tillvägagångssättet att hitta dessa frekvenser som främst används i detta projekt är något som kallas explicit beräkning. I de fall där man vet alla utom en frekvens kan denna metod användas för att beräkna denna. För att göra detta skrivs ekvationerna i modellen om på sådant sätt att den okända frekvensen enkelt kan beräknas numeriskt. För att bestämma flera frekvenser samtidigt kan något som heter konjugerade gradientmetoden användas vilket är något som påbörjats men kräver mer forskning. Denna metod går ut på att först gissa ett värde på frekvenserna och sedan optimera det. Genom att optimera gissningen flera gånger närmar sig de faktiska frekvensvärdena de frekvenserna som bäst lämpar sig för att beskriva den aktuella tillväxten av tumör- och immunförsvars-cellerna.

Kan då dessa frekvenser bestämmas? Ja, med en del begränsningar. Tillväxtförloppen studeras över ett tidsintervall på 20 dagar. Att beräkna en frekvens fungerar bra för de senare delarna av tidsintervallet, från dag 6 ungefär, men ger väldigt opålitliga resultat i början. Anledningen till detta är något som kallas avrundningsfel, ett fel som sker på grund av att beräkningsprogrammet inte klarar av tillräckligt små tal. Detta innebär att beräkningsprogrammet avrundar dessa tal tidigare och oftare än vad den borde, vilket kan leda till stora fel. På grund av detta fel i beräkningen av endast en frekvens förväntas liknande problem uppstå när flera frekvenser ska bestämmas samtidigt, det vill säga att de första dagarna inte ger pålitliga resultat. För att verifiera detta och eventuellt lösa de problem som uppstått krävs ytterligare utredning och forskning.

Sammandrag

Det finns sedan tidigare en mängd matematiska modeller som beskriver tumörcellers tillväxt och interaktioner med makrofager i kroppen. I projektet studerades en av dessa vilken beskriver tillväxtförloppet av malignt melanom i möss. Modellen innehåller ett antal parametrar varav några är oidentifierade. Huvudsyftet med projektet var att utveckla de redskap som krävs för att identifiera parametervärdena med målsättningen att kunna använda modellen för att förutspå tumörtillväxten i en individ.

För att först undersöka modellen och dess egenskaper, genomfördes en känslighetsanalys och en steady state-analys. Känslighetsanalysen visade hur de okända parametrarna påverkar tumörens samt makrofagernas tillväxt; steady state-analysen visade hur parametrarna påverkar modellens asymptotiska beteenden. I syfte att bestämma modellens oidentifierade parametrar beskrevs metoder för att göra detta explicit samt genom att använda en algoritm för att optimera en initialestimering. De explicita beräkningarna, som gjordes för en parameter i taget, studeras numerisk vilket resulterade i stora avvikelser början av tumörtillväxten.

Resultatet från de explicita beräkningarna ledde till hypotesen att samma avvikelser skulle uppstå även vid användning av optimeringsalgoritmen.

Abstract

There are a number of mathematical models that describe tumour cell growth and interactions with macrophages in the body. The project studies one of these already existing models, (3.1), describing the development of malignant melanoma in mice using parameters, some of which are unidentified. The aim of the project is to develop the tools required to identify these with the end goal that the model can be used to predict tumour growth in people.

Firstly, to study the model and its properties, sensitivity- and steady state-analyses were carried out. The sensitivity analysis showed how the unidentified parameters affect the outcome of tumour and macrophage growth; the steady state-analysis showed how the parameters affect the model's asymptotic behaviour. With the purpose to identify the parameters methods were described to either explicitly calculate these, or use an algorithm to optimize an initial estimate of them. The explicit calculations, which can only be done for one parameter at a time, were studied numerically which resulted in large deviations from the correct values at the early stages of tumour growth.

The results from the numerical studies led to the hypothesis that the same deviations would arise in use of the optimization algorithm.

Innehåll

1	Inledning	1
1.1	Syfte	1
1.1.1	Problemformulering	1
1.2	Samhälliga och etiska aspekter	1
2	Biologisk bakgrund	2
2.1	Tumörceller	2
2.1.1	Hudcancer celler	2
2.2	Makrofager	2
2.2.1	T-hjälparceller	2
2.2.2	Polarisering och repolarisering	3
3	Modellbeskrivning	3
3.1	Modellavgränsningar	3
3.2	System av differentialekvationer och parameterbeskrivning	3
4	Modellanalys	4
4.1	Analys av steady states	5
4.2	Modellens känslighet till variation av parametrar	6
5	Parameteridentifikationsproblem, PIP	9
5.1	Explicit beräkning av en oidentifierad parameter	9
5.1.1	Diskretiserings- och avrundningsfel	10
5.1.2	Chebyshev noder	11
5.2	Approximation av flera oidentifierade parametrar	11
5.2.1	Tikhonovs regulariseringsfunktional	11
5.2.2	Lagrangemetoden	12
5.2.3	Lagrangefunktionens partialderivator	13
5.2.4	Bakåtproblemet	14
5.2.5	Konjugerade gradientmetoden	15
6	Resultat från explicit beräkning av en parameter	16
6.1	Jämförelse mellan original ekvationer och förenklade ekvationer	16
6.2	Explicit beräkning med Chebyshev noder	18
7	Diskussion	19
7.1	Tolkning av resultat	19
7.2	Utvärdering av projektets begränsningar	20
7.3	Framtida forskning och hypoteser	20
	Referenser	21
A	Appendix 1 – Definitioner	i
A.1	Fréchetderivatan	i
A.2	Definition av rum	i
A.2.1	Sobolev-rum	i
A.2.2	Hilbert-rum	ii
B	Appendix 2 – Bevis	iii
B.1	Analys av steady states	iii
B.2	Derivator	vi
B.3	Härledning av andra ordningens finita differens	x
C	Appendix 3 – Newtons metod	xii
C.1	Newtons metod för lösning av framåtproblemet	xii
C.2	Newtons metod för lösning av bakåtproblemet	xii

C.3	Analys av Newtons metod	xiii
D	Appendix 4 – Datautjämning	xvi
E	Appendix 5 – Explicit beräkning av en parameter	xvii
E.1	Val av lösare samt förenkling av modell	xvii
E.1.1	Jämförelse mellan originalekvationer och förenklade ekvationer	xx
E.2	Tillämpning av Chebyshev noder	xxii
E.3	Chebyshev och steady state	xxv
F	Appendix 6 – Källkod	xxix

1 Inledning

Cancer är en av de största folkhälsoutmaningarna som drabbat samhället vilket innebär att framsteg och ny forskning kan få betydande implikationer. En av de stora utmaningarna med cancer är att det finns stora variationer i hur den uttrycker sig och tumörcellernas tillväxt, vilket gör den väldigt svårbehandlad. Anledningarna till dessa variationer är att cancer är ett samlingsnamn för en mängd olika sjukdomar. Dessa definieras alla av olika sjukdomsmekanismer som varierar beroende på vilken vävnad tumören växer i. Detta medför att behandlingsplanen måste anpassas till varje enskild patient baserat på faktorer som cancertyp, sjukdomsstadium, patientens allmäntillstånd och personliga preferenser. Detta understryker behovet av ökad förståelse kring tumörtillväxt.

I och med framgångar inom immunologi, har flera matematiska modeller beskrivande interaktioner mellan immunförsvaret och cancertumörer tagits fram [16]. Modellerna gör det möjligt att bland annat skapa nya empiriskt testbara hypoteser och kan hjälpa till att förutsäga tumörcellernas utveckling. Detta hade således kunnat agera som stöd vid diagnostisering och utvärdering av sjukdomsbild vid val av behandling. Fungerande modeller innebär även nya möjligheter för att utforska strategier för cancerbehandling vilka tidigare dömts vara för dyra, svårapplicerade eller riskfyllda. Till exempel går det på olika nivåer att ratificera valet av behandlingsmetod beroende på hur akut patientens tillstånd är och hur den förutspådda tillväxtbilden ser ut.

Projektet bygger på en redan befintlig tillväxtmodell för malignt melanom [6]. Modellen beskriver kinetiken för tumörtillväxt och formuleras som ett system av ordinära differentialekvationer, ODE, vilket innehåller flera parametrar med fysiologisk innebörd. Vissa av dessa parametrar har experimentellt framtagna värden, medan andra endast har en uppskattad storleksordning.

1.1 Syfte

Syftet med arbetet är att utveckla en metod för att identifiera parametrar i en förenklad modell beskrivande interaktionen mellan immunförsvaret och hudcancertumörer. Målet är även att påbörja implementering och utvärdering av metoden för den givna modellen.

1.1.1 Problemformulering

Den givna modellen producerar tillväxtkurvor för två olika typer av immunceller och för tumörcellerna givet värden på ett antal parametrar. Vissa av dessa parametrar är konstanta i tiden och har redan framtagna värden medan resterande enbart har uppskattade intervall. Det är de senare som önskas identifieras. Detta kan göras för en parameter i taget, om de andra antas ha kända värden, genom att göra en explicit beräkning av den oidentifierade parametererna. För flera oidentifierade parametrar kan man utveckla en optimeringsalgoritm med hjälp av Tikhonovs regleringsfunktional som ger de önskade parametervärdena.

Identifiering av parametrar kräver bra initialestimeringar. Valet av startvärden underlättas av en känslighetsanalys och en steady state-analys. Känslighetsanalysen kan användas för att hitta parametervärden som ger mindre skillnader i tillväxtkurvorna medan steady state-analysen kan användas för att hitta punkter där tillväxten sker långsamt. Steady state-analysen ger även en bild av systemets asymptotiska beteenden.

1.2 Samhälliga och etiska aspekter

De approximerade värdena för modellens olika parametrar bygger till stor del på data som är insamlad från experiment på möss [14]. Projektets användning av datan motiveras av att denna förhoppningsvis ska leda till optimering av cancerbehandling vilket i sin tur leder till mindre smärta för patienter samt färre dödsfall. Användningen av data insamlad från djurförsök är nödvändigt vid framtagande av modellen för att upprätthålla pålitligheten [31]. Detta i kombination med att det inte utförts några djurförsök i projektet anses tillräckligt som motivering.

2 Biologisk bakgrund

Biologiska system kan definieras som komplexa nätverk av sammankopplade processer och interaktioner mellan organismer, celler samt molekyler. Systemen är oftast dynamiska och påverkas av ett flertal faktorer. I följande avsnitt beskrivs de mest relevanta processerna och begreppen för att förstå modellen i projektet.

2.1 Tumörceller

Av en mängd olika anledningar kan det ske mutationer i cellernas DNA vilka i vissa fall kan leda till bildandet av tumörceller. Effekten av dessa blir att cellens mekanismer för reglering av celledelning och tillväxt slås ut, vilket resulterar i en obegränsad celltillväxt. Med tiden kan tumörtillväxt leda till att tumörcellerna invaderar och skadar intilliggande vävnader. Vidare kan tumörceller, genom metastasering, orsaka skada i avlägsna delar av kroppen via transport genom att via lymf- och blodkärl kolonisera frisk vävnad.

De immunogena egenskaperna hos en tumörcell påverkas av flera faktorer, såsom omfattningen av DNA-mutationer, de specifika förhållandena i tumörens mikromiljö samt tumörcellernas interaktioner med kroppens immunceller. Tumörceller kan klassificeras ytterligare beroende på deras immunogenicitet, det vill säga i vilken grad de utlöser immunsvaret eller ej. Tumörcellerna delas därmed upp i två klasser: de som lätt känns igen av immunförsvaret och de som undgår detektion [29]. Därför är det fortfarande en utmaning att utveckla målinriktade terapier för att bekämpa tumörceller med låg immunogenicitet.

2.1.1 Hudcancer

Under de senaste årtiondena har antalet diagnostiserade med hudcancer ökat och det är idag en av de vanligaste cancerformerna [15]. Det finns flera olika sorters hudcancer vilka brukar delas in i två huvudgrupper: icke-melanocytisk hudcancer och malignt melanom. Malignt melanom uppstår då tumörcellerna bildas i hudens melanocyter, pigmentsproducerande celler, medan icke-melanocytisk hudcancer bildas i andra sorters hudceller. Icke-melanocytisk hudcancer är vanligare men malignt melanom är ofta mer aggressivt. Malignt melanom visar sig ofta som pigmentfläckar i huden och det är ofta tillräckligt att operera bort dessa hudförändringar [13]. I en del fall där detta är otillräckligt är det nödvändigt att använda andra behandlingar, exempelvis strålning.

2.2 Makrofager

Immunförsvaret kan delas in i två delar: det adaptiva (specifika) immunförsvaret och det medfödda (ospecifika) immunförsvaret [27]. Det adaptiva immunförsvaret består bland annat av T-celler och B-celler, vilka försvarar kroppen med hjälp av specifika antikroppar vilket gör det väldigt precist, till skillnad från det medfödda immunförsvaret. Vid infektion agerar det medfödda immunförsvaret som kroppens första försvar, detta inkluderar bland annat neutrofiler och makrofager. Makrofager är immunförsvarets celler vars viktigaste funktion är att skydda kroppen mot okända molekyler och patogener, främmande smittoämnen [12].

M1- och M2-makrofagerna är två olika sorters celler i det medfödda immunförsvaret vilka har motsatta roller kopplat till tumörtillväxten [26]. Genom att reglera hur immuncellerna svarar på närvaron av T-hjälparcellerna Th1 och Th2 hindrar M1 spridningen av patogena celler medan M2 agerar främjande. Förekomsten av T-hjälparcellerna reglerar i sin tur även makrofagerens aktivitet där Th1 inaktiverar M2 och Th2 inaktiverar M1.

2.2.1 T-hjälparceller

Th1 och Th2 är så kallade T-hjälparceller vilket är en grupp T-celler, eller T lymfocyter som de även kallas [2]. På T lymfocyternas membran finns olika receptorprotein som känner igen specifika smittoämnen. Speciellt för gruppen T-celler som Th1 och Th2 tillhör, är att de alla har samma sorts receptorprotein [8]. Th1 och Th2 producerar olika cytokiner, signalmolekyler, som reglerar immunförsvarets funktion. M1 makrofagerna förstärker Th1-cytokinernas aktiverande påverkan medan Th2-cytokinerna, som istället gynnas av M2, skapar en antiinflammatorisk effekt.

M1-makrofager utsöndrar cytokiner som förstärker aktiveringen av Th1-celler, som i sin tur aktiverar M1-makrofager. Denna positiva återkoppling förstärker immunsvaret mot patogener.

2.2.2 Polarisering och repolarisering

I den miljön som omger en tumör, känd som tumörens mikromiljö, återfinns som bekant både M1- och M2-makrofager. Polarisering beskriver processen genom vilken makrofager, även tumörassocierade makrofager, erhåller en distinkt funktionell fenotyp som svar på stimuli från mikromiljön. Alltså specialiseras cellernas funktion och beteende [24]. För de tumörassocierade makrofagera resulterar polarisering i huvudfenotyperna: M1 och M2. Dessa fenotyp uppvisar som nämnts i avsnitt 2.2 olika egenskaper och har motsatta roller i mikromiljön [23]. Notera att polarisering inte är en binär process med distinkta utfall utan bör istället betraktas som ett kontinuum med kontinuerliga tillstånd som makrofagera kan anta baserat på stimuli och signaler i deras omgivning [23].

Repolarisering beskriver istället processen då den funktionella fenotypen hos en cell förändras från ett tillstånd till ett annat. I sammanhanget för tumör associerade makrofager innebär repolarisering att fenotypen skiftar från M1 till M2 eller vice versa. Repolariseringshastigheten påverkas av en rad olika faktorer och kan variera över tid och även i olika delar av tumören.

3 Modellbeskrivning

Modellen som används i projektet beskriver interaktionen mellan tumörceller samt M1- och M2-makrofager. Denna är tagen från [6] vilken baseras på modellen från [9] med anpassning för vissa avgränsningar.

3.1 Modellavgränsningar

Avgränsningarna i [6] behandlar bland annat de ekvationer i [9] som modellerar kinetiken för Th1- och Th2-celler, vilka inte inkluderas. Modellen tar inte heller hänsyn till skillnaden mellan olika sorters tumörceller eller det faktum att de reagerar olika på cytokiner. Eftersom det inte görs någon urskiljning mellan tumörceller med olika immunogenicitet kan även uttrycken för mutation mellan de olika celltyperna bortses från.

Värt att nämna är även att polarisering är en komplicerad process och är därav svår att simulera. I [9] har detta därav förenklats så att representationen blir binär. Repolariseringen har sedan förenklats ytterligare i [6] så att bara en variant tas hänsyn till.

Utöver dessa förenklingar antas i detta projekt att alla okända parametrar som önskas identifieras har konstanta värden. Detta till skillnad från att de skulle vara funktioner av tiden som de beskrivs i den ursprungliga formuleringen av problemet.

Alla förenklingar av det biologiska systemet syftar till att omformulera ekvationssystemet för att på så vis underlätta framtagandet av parametervärden.

3.2 System av differentialekvationer och parameterbeskrivning

Med anpassning för modellavgränsningarna ges följande system av differentialekvationer

$$\frac{dx_T}{dt} = rx_T \left(1 - \frac{x_T}{\beta_T}\right) - d_{M1}x_{M1}x_T + d_{M2}x_{M2}x_T, \quad (3.1a)$$

$$\frac{dx_{M1}}{dt} = a_{t1}x_Tx_{M1} \left(1 - \frac{x_{M1} + x_{M2}}{\beta_M}\right) - \delta_{M1}x_{M1} - k_{12}x_{M1}x_T, \quad (3.1b)$$

$$\frac{dx_{M2}}{dt} = a_{t2}x_Tx_{M2} \left(1 - \frac{x_{M1} + x_{M2}}{\beta_M}\right) - \delta_{M2}x_{M2} + k_{12}x_{M1}x_T. \quad (3.1c)$$

Variablerna x_T , x_{M1} och x_{M2} betecknar densiteten av tumörceller, M1 makrofager respektive M2 makrofager, vars tillväxt beskrivs av (3.1). Parametrarna i (3.1) beskrivs i tabell 1.

Tabell 1: Definition av parametrar.

Parameter	Beskrivning	Parametervärden	Ref.
r	Tumörens spridningshastighet	$0,93 \frac{1}{\text{dag}}$	[14]
β_T	Bärkapacitet för tumörer	$3 \cdot 10^9$ celler	[18] [20]
d_{M1}	Hastigheten M1 makrofager dödar tumörceller	$10^{-11} - 10^{-7} \frac{1}{\text{dagar} \cdot \text{celler}}$	[6]
d_{M2}	Hastigheten M2 makrofager bidrar till tumörtillväxt	$10^{-12} - 10^{-8} \frac{1}{\text{dagar} \cdot \text{celler}}$	[6]
a_{t1}	Medelhastigheten för aktivering och rekrytering av M1 makrofager till tumören	$10^{-10} - 10^{-6} \frac{1}{\text{dagar} \cdot \text{celler}}$	[6]
a_{t2}	Medelhastigheten för aktivering och spridning av M2 makrofager vid tumören	$10^{-12} - 10^{-8} \frac{1}{\text{dagar} \cdot \text{celler}}$	[6]
β_M	Bärkapacitet för makrofager	$9 \cdot 10^8$ celler	[20]
δ_{M1}	Dödshastighet för M1 makrofager	$0,173 \frac{1}{\text{dag}}$	[17] [21]
δ_{M2}	Dödshastighet för M2 makrofager	$0,173 \frac{1}{\text{dag}}$	[17] [21]
k_{12}	Hastigheten M1 makrofager repolariseras till M2 makrofager i närvaro av cytokiner och andra tillväxtfaktorer producerade av tumörcellerna	$10^{-12} - 10^{-7} \frac{1}{\text{dagar} \cdot \text{celler}}$	[6]

Relationerna i (3.1) har tagits fram efter vissa antaganden som förklaras kort nedan.

- För att ta hänsyn till den minskade tumörtillväxten vid stora tumörcellspopulationer i (3.1a) så antas den ha en logistisk tillväxthastighet, r , upp till bärkapaciteten för tumörer, β_T . Tumörcellerna kommer även elimineras av M1 makrofager med en hastighet d_{M1} samtidigt som M2 makrofager inducerar tillväxt med en hastighet d_{M2} .
- Ekvation (3.1b) beskriver istället tillväxtdynamiken av M1 makrofager vilka, vid tumören, aktiveras och ansamlas med hastigheten a_{t1} upp till makrofagernas bärkapacitet, β_M . Cellernas halveringstid är $\frac{1}{\delta_{M1}}$ och de repolariseras till M2 makrofager med en hastighet k_{12} .
- Tillväxtdynamiken av M2 makrofager beskrivs av (3.1c), där a_{t2} betecknar aktivering och ansamling av M2 makrofager vid tumören. Tillsammans med M1 makrofager antas de dela bidrag till det totala makrofagbeståndet. $\frac{1}{\delta_{M2}}$ betecknar M2 makrofagernas halveringstid.

De oidentifierade parametrarna samlas i parametervektorn $\alpha = (d_{M1}, d_{M2}, a_{t1}, a_{t2}, k_{12})$ med intervall enligt tabell 2.

Tabell 2: Okända parametrar samt deras uppskattade parameterintervall.

Parameter	d_{M1}	d_{M2}	a_{t1}	a_{t2}	k_{12}
Parameterintervall	$10^{-11} - 10^{-7}$	$10^{-12} - 10^{-8}$	$10^{-10} - 10^{-6}$	$10^{-12} - 10^{-8}$	$10^{-12} - 10^{-7}$
Mellanvärde	10^{-9}	10^{-10}	10^{-8}	10^{-10}	$5 \cdot 10^{-10}$

4 Modellanalys

Eftersom det saknas analytiska lösningar ekvationerna i modellen är det lämpligt att undersöka problemet för att analysera hur val av parametrar och initialvärden påverkar lösningen för olika tidsintervall.

4.1 Analys av steady states

För att få en uppfattning om lösningskurvornas beteenden längre fram i tiden studerar man steady state, en punkt där tidsderivatorna för $\mathbf{x}(t)$ är noll.

Det finns flera egenskaper steady state kan ha, bland annat kan de vara instabila, stabila eller asymptotiskt stabila. Låt $f(\mathbf{x}) = \dot{\mathbf{x}} := \frac{d\mathbf{x}}{dt}$ och låt $f : G \rightarrow \mathbb{R}^N$ där f är kontinuerlig och G är en öppen icke-tom mängd i \mathbb{R}^N . För definitionen av stabil och asymptotiskt stabil följer nedan modifierade varianter av motsvarande definitioner (5.1 och 5.14) ur [22].

Definition 4.1. [22] Ett steady state \mathbf{x}^* sägs vara stabilt om det, för alla $\epsilon > 0$, finns ett $\delta > 0$ sådant att, för varje maximal lösning $\mathbf{x} : I \rightarrow G$ till $f(\mathbf{x})$ med $\mathbf{x}(0) = \xi$, $0 \in I$ och $\|\mathbf{x}(0) - \mathbf{x}^*\| \leq \delta$ gäller att

$$\|\mathbf{x}(t) - \mathbf{x}^*\| \leq \epsilon \quad \forall t \in I \cap \mathbb{R}_+.$$

Om ett steady state inte är stabilt sägs det vara instabilt.

Definition 4.2. [22] Ett steady state \mathbf{x}^* sägs vara attraherande om det finns ett $\delta > 0$ sådant att, för varje $\xi \in G$ med $\|\xi - \mathbf{x}^*\| \leq \delta$, gäller att lösningen $\mathbf{x}(t) = \varphi(t, \xi)$ till $f(\mathbf{x})$ med $\mathbf{x}(0) = \xi$ existerar på \mathbb{R}_+ och $\varphi(t, \xi) \rightarrow \mathbf{x}^*$ då $t \rightarrow \infty$. Vi säger att \mathbf{x}^* är ett asymptotiskt stabilt steady state om det både är stabilt och attraherande.

Definition 4.2 innebär att en lösningskurva som startar i en punkt tillräckligt nära ett asymptotiskt stabilt steady state, kommer att närma sig detta steady state.

De fall av steady state som identifierats till (3.1) presenteras i [6] men har korrigerats och samlats i följande sats.

Sats 4.1. Alla möjliga steady state till (3.1) med $\mathbf{x}(t) \geq 0$ och $\alpha > 0$ kan skrivas på någon av följande former:

1. $\mathbf{x}^* = (0, 0, 0)$,

2. $\mathbf{x}^* = (\beta_T, 0, 0)$,

3. $\mathbf{x}^* = \left(x_T^*, 0, \frac{r}{d_{M2}} \left(\frac{x_T^*}{\beta_T} - 1\right)\right)$,

där $x_T^* = \frac{d_{M2}\beta_T\beta_M}{2a_{t2}r} \left[\left(a_{t2} + \frac{a_{t2}r}{d_{M2}\beta_M}\right) \pm \sqrt{\left(a_{t2} + \frac{a_{t2}r}{d_{M2}\beta_M}\right)^2 - \frac{4a_{t2}r\delta_{M2}}{\beta_T\beta_M d_{M2}}}\right]$,

4. $\mathbf{x}^* = (x_T^*, x_{M1}^*, x_{M2}^*)$,

där sambandet mellan x_T^* , x_{M1}^* och x_{M2}^* beskrivs av följande uttryck:

$$x_{M1}^* = \frac{r}{d_{M1}} \left(1 - \frac{x_T^*}{\beta_T}\right) + \frac{d_{M2}}{d_{M1}} x_{M2}^*,$$

$$a_{t2}x_{M2}^* \left(\frac{\delta_{M1}}{a_{t1}} + \frac{a_{t2}}{a_{t1}} x_T^*\right) - \delta_{M2}x_{M2}^* + a_{t2}x_T^* \left(\frac{d_{M2}x_{M2}^*}{d_{M1}} + \frac{r}{d_{M1}} \left(1 - \frac{x_T^*}{\beta_T}\right)\right) = 0.$$

För bevis se appendix B.1.

För att avgöra om ett steady state är instabilt används följande modifierade version av sats 5.31 från [22].

Sats 4.2. [22] Låt f vara differentierbar i punkten $0 \in G$ och låt $f(0) = 0$. Om matrisen

$$A := (Df)(0) = ((\partial_j f_i)(0))_{1 \leq i, j \leq N}$$

har ett egenvärde med positiv realdel så är 0 ett instabilt steady state.

Med hjälp av sats 4.2 kan man komma fram till följande sats om stabiliteten hos de två första steady state.

Sats 4.3. De första två steady state som identifierats i sats 4.1 har klassificerats som följande:

1. $\mathbf{x}^* = (0, 0, 0)$ är instabil.
2. $\mathbf{x}^* = (\beta_T, 0, 0)$ är instabil.

För bevis se appendix B.1. På grund av komplexiteteten av steady state 3 och 4 i sats 4.1 görs ingen motsvarande analys av deras stabilitet.

Det vi kan säga om steady state $\mathbf{x}^* = (0, 0, 0)$ är att alla lösningar som startar i punkten $\mathbf{x}_0 = (x_{T0}, x_{M10}, x_{M20})$ tillräckligt nära \mathbf{x}^* kommer röra sig bort från \mathbf{x}^* om $x_{T0} > 0$ eftersom tidsderivatan av x_T då blir positiv i (3.1). Om $x_{T0} = 0$ kommer lösningskurvan gå mot \mathbf{x}^* eftersom tidsderivatorna av x_{M1} och x_{M2} då blir negativa.

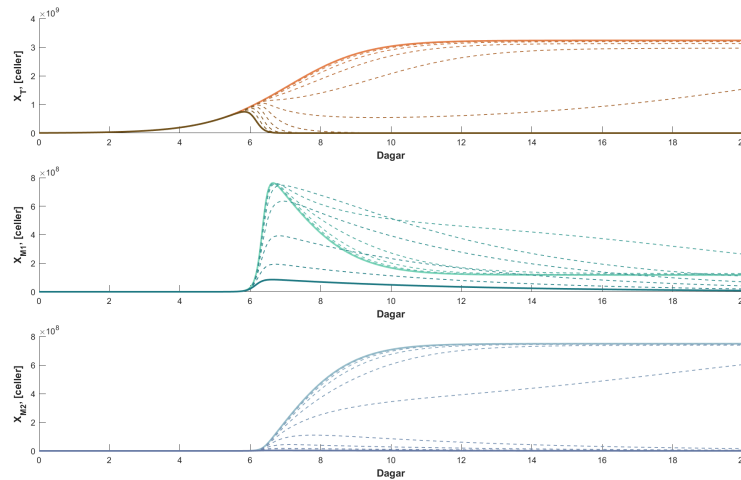
Om $\mathbf{x}^* = (\beta_T, 0, 0)$ kan vi säga att lösningskurvan som startar i punkten $x_0 = (x_{T0}, 0, 0)$ där $x_{T0} > 0$, kommer att gå mot \mathbf{x}^* . Detta kan vi se eftersom tidsderivatorna av x_{M1} och x_{M2} i (3.1) blir noll samtidigt som tidsderivatan av x_T är positiv tills det att lösningskurvan närmar sig punkten \mathbf{x}^* där derivatan är noll.

Det finns en möjlighet att punkter på någon av formerna 3 eller 4 beskrivna i sats 4.1 är asymptotiskt stabila steady state och att lösningskurvor därmed rör sig mot någon sådan punkt. Detta undersöks inte närmare i denna rapport.

4.2 Modellens känslighet till variation av parametrar

För att visualisera parametrarnas inverkan på den numeriska lösningen av modellen togs ett flertal lösningskurvor fram för olika värden på de oidentifierade parametrarna.

Figureorna 4.1, 4.2, 4.3, 4.4 och 4.5 fås genom att variera enbart en parameter i taget och låta de resterande parametrarna, med konstanta värden, anta deras respektive mellanvärde enligt tabell 2. Resultatet visar känsligheten för variation av endast en parameter och kan ge insikt i parametrarnas signifikans i modellen. För färggradienterna som används i figurerna representerar de mörkare tonerna högre parametervärden gentemot de ljusa och de heldragna linjerna motsvarar parameterintervallets ändvärden.

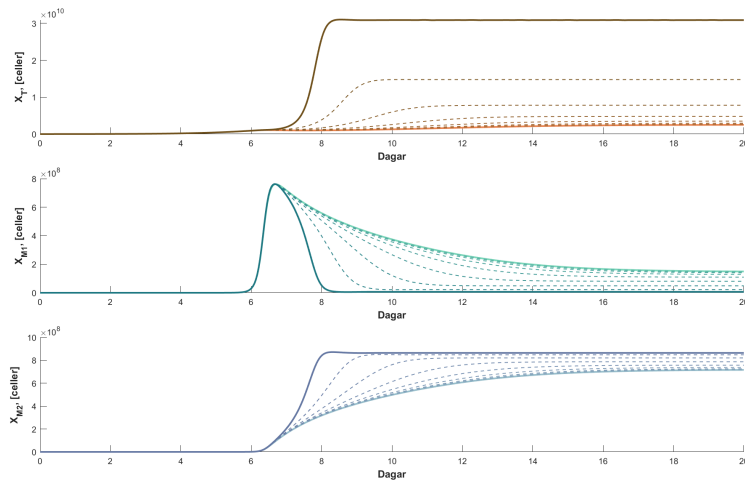


Figur 4.1: Variation av parameter d_{M1} . Linjernas färg är beroende av parametervärdet på d_{M1} där de ljusare har lägre värden och de mörkare har högre värden. Valda parametervärden är $1, 00 \cdot 10^{-11}$; $2, 00 \cdot 10^{-11}$; $5, 00 \cdot 10^{-11}$; $1, 20 \cdot 10^{-10}$; $2, 80 \cdot 10^{-10}$; $6, 60 \cdot 10^{-10}$; $1, 52 \cdot 10^{-9}$; $3, 51 \cdot 10^{-9}$; $8, 11 \cdot 10^{-9}$; $1, 87 \cdot 10^{-8}$; $4, 33 \cdot 10^{-8}$ och $1, 00 \cdot 10^{-7}$.

Från tabell 1 ges det att d_{M1} är hastigheten M1 makrofager dödar tumörceller. Enligt (3.1a) är dess inverkan på tumördensitetens förändringshastighet linjärt beroende av M1 makrofagernas densitet, det vill säga antalet makrofagceller.

Effekten av låga värden på parameteren syns tydligt i figur 4.1 där även vid höga densiteter av M1 makrofager sprider sig tumörcellerna snabbare än de dödas av. Detta gör att även fast densiteten

av M1 makrofager når ett tidigt maximum påverkar detta i stort sett inte förändringshastigheten av tumörcellerna. Tumörerna ges då möjlighet att fortsätta sprida sig vilket ökar antalet M1 makrofager som repolariseras och därmed minskar deras densitet. Repolariserandet av M1 makrofager till M2 makrofager gör att mot slutet av det studerade tidsintervallet blir densiteten av M1 makrofagerna låg och M2 makrofagerna hög. Med högre parametervärden behövs endast ett fåtal M1 makrofager för att markant påverka densiteten av tumörcellerna. Detta gör att så fort densiteten av M1 makrofagerna börjar öka dör tumörcellerna vilket hindrar densiteterna av M1- och M2 makrofagerna från att fortsätta öka.



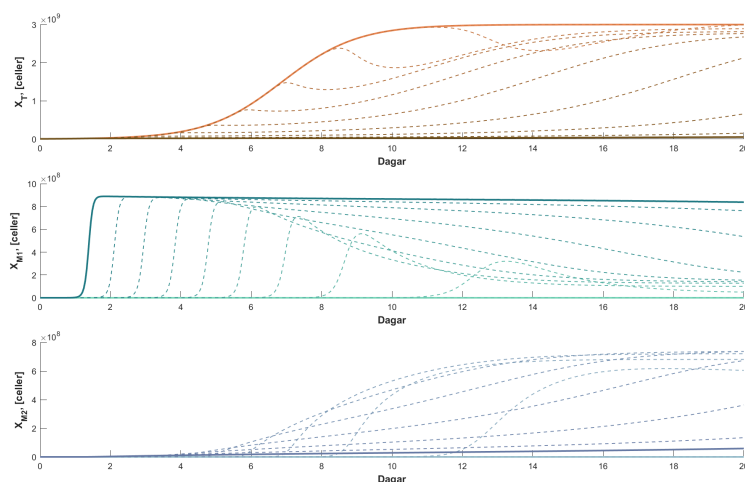
Figur 4.2: Variation av parameter d_{M2} . Linjernas färg är beroende av parametervärdet på d_{M2} där de ljusare har lägre värden och de mörkare har högre värden. Valda parametervärden är $1,00 \cdot 10^{-12}$; $2,00 \cdot 10^{-12}$; $5,00 \cdot 10^{-12}$; $1,20 \cdot 10^{-11}$; $2,80 \cdot 10^{-11}$; $6,60 \cdot 10^{-11}$; $1,52 \cdot 10^{-10}$; $3,51 \cdot 10^{-10}$; $8,11 \cdot 10^{-10}$; $1,87 \cdot 10^{-9}$; $4,33 \cdot 10^{-9}$ och $1,00 \cdot 10^{-8}$.

I tabell 1 står det att d_{M2} är hastigheten M2 makrofager bidrar till tumörtillväxten. Enligt (3.1a) är dess inverkan på tumördensitetens förändringshastighet linjärt beroende av M2 makrofagernas densitet.

För höga värden på d_{M2} bidrar densiteten av M2 mycket till tumördensitetens förändringshastighet, vilket innebär att när M2 makrofagernas densitet ökar gör även förändringshastigheten för tumördensiteten det. Detta gör i sin tur att bärkapaciteten snabbt uppnås för tumören och även då för makrofagerna, se figur 4.2. När bärkapaciteten är nådd kommer densiteten av M1 makrofager att minska på grund av repolarisation. För tillräckligt höga värden på d_{M2} kommer tumördensiteten överskrida bärkapaciteten på grund av det stora bidrag den får från M2 makrofagerna. Låga val av parametern gör att tumördensitetens förändringshastighet knappt påverkas av M2 makrofagerna. Detta ger att tumören växer långsammare och inte nödvändigtvis når lika höga värden. Dess inverkan på makrofagernas förändringshastigheter blir då mycket lägre. Många av de ovanstående situationerna leder till att systemet uppnår steady state.

Parametern a_{t1} är medelhastigheten för aktivering och rekrytering av M1 makrofager till tumören, se tabell 1.

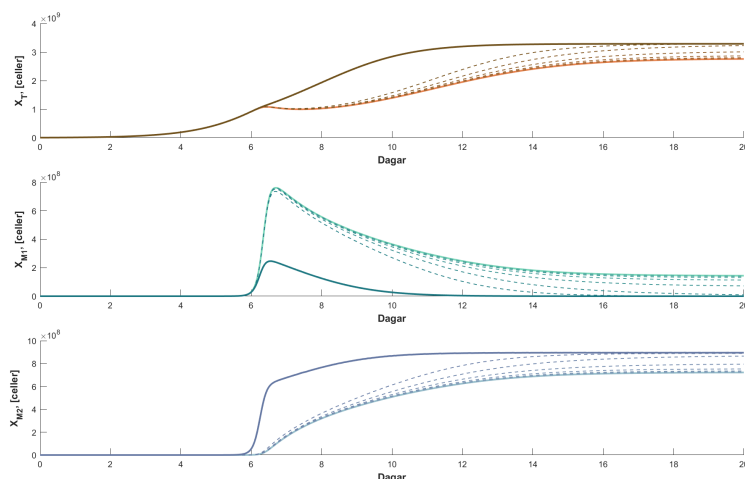
För höga värden av parametern ökar densiteten av M1 makrofager väldigt tidigt, se figur 4.3. Då förändringshastigheten av tumördensiteten innehåller en term med ett negativt linjärt beroende till M1 makrofagernas densitet, se (3.1a), gör detta att tumördensiteten begränsas. Vid tillräckligt höga värden kommer M1 makrofagerna uppnå hela den gemensamma bärkapaciteten vilket begränsar M2 makrofagernas möjlighet att öka, vilket inte kompenseras för tillräckligt med repolariseringen. Lägre värden av a_{t1} ger tumördensiteten och M2 makrofagernas densitet möjlighet att öka. M1 makrofagernas densitet ökar nu inte snabbt nog för att kompensera för repolariseringen. För tillräckligt låga värden på parametern tillåts tumören växa näst intill obehindrat. Då enbart rekrytering, det vill säga utan repolarisering, av M2 makrofager är långsammare än dess dödshastighet kommer densiteten av M2 makrofager begränsas.



Figur 4.3: Variation av parameter a_{t1} . Linjernas färg är beroende av parametervärdet på a_{t1} där de ljusare har lägre värden och de mörkare har högre värden. Valda parametervärden är $1.00 \cdot 10^{-10}$, $2.00 \cdot 10^{-10}$, $5.00 \cdot 10^{-10}$, $1.20 \cdot 10^{-9}$, $2.80 \cdot 10^{-9}$, $6.60 \cdot 10^{-9}$, $1.52 \cdot 10^{-8}$, $3.51 \cdot 10^{-8}$, $8.11 \cdot 10^{-8}$, $1.87 \cdot 10^{-7}$, $4.33 \cdot 10^{-7}$ och $1.00 \cdot 10^{-6}$.

Tabell 1 ger att a_{t2} , vars variation illustreras i figur 4.4, är medelhastigheten för aktivering och spridning av M2 makrofager vid tumören.

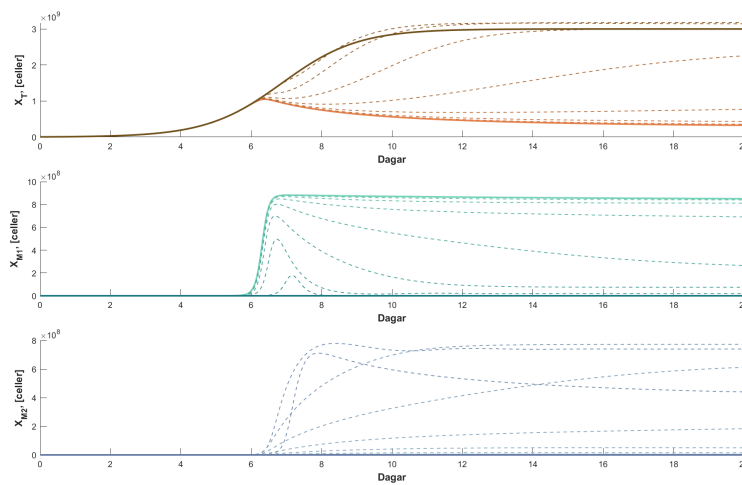
För höga värden på a_{t2} fyller M2 makrofager snabbt bärkapaciteten för makrofager vilket begränsar ökningen av M1 makrofager. Notera dock att majoriteten av M2 makrofagernas tillväxt kommer från repolarisering av M1 makrofager, vilket är varför ökning inte börjar lika tidigt som för M1 makrofager med höga värden på a_{t1} . Den lägre densiteten av M1 makrofager och högre densiteten av M2 makrofager gör att tumördensiteten växer snabbare. Låga värden på a_{t2} ger istället att densiteten av M1 makrofager kan anta större värden och nå ett maximum innan repolarisering leder till en minskning. Här är repolarisering nästan det enda som bidrar till ökning av M2 makrofagernas densitet.



Figur 4.4: Variation av parameter a_{t2} . Linjernas färg är beroende av parametervärdet på a_{t2} där de ljusare har lägre värden och de mörkare har högre värden. Valda parametervärden är $1.00 \cdot 10^{-12}$, $2.00 \cdot 10^{-12}$, $5.00 \cdot 10^{-12}$, $1.20 \cdot 10^{-11}$, $2.80 \cdot 10^{-11}$, $6.60 \cdot 10^{-11}$, $1.52 \cdot 10^{-10}$, $3.51 \cdot 10^{-10}$, $8.11 \cdot 10^{-10}$, $1.87 \cdot 10^{-9}$, $4.33 \cdot 10^{-9}$ och $1.00 \cdot 10^{-8}$.

För låga värden på k_{12} , repolariseringshastigheten, sker ingen repolarisering vilket gör att densiteten av M1 makrofager ökar utan påverkan av repolariseringen, se figur 4.5. M2 ökar väldigt långsamt då repolarisering är den faktor som gör att de växer snabbare än de dör. Detta leder till att tumörtillväxten hindras av M1 makrofager samtidigt som den får minimalt med hjälp från M2 makrofager.

Höga värden på k_{12} innebär att densiteten av M1 makrofager minskar snabbt efter att de nått sitt maximum samtidigt som densiteten av M2 makrofager ökar. För tillräckligt höga värden repolariseras M1 makrofager nästan direkt efter att de aktiverats eller rekryterats. Detta gör att densiteten av M1 makrofager aldrig tillåts öka. Den låga densiteten av M1 makrofager gör att repolariseringen inte räcker som kompensation för att M2 makrofagernas dödshastighet är högre än deras rekryteringshastighet. Avsaknaden av M1 makrofager gör även att tumören tillåts växa näst intill obehindrat. När tumördensiteten blir tillräckligt stor ökar antalet M2 makrofager, dock väldigt långsamt. Detta görs tydligt från (3.1c) där förhållandet mellan densiteterna av tumören och M2 makrofager, a_{t2} samt δ_{M2} visas.



Figur 4.5: Variation av parameter k_{12} . Linjernas färg är beroende av parametervärdet på k_{12} där de ljusare har lägre värden och de mörkare har högre värden. Valda parametervärden är $1,00 \cdot 10^{-11}$; $2,00 \cdot 10^{-11}$; $5,00 \cdot 10^{-11}$; $1,20 \cdot 10^{-10}$; $2,80 \cdot 10^{-10}$; $6,60 \cdot 10^{-10}$; $1,52 \cdot 10^{-9}$; $3,51 \cdot 10^{-9}$; $8,11 \cdot 10^{-9}$; $1,87 \cdot 10^{-8}$; $4,33 \cdot 10^{-8}$ och $1,00 \cdot 10^{-7}$

5 Parameteridentifikationsproblem, PIP

Beroende på hur många parametrar som är oidentifierade kan olika metoder användas. I fallet då enbart en parameter är oidentifierad kan denna beräknas explicit. I resterande fall kan en optimeringsalgoritm användas.

5.1 Explicit beräkning av en oidentifierad parameter

För att explicit beräkna värdet på en oidentifierad parameter används (3.1) för att ta fram parametervärdet vid diskreta tidpunkter. Detta görs genom att diskretisera tidsderivatan och bryta ut den oidentifierade parametern från någon av (3.1a), (3.1b) eller (3.1c)

Låt värdena på alla parametrar utom en samt $\mathbf{x}(t) = (x_T(t), x_{M1}(t), x_{M2}(t))$ vara kända för en viss tidspartition T_h med h diskreta punkter och steglängd τ . Då kan den oidentifierade parametern beräknas explicit vid tidpunkten t_i , $i = 1, 2, \dots, h$, med en av de följande ekvationerna

$$d_{M1}(t_i) \approx \frac{-\frac{x_T(t_{i+1})-x_T(t_{i-1}))}{2\tau} + rx_T(t_i) \cdot \left(1 - \frac{x_T(t_i)}{\beta_T}\right) + d_{M2}x_{M2}(t_i)x_T(t_i)}{x_{M1}(t_i)x_T(t_i)}, \quad (5.1a)$$

$$d_{M2}(t_i) \approx \frac{\frac{x_T(t_{i+1})-x_T(t_{i-1}))}{2\tau} - rx_T(t_i) \cdot \left(1 - \frac{x_T(t_i)}{\beta_T}\right) + d_{M1}x_{M1}(t_i)x_T(t_i)}{x_{M2}(t_i)x_T(t_i)}, \quad (5.1b)$$

$$a_{t1}(t_i) \approx \frac{\frac{x_{M1}(t_{i+1})-x_{M1}(t_{i-1}))}{2\tau} + \delta_{M1}x_{M1}(t_i) + k_{12}x_{M1}(t_i)x_T(t_i)}{x_T(t_i)x_{M1}(t_i) \cdot \left(1 - \frac{x_{M1}(t_i)+x_{M2}(t_i)}{\beta_M}\right)}, \quad (5.1c)$$

$$a_{t2}(t_i) \approx \frac{\frac{x_{M2}(t_{i+1})-x_{M2}(t_{i-1}))}{2\tau} + \delta_{M2}x_{M2}(t_i) - k_{12}x_{M1}(t_i)x_T(t_i)}{x_T(t_i)x_{M2}(t_i) \cdot \left(1 - \frac{x_{M1}(t_i)+x_{M2}(t_i)}{\beta_M}\right)}, \quad (5.1d)$$

$$k_{12}(t_i) \approx \frac{-\frac{x_{M1}(t_{i+1})-x_{M1}(t_{i-1}))}{2\tau} + a_{t1}x_T(t_i)x_{M1}(t_i) \cdot \left(1 - \frac{x_{M1}(t_i)+x_{M2}(t_i)}{\beta_M}\right) - \delta_{M1}x_{M1}(t_i)}{x_{M1}(t_i)x_T(t_i)}. \quad (5.1e)$$

Då alla parametrar antas vara konstanta över tid förväntas den explicit beräknade parametern anta samma värde vid varje diskret tidpunkt. På grund av övergången från en analytisk till en numerisk lösning kan det ske olika sorters beräkningsfel, vilka visas som avvikelser från det förväntade värdet.

5.1.1 Diskretiserings- och avrundningsfel

Vid numerisk representation av mycket små element ansätts ett tal med begränsad precision och decimalupplösning. Därför introduceras finita differenser vilket är derivatans diskreta motsvarighet. Sådana differenser härleds från funktionens Taylorutveckling. Första och andra ordningens diskretisering av $f'(x)$, där $f(x)$ är en godtyckligt funktion, med steglängd τ är

$$f'(x) \approx \frac{f(x + \tau) - f(x)}{\tau}, \quad (5.2)$$

respektive

$$f'(x) \approx \frac{f(x + \tau) - f(x - \tau)}{2\tau}. \quad (5.3)$$

Se appendix B.3 för härledning. I just dessa uttryck används framåtdifferens vilket är en typ av finit differens.

Avvikelser i den diskreta representationen av den kontinuerliga funktionen, som den trunckerade taylorutvecklingen, orsakar diskretiseringsfel, se avsnitt B.3. Medan begränsad talrepresentation istället orsakar avrundningsfel. Avrundningsfelet uppstår då en beräkning involverar mer värdesiffror än vad som korrekt kan representeras av datorn eller den numeriska metoden. Vidare är det möjligt att det totala avrundningsfelet kan amplificeras i varje beräkningssteg. Åtgärder för att begränsa felet inkluderar bland annat att höja precisionen och använda numeriska metoder avsedda för att minimera avrundningsfelet, till exempel Kahan summering [28]. Notera att huruvida felutbredningen fortlöper är fallspecifikt och påverkas i hög grad av den beräkningsalgoritm som används.

Tillsammans utgör summan av trunckerings- och avrundningsfelen det totala numeriska felet. Sammantaget i (5.2) och (5.3), är det för stora värden på τ som diskretiseringsfelet dominerar samtidigt som avrundningsfelet kan försummas. Medan då steglängden τ minskar krymper diskretiseringsfelet och istället framträder avrundningsfelet som dominerande. Initialt kan det framstå uppenbart att steglängden, τ , i en ideal situation bör minimeras. Men i praktiken gäller det att balansera diskretiseringsfelet mot avrundningsfelet. Som nämnts finns det flera olika metoder för att reducera dessa fel. Avrundningsfel kan i viss mån begränsas genom att förenkla ekvationerna innan de skrivs in i beräkningsprogrammet för att minimera antalet operationer. Trunckeringsfelet kan reduceras genom att använda adaptiva steglängder eller högre ordningens finita differenser.

En metod för att reducera avrundningsfel är att förenkla ekvationerna och på så vis minska antalet operationer. Förenkling av (5.1) för respektive parameter är följande

$$d_{M1}(t_i) \approx \frac{r(1 - \frac{x_T}{\beta_T})}{x_{M1}(t_i)} - \frac{x_T(t_{i+1}) - x_T(t_{i-1})}{2\tau x_{M1}(t_i)x_T(t_i)} + \frac{d_{M2}x_{M2}(t_i)}{x_{M1}(t_i)}, \quad (5.4a)$$

$$d_{M2}(t_i) \approx \frac{x_T(t_{i+1}) - x_T(t_{i-1})}{2\tau x_{M2}(t_i)x_T(t_i)} - \frac{r(1 - \frac{x_T(t_i)}{\beta_T})}{x_{M2}(t_i)} + \frac{d_{M1}x_{M1}(t_i)}{x_{M2}(t_i)}, \quad (5.4b)$$

$$a_{t1}(t_i) \approx \frac{x_{M1}(t_{i+1}) - x_{M1}(t_{i-1})}{2\tau x_T(t_i)x_{M1}(t_i)(1 - \frac{x_{M1}(t_i) + x_{M2}(t_i)}{\beta_M})} + \frac{\delta_{M1}}{x_T(t_i)(1 - \frac{x_{M1}(t_i) + x_{M2}(t_i)}{\beta_M})} + \frac{k_{12}}{1 - \frac{x_{M1}(t_i) + x_{M2}(t_i)}{\beta_M}}, \quad (5.4c)$$

$$a_{t2}(t_i) \approx \frac{x_{M2}(t_{i+1}) - x_{M2}(t_{i-1})}{2\tau x_T(t_i)x_{M2}(t_i)(1 - \frac{x_{M1}(t_i) + x_{M2}(t_i)}{\beta_M})} + \frac{\delta_{M2}}{x_T(t_i)(1 - \frac{x_{M1}(t_i) + x_{M2}(t_i)}{\beta_M})} - \frac{k_{12}}{1 - \frac{x_{M1}(t_i) + x_{M2}(t_i)}{\beta_M}}, \quad (5.4d)$$

$$k_{12}(t_i) \approx -\frac{x_{M1}(t_{i+1}) - x_{M1}(t_{i-1})}{2\tau x_{M1}(t_i)x_T(t_i)} + a_{t1}(1 - \frac{x_{M1}(t_i) + x_{M2}(t_i)}{\beta_M}) - \frac{\delta_{M1}}{x_T(t_i)}. \quad (5.4e)$$

Som tidigare nämnt kan felet reduceras genom användning av adaptiva steglängder. En sådan metod är Chebyshev noder.

5.1.2 Chebyshev noder

Genom att ansätta Chebyshev noder kan steglängden mellan interpolationspunkterna av funktionen anpassas för att minimera avvikelserna [30].

På ett godtyckligt tidsintervall $[\alpha, \beta]$ blir Chebyshev noderna, enligt [5],

$$t_i = -\frac{\beta - \alpha}{2} \cos\left(\frac{(2k-1)\pi}{2n}\right) + \frac{\alpha + \beta}{2}, \quad k = 1, 2, \dots, n, \quad (5.5)$$

där n är antalet noder.

5.2 Approximation av flera oidentifierade parametrar

I de fall flera parametrar är oidentifierade används en optimeringsalgoritm vilken är del av en metod beskriven i [6] som modifierats för projektets ändamål. För att kunna optimera parametervärdena krävs en initialestimering. Denna görs genom att analysera de givna diskreta mätvärdena för tumördensiteten och makrofagdensiteterna, $\mathbf{g} = (g_1, g_2, g_3)$. Genom att optimera initialestimeringen ges värden på $\boldsymbol{\alpha}$ vilka gör att (3.1) bäst beskriver datapunkterna \mathbf{g} .

För att mäta avvikelserna mellan modelllösningen, \mathbf{x} , och datapunkterna, \mathbf{g} , används Tikhonovs regulariseringsfunktional.

5.2.1 Tikhonovs regulariseringsfunktional

Tikhonovs regulariseringsfunktional, eller Tikhonovfunktionalen, är en funktion som kan användas vid optimering av parametrar i en annan funktion.

Definition 5.1. Låt $\mathbf{x}(t) = (x_1(t), x_2(t), \dots, x_m(t))$ vara lösningen till första ordningens differentialekvationer

$$\frac{\partial \mathbf{x}}{\partial t} = f(\mathbf{x}(t), \boldsymbol{\alpha}(t)), \quad t \in [0, T],$$

$$\mathbf{x}(0) = \mathbf{x}^0.$$

Låt även $\gamma_i \in [0, 1]$ vara en regulariseringsparameter och $\mathbf{g}^c(t) = (g_1^c(t), g_2^c(t), \dots, g_m^c(t))$ vara kontinuerliga approximationer av givna datapunkter, \mathbf{g} . Då skrivs Tikhonov funktionalen enligt:

$$J(\boldsymbol{\alpha}) = \frac{1}{2} \int_0^T \sum_{i=1}^m (x_i(t) - g_i^c(t))^2 dt + \frac{1}{2} \sum_{i=1}^n \int_0^T \gamma_i (\alpha_i(t) - \alpha_i^0)^2 dt \quad (5.6)$$

där $\boldsymbol{\alpha} = (\alpha_1(t), \alpha_2(t), \dots, \alpha_n(t))$ är oidentifierade parametrar och $\alpha_i^0 = \alpha_i(0)$.

Ekvation (5.6) är tagen från [6] med viss modifikation. För att bestämma $\mathbf{g}^c(t)$ kan minsta kvadratmetoden användas, se avsnitt D.

Vi formulerar minimeringsproblemet

$$\min_{\boldsymbol{\alpha}} J(\boldsymbol{\alpha}), \quad (5.7)$$

som kan användas för att identifiera vilka värden på parametrarna som bäst återskapar datapunkterna, då funktionalen beskriver felet mellan den beräknade lösningen, \mathbf{x} , och datapunkterna, \mathbf{g} .

För att lösa minimeringsproblemet behöver stationära punkter med avseende på $\boldsymbol{\alpha}(t)$ identifieras, sådana att

$$J'(\boldsymbol{\alpha})(\bar{\boldsymbol{\alpha}}) = 0 \quad (5.8)$$

där $J'(\boldsymbol{\alpha})(\bar{\boldsymbol{\alpha}})$ är Fréchetderivatan av $J(\boldsymbol{\alpha})$ i punkten $\bar{\boldsymbol{\alpha}}$. För definition av Fréchetderivatan, se appendix A.1.

Lokalt är Fréchetderivatan av Tikhonov funktionalen (5.6) starkt konvex [4] vilket innebär att

$$(J'(x) - J'(y), x - y) \geq \kappa \|x - y\|^2, \quad \kappa = \text{konstant} > 0. \quad (5.9)$$

Följaktligen kan det förutsättas att det $\boldsymbol{\alpha}$ som löser (5.7) även löser parameteridentifikationsproblemet. För att lösa (5.7) används Lagrangemetoden.

5.2.2 Lagrangemetoden

Lagrangemetoden används för att hitta lokala extrempunkter med bestämda bivillkor. Metoden syftar till att omformulera problemet så att det kan lösas genom derivering. Omformuleringen baseras på att funktionens gradient kan skrivas om som en linjärkombination av bivillkorets gradient i en gemensam punkt [1].

Sats 5.1. [1] Antag att funktionerna f och g har kontinuerliga första ordningens partiella derivator nära punkten P_0 på kurvan C med ekvation $g(x, y) = 0$. Antag även att, när funktionen är begränsad till punkter på C , så har funktionen $f(x, y)$ ett lokalt extremvärde i P_0 . Slutligen antag att

label=() P_0 inte är en ändpunkt på C , samt

label=() $\nabla g(P_0) \neq 0$.

Då existerar det ett tal, λ_0 , sådant att (x_0, y_0, λ_0) är en stationär punkt för Lagrangefunktionen

$$L(x, y, \lambda) = f(x, y) + \lambda g(x, y),$$

där λ är Lagrangemultiplikatorn.

För bevis se [1].

Applicering av sats 5.1 ger att en Lagrangefunktion kan konstrueras enligt följande

$$L(\mathbf{v}) = J(\boldsymbol{\alpha}) + \sum_{i=1}^m \int_0^T \lambda_i(t) \cdot (\dot{x}_i(t) - f_i(t)) dt, \quad (5.10)$$

där $\boldsymbol{\lambda} = (\lambda_1, \lambda_2, \dots, \lambda_m)$ är Lagrangemultiplikatorn, $f(\mathbf{x}(\boldsymbol{\alpha}(t))) = \frac{\partial x}{\partial t}$, $t \in [0, T]$ och $\mathbf{v} = (\boldsymbol{\lambda}, \mathbf{x}, \boldsymbol{\alpha})$.

Genom att anta att varje komponent i $\mathbf{v} = (\boldsymbol{\lambda}, \mathbf{x}, \boldsymbol{\alpha})$ kan varieras oberoende, sådan att

$$L'(\mathbf{v})(\bar{\mathbf{v}}) = L'_{\boldsymbol{\lambda}}(\mathbf{v})(\bar{\boldsymbol{\lambda}}) + L'_{\mathbf{x}}(\mathbf{v})(\bar{\mathbf{x}}) + L'_{\boldsymbol{\alpha}}(\mathbf{v})(\bar{\boldsymbol{\alpha}}) = 0 \quad (5.11)$$

uppfylls, kan beräkningarna förenklas och fortfarande ge samma resultat [7].

För Lagrangefunktionen, $L : U \subseteq \mathbb{R}^{2m+n} \rightarrow \mathbb{R}$, där m är antalet ekvationer i modellen och n är antalet oidentifierade parametrar, antas det att U är en öppen mängd enligt definitionen nedan

Definition 5.2. [6] Låt $\mathbf{x}(t) = (x_1(t), x_2(t), \dots, x_m(t))$ vara lösningen till första ordningens differentialekvationer

$$\begin{aligned}\frac{\partial \mathbf{x}}{\partial t} &= f(\mathbf{x}(\boldsymbol{\alpha}(t))), \quad t \in \Omega_T = [0, T] \\ \mathbf{x}(0) &= \mathbf{x}^0.\end{aligned}$$

Låt även $\boldsymbol{\lambda}(t)$ vara Lagrangemultiplikatorn $\boldsymbol{\lambda}(t) = (\lambda_1(t), \lambda_2(t), \dots, \lambda_m(t))$ och $\mathbf{v} = (\boldsymbol{\lambda}, \mathbf{x}, \boldsymbol{\alpha})$. Då definieras mängden U enligt:

$$\begin{aligned}H_x^1(\Omega_T) &= \{\mathbf{x} \in H^1(\Omega_T) : \mathbf{x}(0) = \mathbf{x}^0\} \\ H_\lambda^1(\Omega_T) &= \{\boldsymbol{\lambda} \in H^1(\Omega_T) : \boldsymbol{\lambda}(T) = 0\} \\ U &= H_x^1(\Omega_T) \times H_\lambda^1(\Omega_T) \times C(\Omega_T)\end{aligned}$$

där alla funktioner är realvärda.

Definition för $H^1(\Omega_T)$ ges i appendix A.2.

5.2.3 Lagrangefunktionens partialderivator

Låt $\mathbf{v} = (\boldsymbol{\lambda}, \mathbf{x}, \boldsymbol{\alpha})$ och antag att parametrarna $\boldsymbol{\lambda}$, \mathbf{x} och $\boldsymbol{\alpha}$ kan variera oberoende av varandra. Då kan vi med hjälp av följande formeln

$$L'(\mathbf{v})(\bar{\mathbf{v}}) = \sum_{i=1}^{2m+n} \bar{v}_i \frac{\partial L}{\partial v_i}(\mathbf{v}), \quad (5.12)$$

ta fram uttryck för de partiella derivatorna till Lagrangefunktionen som vi sätter till 0. De partiella derivatorna är samlade i följande tre satser.

Sats 5.2. De partiella derivatorna av L med avseende på $\boldsymbol{\lambda}$ är

$$\begin{aligned}0 &= L'_{\lambda_1}(\mathbf{v})(\bar{\lambda}_1) \\ &= \int_0^T \left(\frac{dx_T}{dt} - rx_T \left(1 - \frac{x_T}{\beta_T} \right) + d_{M1}x_{M1}x_T - d_{M2}x_{M2}x_T \right) \bar{\lambda}_1 dt, \\ 0 &= L'_{\lambda_2}(\mathbf{v})(\bar{\lambda}_2) \\ &= \int_0^T \left(\frac{dx_{M1}}{dt} - a_{t1}x_Tx_{M1} \left(1 - \frac{x_{M1} + x_{M2}}{\beta_M} \right) + \delta_{M1}x_{M1} + k_{12}x_{M1}x_T \right) \bar{\lambda}_2 dt, \\ 0 &= L'_{\lambda_3}(\mathbf{v})(\bar{\lambda}_3) \\ &= \int_0^T \left(\frac{dx_{M2}}{dt} - a_{t2}x_Tx_{M2} \left(1 - \frac{x_{M1} + x_{M2}}{\beta_M} \right) + \delta_{M2}x_{M2} - k_{12}x_{M1}x_T \right) \bar{\lambda}_3 dt,\end{aligned}$$

$$\forall \bar{\boldsymbol{\lambda}} = (\bar{\lambda}_1, \bar{\lambda}_2, \bar{\lambda}_3) \in H_\lambda^1(\Omega_T).$$

Sats 5.3. De partiella derivatorna av L med avseende på \mathbf{x} är

$$\begin{aligned}
0 &= L'_{x_T}(\mathbf{v})(\bar{x}_T) \\
&= \int_0^T (x_T - g_1^c) \bar{x}_T dt + \int_0^T \left(-\frac{d\lambda_1}{dt} - \lambda_1 r \left(1 - \frac{2x_T}{\beta_T}\right) + \lambda_1 d_{M1} x_{M1} - \lambda_1 d_{M2} x_{M2} \right. \\
&\quad \left. - \lambda_2 a_{t1} x_{M1} \left(1 - \frac{x_{M1} + x_{M2}}{\beta_M}\right) + \lambda_2 k_{12} x_{M1} - \lambda_3 a_{t2} x_{M2} \left(1 - \frac{x_{M1} + x_{M2}}{\beta_M}\right) \right. \\
&\quad \left. - \lambda_3 k_{12} x_{M1} \right) \bar{x}_T dt, \\
0 &= L'_{x_{M1}}(\mathbf{v})(\bar{x}_{M1}) \\
&= \int_0^T (x_{M1} - g_2^c) \bar{x}_{M1} dt + \int_0^T \left(\lambda_1 d_{M1} x_T - \frac{d\lambda_2}{dt} - \lambda_2 a_{t1} x_T \left(1 - \frac{2x_{M1} + x_{M2}}{\beta_M}\right) + \lambda_2 \delta_{M1} \right. \\
&\quad \left. + \lambda_2 k_{12} x_T + \frac{\lambda_3 a_{t2} x_T x_{M2}}{\beta_M} - \lambda_3 k_{12} x_T \right) \bar{x}_{M1} dt, \\
0 &= L'_{x_{M2}}(\mathbf{v})(\bar{x}_{M2}) \\
&= \int_0^T (x_{M2} - g_3^c) \bar{x}_{M2} dt + \int_0^T \left(-\lambda_1 d_{M2} x_T + \frac{\lambda_2 a_{t1} x_T x_{M1}}{\beta_M} - \frac{d\lambda_3}{dt} \right. \\
&\quad \left. - \lambda_3 a_{t2} x_T \left(1 - \frac{x_{M1} + 2x_{M2}}{\beta_M}\right) + \lambda_3 \delta_{M2} \right) \bar{x}_{M2} dt,
\end{aligned}$$

$$\forall \bar{\mathbf{x}} = (\bar{x}_T, \bar{x}_{M1}, \bar{x}_{M2}) \in H_x^1(\Omega_T).$$

Sats 5.4. De partiella derivatorna av L med avseende på $\boldsymbol{\alpha}$ är

$$\begin{aligned}
0 &= L'_{d_{M1}}(\mathbf{v})(\bar{d}_{m1}) \\
&= \gamma_1 \int_0^T (d_{M1} - d_{M1}^0) \bar{d}_{m1} dt + \int_0^T \lambda_1 x_{M1} x_T \bar{d}_{m1} dt \\
0 &= L'_{d_{M2}}(\mathbf{v})(\bar{d}_{m2}) \\
&= \gamma_2 \int_0^T (d_{M2} - d_{M2}^0) \bar{d}_{m2} dt - \int_0^T \lambda_1 x_{M2} x_T \bar{d}_{m2} dt \\
0 &= L'_{a_{t1}}(\mathbf{v})(\bar{a}_{t1}) \\
&= \gamma_3 \int_0^T (a_{t1} - a_{t1}^0) \bar{a}_{t1} dt - \int_0^T \lambda_2 x_{M1} x_T \left(1 - \frac{x_{M1} + x_{M2}}{\beta_M}\right) \bar{a}_{t1} dt \\
0 &= L'_{a_{t2}}(\mathbf{v})(\bar{a}_{t2}) \\
&= \gamma_4 \int_0^T (a_{t2} - a_{t2}^0) \bar{a}_{t2} dt - \int_0^T \lambda_3 x_{M2} x_T \left(1 - \frac{x_{M1} + x_{M2}}{\beta_M}\right) \bar{a}_{t2} dt \\
0 &= L'_{k_{12}}(\mathbf{v})(\bar{k}_{12}) \\
&= \gamma_5 \int_0^T (k_{12} - k_{12}^0) \bar{k}_{12} dt + \int_0^T x_{M1} x_T (\lambda_2 - \lambda_3) \bar{k}_{12} dt
\end{aligned}$$

$$\forall \bar{\boldsymbol{\alpha}} = (\bar{d}_{m1}, \bar{d}_{m2}, \bar{a}_{t1}, \bar{a}_{t2}, \bar{k}_{12}) \in C(\Omega_T).$$

För bevis av sats 5.2, 5.3 och 5.4 se appendix B.2. Vidare kommer dessa ekvationer att användas i en lösningsalgoritm, specifikt konjugerade gradientmetoden, för iterativ uppdatering av parametrarna som avses i de partiella derivatorna, $\boldsymbol{\alpha} = (d_{M1}, d_{M2}, a_{t1}, a_{t2}, k_{12})$.

5.2.4 Bakåtproblemet

För att beräkna de partiella derivatorna av L för olika värden av \mathbf{v} ser vi enligt sats 5.2, 5.3 och 5.4 att $\boldsymbol{\lambda}$ behöver bestämmas. För att göra detta utnyttjas det att derivatorna i sats 5.3 är de svaga formuleringarna av följande system av differentialekvationer [6]

$$\begin{aligned} \frac{d\lambda_1}{dt} &= -\lambda_1 r \left(1 - \frac{2x_T}{\beta_T}\right) + \lambda_1 d_{M1} x_{M1} - \lambda_1 d_{M2} x_{M2} - \lambda_2 a_{t1} x_{M1} \left(1 - \frac{x_{M1} + x_{M2}}{\beta_M}\right) \\ &\quad + \lambda_2 k_{12} x_{M1} - \lambda_3 a_{t2} x_{M2} \left(1 - \frac{x_{M1} + x_{M2}}{\beta_M}\right) - \lambda_3 k_{12} x_{M1} + x_T - g_1^c, \end{aligned} \quad (5.13a)$$

$$\begin{aligned} \frac{d\lambda_2}{dt} &= -\lambda_2 a_{t1} x_T \left(1 - \frac{2x_{M1} + x_{M2}}{\beta_M}\right) + \lambda_2 \delta_{M1} + \frac{\lambda_3 a_{t2} x_T x_{M2}}{\beta_M} - \lambda_3 k_{12} x_T + \lambda_1 d_{M1} x_T \\ &\quad + \lambda_2 k_{12} x_T + x_{M1} - g_2^c, \end{aligned} \quad (5.13b)$$

$$\frac{d\lambda_3}{dt} = \lambda_3 \delta_{M2} - \lambda_3 a_{t2} x_T \left(1 - \frac{x_{M1} + 2x_{M2}}{\beta_M}\right) - \lambda_1 d_{M2} x_T + \frac{\lambda_2 a_{t1} x_T x_{M1}}{\beta_M} + x_{M2} - g_3^c, \quad (5.13c)$$

vilka kan användas för att beräkna λ .

5.2.5 Konjugerade gradientmetoden

För att slutligen optimera α används den konjugerade gradientmetoden. Låt gradienten $\mathbf{K}^{(s)}(t_i)$ vid tidpunkt t_i och optimeringsiteration s definieras enligt följande

$$\mathbf{K}^{(s)}(t_i) = \left(L'_{\alpha_1}(t_i), L'_{\alpha_2}(t_i), \dots, L'_{\alpha_n}(t_i) \right). \quad (5.14)$$

Genom att för $\alpha^{(s)} = (\alpha_1^{(s)}, \alpha_2^{(s)}, \dots, \alpha_n^{(s)})$ lösa $\mathbf{x}^{(s)}$ och $\lambda^{(s)}$ kan nästkommande iteration av α bestämmas enligt

$$\alpha^{(s+1)}(t_i) = \alpha^{(s)}(t_i) + \beta^{(s)} \cdot \delta^{(s)}(t_i). \quad (5.15)$$

Vektorn $\beta^{(s)}$ är steglängden i gradientmetoden och bestäms enligt

$$\beta^{(s)} = -\frac{(\mathbf{K}^{(s)}, \delta^{(s)})}{\boldsymbol{\Upsilon}^{(s)} \cdot (\delta^{(s)}, \delta^{(s)})}, \quad (5.16)$$

där (\cdot, \cdot) är inre produkten i L^2 rummet. Vektorn $\boldsymbol{\Upsilon}^{(s)} = (\gamma_1^{(s)}, \gamma_2^{(s)}, \dots, \gamma_n^{(s)})$ är regulariseringsparametrarna och bestäms enligt följande iterativa regel

$$\boldsymbol{\Upsilon}^{(s)} = \frac{\boldsymbol{\Upsilon}^{(0)}}{(s+1)\eta}, \quad (5.17)$$

med $\boldsymbol{\Upsilon}^{(0)} \ll \alpha^{(0)}$ och $\eta \in (0, 1)$. Observera att dessa är samma regulariseringsparametrar som används i (5.6). Slutligen ges $\delta^{(s)}(t_i)$ av

$$\delta^{(s)}(t_i) = -\mathbf{K}^{(s)}(t_i) + \sigma^{(s)} \cdot \delta^{(s-1)}(t_i), \quad (5.18)$$

där $\sigma^{(s)}$ bestäms enligt

$$\sigma^{(s)} = \frac{\|\mathbf{K}^{(s)}(t_i)\|^2}{\|\mathbf{K}^{(s-1)}(t_i)\|^2}. \quad (5.19)$$

För första iterationen är $\delta^{(0)}(t_i) = -\mathbf{K}^{(0)}(t_i)$. Denna typ av iteration upprepas tills något av följande är uppfyllt:

- $\|\mathbf{K}^{(s)}(t_i)\| < \theta$ där $\theta \in (0, 1)$ är en vald tolerans,
- $\|\mathbf{K}^{(s)}(t_i)\|$ börjar växa markant,
- $\|\alpha^{(s)}\|$ närmar sig något $\|\alpha_{opt}\|$.

Med en tillräckligt bra initialestimering kommer $\alpha^{(s)}$ att närma sig lösningen till minimeringsproblemet (5.7).

6 Resultat från explicit beräkning av en parameter

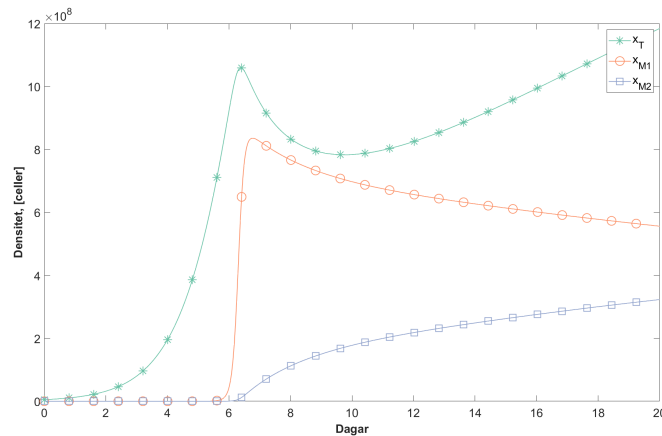
Det finns flera olika metoder för att lösa differentialekvationer. I projektet testades två av MATLABs egna lösare, ode45 och ode23s. Lösaren ode45 fungerar för icke-styva problem medan ode23s är anpassad för att lösa styva ekvationssystem. Ett system anses styvt om det innehåller flera olika tidsskalor, det vill säga, systemet innehåller snabbt och långsamt varierande parametrar samtidigt. Detta innebär att lösningen kan vara mycket känslig för små förändringar i ingångsparametrarna. Även Newtons metod har prövats för de relevanta numeriska beräkningarna. För beskrivning av denna metod samt diskussion kring resultaten vid användning av metoden, se appendix C. Det gjordes en analys av de olika lösarna samt Newtons metod och det konstaterades att ode23s presterade bäst för alla parametrar. För jämförelse av olika lösare, se appendix E.

I avsnitt 5.1 beskrevs det hur explicit beräkning var möjligt i fallet då alla parametrar utom en är kända. Valda parametervärden samt startvärden för densiteterna som användes vid explicita beräkningar visas i tabell 3. Alla explicita beräkningar utfördes numeriskt över tidsintervallet 0 till 20 dagar.

Tabell 3: Startvärden för parametrar samt densiteter vid explicita beräkningar.

Parameter/Densitet	d_{M1}	d_{M2}	a_{t1}	a_{t2}	k_{12}	x_T	x_{M1}	x_{M2}
Initialvärde	10^{-9}	10^{-10}	10^{-8}	10^{-10}	10^{-10}	$5 \cdot 10^6$	10^3	10^3

Figur 6.1 visar densiteterna vilka beräknats med initialvärden enligt tabell 3.



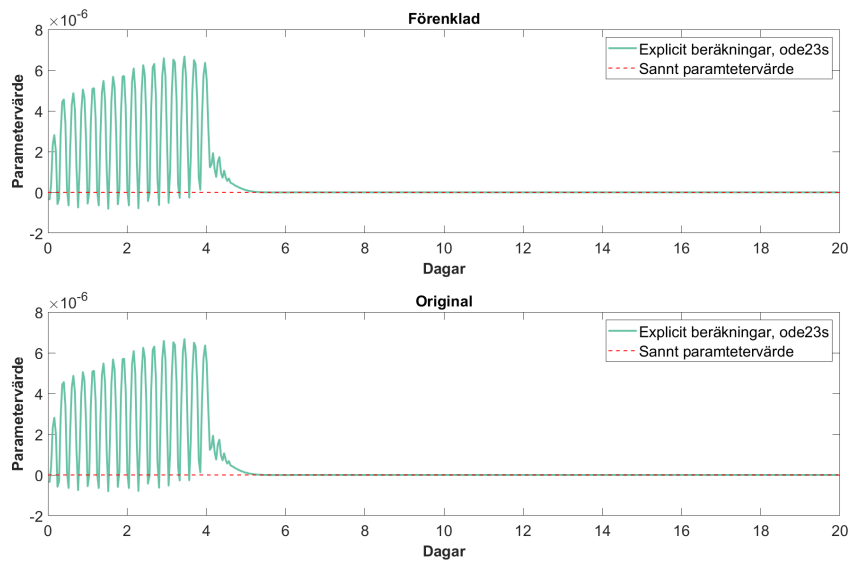
Figur 6.1: Graf av beräknade densiteterna \boldsymbol{x} som används i de explicita beräkningarna.

Då det antas att parametrarna är konstanta över tid förväntas det att beräkningarna enligt (5.1) resulterar i en horisontell linje vid parametrarnas sanna värde. För alla fem parametrar visar graferna istället en relativt stor varians kring det sanna parametervärdet i början av tidsintervallet innan det stabiliseras, för exempel se figur 6.2 och 6.3. I texten visas endast resultat för ett fåtal parametrar, för resterande parametrar se appendix E.

För att reducera felet tillämpades flera olika metoder: förenkling av ekvationerna, ansättning av Chebyshev noder samt testning av olika startvärden på densiteterna, \boldsymbol{x} .

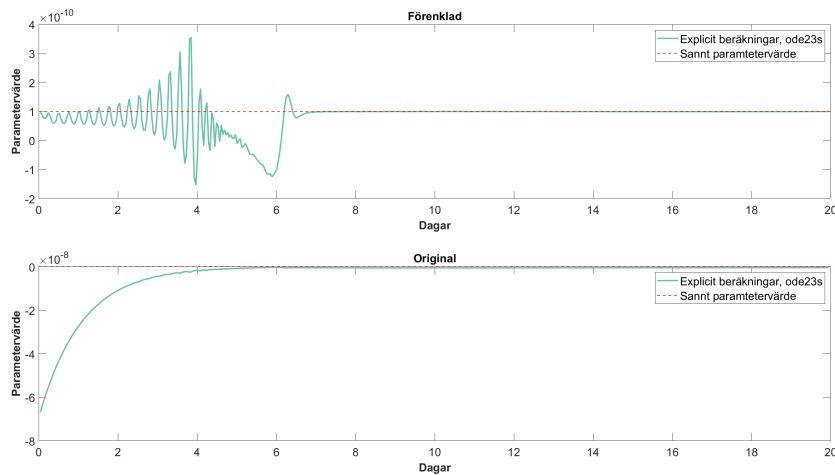
6.1 Jämförelse mellan original ekvationer och förenklade ekvationer

Inledningsvis utfördes enbart förenklingen enligt (5.4) vars resultat visas, i jämförelse med resultatet för originalekvationen i figur 6.2 och 6.3, för d_{M2} respektive k_{12} .



Figur 6.2: Graf för explicita beräkningar av d_{M2} . Den övre grafen visar resultatet vid användning av den förenklade ekvationen, se (5.4), och den nedre den ursprungliga ekvationen, se (5.1). Beräknat medelvärde mellan dag 10 och 20 är $9.93 \cdot 10^{-11}$ för både den förenklade modellen och original modellen.

Graferna för parameter d_{M2} uppvisar fluktuationer i början av tidsintervallet för båda varianterna av ekvationen. Efter dag fyra börjar båda graferna stabiliseras ut vid det sanna parametervärdet, 10^{-10} .



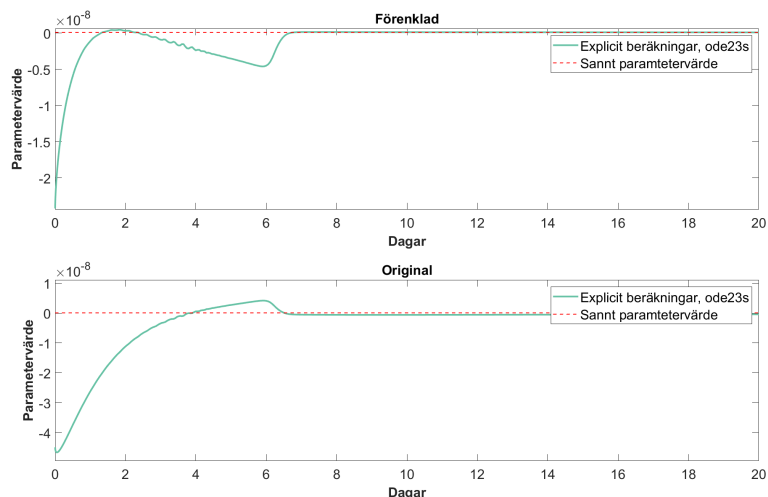
Figur 6.3: Graf för explicita beräkningar av k_{12} . Den övre grafen visar resultatet vid användning av den förenklade ekvationen, se (5.4), och den nedre den ursprungliga ekvationen, se (5.1). Beräknat medelvärde mellan dag 10 och 20 är $9.99 \cdot 10^{-11}$ för den förenklade modellen och $-4.67 \cdot 10^{-10}$ för original modellen.

Till skillnad från parametern d_{M2} observeras en större skillnad mellan båda varianterna av ekvationen för parameter k_{12} , se figur 6.3. Den förenklade ekvationen genererar en graf med betydande variation i början av intervallet innan den stagnerar, vid det sanna värdet 10^{-10} . Grafen till originalekvationen är mindre dynamisk och börjar vid dag sex stagnera kring $-4 \cdot 10^{-10}$, vilket är utanför parameterintervallet. Observera att figuren kan vara missvisande då skalorna på axlarna för de två graferna skiljer sig markant.

För parameter d_{M1} , d_{M2} samt a_{t1} är graferna för originalekvationen samt den förenklade nästintill identiska, medan representationen av parameter a_{t2} och k_{12} blev något försämrade respektive förbättrade.

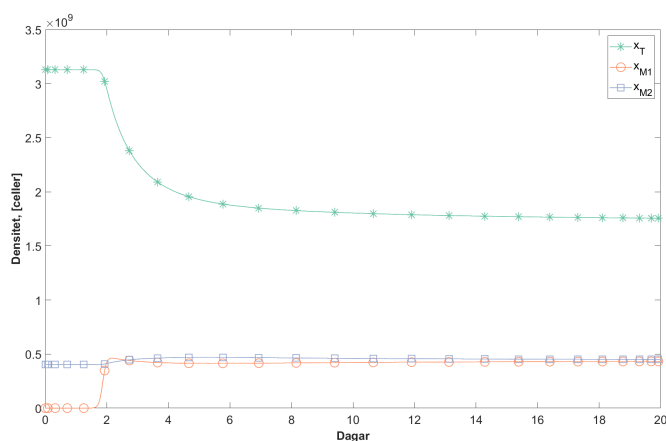
6.2 Explicit beräkning med Chebyshev noder

För att reducera felet ansattes 500 Chebyshev noder, vilket illustreras i figur 6.4 och figur 6.6.



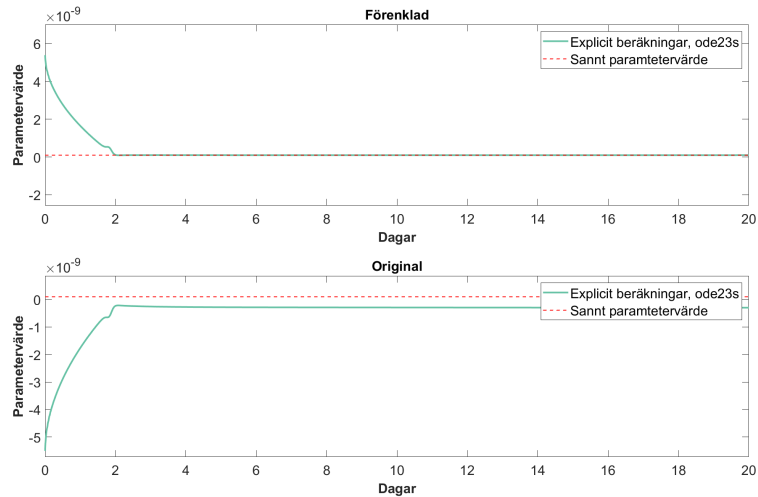
Figur 6.4: Graf för explicita beräkningar av k_{12} utförda med Chebyshev noder med startvärden enligt tabell 3. Den övre grafen visar resultatet vid användning av den förenklade ekvationen, se (5.4), och den nedre den ursprungliga ekvationen, se (5.1). Beräknat medelvärde mellan dag 10 och 20 är $1.03 \cdot 10^{-10}$ för den förenklade modellen och $-4.49 \cdot 10^{-10}$ för original modellen.

Ansättning av Chebyshev noder, i figur 6.4, resulterade i mindre fluktuation för de två graferna vilka är relativt lika. Genom att utföra samma explicita beräkningar med initialvärden nära ett steady state, enligt $x_T = 3.130 \cdot 10^9$, $x_{M1} = 1.000 \cdot 10^{-5}$ och $x_{M2} = 4.025 \cdot 10^8$, ges följande graf för densiteterna.



Figur 6.5: Graf av beräknade densiteterna \mathbf{x} med startvärden nära steady state.

Notera att det steady state som valdes tros vara asymptotiskt stabilt. Detta bör dock bevisas analytiskt.



Figur 6.6: Graf för explicita beräkningar av k_{12} utförda med Chebyshev noder nära steady state. Den övre grafen visar resultatet vid användning av den förenklade ekvationen, se (5.4), och den nedre den ursprungliga ekvationen, se (5.1). Beräknat medelvärde mellan dag 10 och 20 är $9.98 \cdot 10^{-11}$ för den förenklade modellen och $-2.95 \cdot 10^{-10}$ för original modellen.

I figur 6.6 visar graferna en jämn kurva som närmar sig det sanna parametervärdet vid dag 2. Resultaten visar att avvikelserna de första två dagarna är lägre med initialvärden nära steady state. I jämförelse mellan båda varianterna av ekvationen är de fortfarande relativt identiska för d_{M1} , d_{M2} och a_{t1} medan det finns en skillnad mellan dessa för a_{t2} och k_{12} .

7 Diskussion

Att med matematiska modeller beskriva tumörers tillväxt och med specifika mätvärden förutspå hur de kommer att växa är av stort intresse utifrån ett samhällsperspektiv. Trots att modeller sen tidigare tagits fram för att beskriva tillväxtförloppet hos cancerceller finns det ingen implementerad metod för det syftet.

I detta projekt utvecklades metoder för att bestämma de parametrar vilka representerar variationerna i tillväxtförloppen hos olika individer. Först analyserades den valda modellen för att visa vilken påverkan de oidentifierade parametrarna hade, både på kort och lång sikt. Detta utfördes med hjälp av en steady state-analys och en känslighetsanalys. Efter modellanalysen introducerades en metod för att explicit beräkna en oidentifierad parameter och det redogjordes även för en metod vilken förväntas kunna identifiera flera parametrar samtidigt. För att undersöka lämpligheten att använda den valda modellen för att identifiera flera parametrar lades extra fokus på numeriska studier för explicit beräkning av en parameter.

Resultaten av de explicita beräkningarna visade i de tidigare delarna av tidsintervallet stora avvikelser från parametrarnas sanna värden. Dessa avvikelser minskar dock mot mitten och slutet av intervallet.

7.1 Tolkning av resultat

Analys av resultaten från den explicita beräkningen, vilka alla hade avvikelser i början av tidsintervallet, ledde till hypotesen att dessa avvikelser beror på avrundningsfel och diskretiseringsfel. I jämförelsen mellan de ursprungligen introducerade ekvationerna samt dess förenklade versioner visas det att skillnaden för parametrarna d_{M1} , d_{M2} och a_{t1} knappt var märkbar. För parametrarna a_{t2} och k_{12} var däremot skillnaden betydligt mer signifikant. Samma tendenser finns även i graferna där Chebyshev noder implementerats, både med initialvärden enligt tabell 3 för densiteterna och startvärden nära ett steady state.

Införandet av Chebyshev noder resulterade inte i någon signifikant förbättring i de explicita

beräkningarna. Däremot när densiteternas initialvärden ansattes nära ett steady state resulterade detta i förbättrade parameteruppskattningar i början av tidsintervallet. Dessa förbättringar skulle möjligtvis kunna vara kopplade till att densiteterna förändras långsammare i närheten av valt steady state. En annan möjlig förklaring är att storleken på de alternativa startvärdena på x kan minska felen. Det behöver dock undersökas vidare vad de förbättrade resultaten beror på.

Det finns flera metoder som kan utvärderas för att förbättra resultaten i de explicita beräkningarna. En av dessa innefattar elimination av de termer i (5.1) och (5.4) som orsakar stora avvikelser på mindre delintervall.

7.2 Utvärdering av projektets begränsningar

I det tidiga skedet av intervallet antar ibland x_T , x_{M1} och x_{M2} väldigt små värden. Detta visades problematiskt eftersom parametrarna har en storleksordning kring 10^{-9} vilket ger upphov till fel eller avvikelser från den förväntade lösningen, se avsnitt 5.1.1. I avsnitt 6 uppenbaras återigen problematiken med små parametervärden, då den explicita parameterrekonstruktionen fluktuerar initialt, se exempelvis figur 6.2 och 6.3.

Med hänsyn till de små storleksordningarna och att MATLAB som standard tillämpar en precision på 16 decimaler [25] går det inte att utesluta att precisionsbegränsningen lätt skulle kunna överskridas. Detta hade bidragit till ett större avrundningsfel och således även det totala numeriska felet. För att hantera denna fråga kan det vara lämpligt att överväga algoritmer och programvara med förbättrad precision.

En alternativ metod för att hantera avrundningsproblemet innefattar användning av olika skalningstekniker, vilka syftar till att omvandla skalorna på parameterintervallen till mer hanterbara storlekar. Val av skalningsmetod beror i hög grad på modellformuleringen och omskalning av systemet kräver därav djupare förståelse av modellen. Detta för att undvika förlust av fysikalisk och biologisk koppling.

Det är tydligt att det finns utmaningar kopplade till den nuvarande metoden, i synnerhet när det kommer till skalning och beräkningsprecision. Därför är det viktigt att betona att förbättringsmöjligheter för metoder som presenteras kräver bearbetning och vidare forskning. Om man tillåter sig att bortse från dessa utmaningar och istället fokuserar på att utveckla verktyg för fortsatt arbete, så finns det betydande möjligheter till framsteg.

7.3 Framtida forskning och hypoteser

Med explicit beräkning av en parameter implementerad är ett möjligt nästa steg att identifiera flera parametrar samtidigt, förslagsvis med metoden beskriven i avsnitt 5.2. På grund av avvikelserna i de explicita beräkningarna är en rimlig hypotes att liknande fel även kommer att uppstå i optimeringsalgoritmen. Ett möjligt tillvägagångssätt för att kringgå problemet är att implementera algoritmen på ett tidsintervall där de explicita beräkningarna resulterar i tillräckligt små avvikelser. Detta skulle innebära en del förändringar i bland annat Tikhonovfunktionalen och Lagrangemetoden då de behöver omformuleras för att passa in på det nya tidsintervallet. Vidare är det relevant att undersöka om parameterrekonstruktion är möjlig även då brus introducerats i datan, för att simulera verkliga mätvärden.

Förhoppningen är att modellen, (3.1), i framtiden ska kunna ge en bättre förståelse av tumörtillväxt vilket i längden kan gynna cancerbehandling. För att kunna använda dessa metoder i syfte att beskriva tumörtillväxten i människor är det nödvändigt att vidare studera och utveckla modellen.

Referenser

- [1] Adams RA, Essex C. Calculus : a complete course. 9 uppl. North York: Pearson Canada Inc; 2018. s. 85.
- [2] Alberts B, Johnson A, Lewis J, Morgan D, Raff M, Roberts K, et al. Molecular Biology of the Cell. 6 uppl. New York: Garland Science; 2015.
- [3] Asadzadeh M. An Introduction to the Finite Element Method for Differential Equations. Hoboken: John Wiley & Sons Inc; 2020.
- [4] Beilina L, Klibanov MV, Kokurin MY. Adaptivity with relaxation for ill-posed problems and global convergence for a coefficient inverse problem. J Math Sci. 2010; 167: 279–325. doi: 10.1007/s10958-010-9921-1
- [5] Beilina L. Numerisk Analys, MMG410, Lecture 14 [internet]. Göteborg;;2019 [citerad 6 maj 2023]. Hämtad från: <http://www.math.chalmers.se/Math/Grundutb/GU/MMG410/V19/Lectures/>
- [6] Beilina L, Eftimie R. Parameter identification for a mathematical model describing tumor-macrophages interactions. Under förberedelse.
- [7] Beilina L, Klibanov MV. Approximate Global Convergence and Adaptivity for Coefficient Inverse Problems [internet]. Berlin: Springer Science+Business Media; 2012. [citerad 2 maj 2023]. Hämtad från: <https://link.springer.com/book/10.1007/978-1-4419-7805-9>
- [8] Berger A. Science commentary: Th1 and Th2 responses: what are they? BMJ. 2000 Aug 12; 321(7258): s.424. doi: 10.1136/bmj.321.7258.424
- [9] den Breems NY, Eftimie R. The re-polarisation of M2 and M1 macrophages and its role on cancer outcomes. J Theor Biol. 2016 Feb 7; 390: 23–39. doi: 10.1016/j.jtbi.2015.10.034
- [10] Cancerfonden. Palliativ vård i livets slutskede [internet]. [okänt år][citerad 28 mars 2023]. Hämtad från: <https://www.cancerfonden.se/om-cancer/obotlig-cancer/vard-livets-slut>
- [11] Cancerfonden. Prognos vid cancer [internet]. [okänt år][citerad 28 mars 2023]. Hämtad från: <https://www.cancerfonden.se/om-cancer/statistik/prognos-om-overlevnad-vid-cancer>
- [12] Chakraborty S, Rahman T. The difficulties in cancer treatment. Ecancermedicalsecience. 2012 Nov 14; 6:ed16. doi: 10.3332/ecancer.2012.ed16. PMID: 24883085; PMCID: PMC4024849.
- [13] Chummun S, McLean NR. The management of malignant skin cancers. Surgery (Oxf). 2017 Sep; 35(9): 519–24. doi: 10.1016/j.mpsur.2017.06.013
- [14] Danciu C, Falamas A, Dehelean C, Soica C, Radeke H, Barbu-Tudoran L, et al. A characterization of four B16 murine melanoma cell sublines molecular fingerprint and proliferation behavior. Cancer Cell Int. 2013; 13(1): artikel nr. 75. doi: 10.1186/1475-2867-13-75
- [15] Dwivedi A, Tripathi A, Ray RS, Singh AK. Skin Cancer: Pathogenesis and Diagnosis. Springer Singapore; 2021. doi: 10.1007/978-981-16-0364-8
- [16] Eftimie R, Gillard JJ, Cantrell DA. Mathematical Models for Immunology: Current State of the Art and Future Research Directions. Bull Math Biol. 2016; 78: 2091–134. doi: 10.1007/s11538-016-0214-9
- [17] Fidler IJ, Jessup JM, Kleinerman ES, Fogler WE, Mazumder A. Circumvention of neoplastic heterogeneity by systemically activated macrophages. I: Mastromarino, AJ. Biology and Treatment of Colorectal Cancer Metastasis. Developments in Oncology, vol 42. Boston: Springer; 1986. doi: 10.1007/978-1-4613-2301-3_25
- [18] Friberg S, Mattson S. On the growth rates of human malignant tumors: implications for

- medical decision making. *J Surg Oncol*. 1997 Aug;65(4):284-97. doi: 10.1002/(sici)1096-9098(199708)65:4<284::aid-jso11>3.0.co;2-2. PMID: 9274795.
- [19] Golub GH, Van Loan CF. *Matrix computations*. 3 uppl. Baltimore: The Johns Hopkins University Press; 1996.
- [20] Hussein MR. Tumour-associated macrophages and melanoma tumourigenesis: integrating the complexity. *Int J Exp Pathol*. 2006 Jun;87(3):163-76. doi: 10.1111/j.1365-2613.2006.00478.x. PMID: 16709225; PMCID: PMC2517364.
- [21] Italiani P, Boraschi D. From monocytes to M1/M2 macrophages: Phenotypical vs. functional differentiation. *Front Immunol*. 2014; 5: 514. doi: 10.3389/fimmu.2014.00514
- [22] Logemann H, Ryan EP. *Ordinary Differential Equations, Analysis, Qualitative Theory and Control*. London: Springer London; 2014. doi: 10.1007/978-1-4471-6398-5
- [23] Mantovani A, Locati M. Tumor-Associated Macrophages as a Paradigm of Macrophage Plasticity, Diversity, and Polarization. *Arterioscler Thromb Vasc Biol*. 2013;33(7):1478-83. doi: 10.1161/ATVBAHA.113.300168
- [24] Mantovani A, Sica A, Locati M. Macrophage Polarization Comes of Age. *Immunity*. 2005; 23(4): 344-6. doi: 10.1016/J.IMMUNI.2005.10.001
- [25] MathWorks. digits [internet]. 2023 [citerad 4 maj 2023]. Hämtad från: <https://se.mathworks.com/help/symbolic/digits.html>
- [26] Mills CD. M1 and M2 Macrophages: Oracles of Health and Disease. *Crit Rev Immunol*. 2012;32(6):463-88. doi: 10.1615/critrevimmunol.v32.i6.10. PMID: 23428224.
- [27] Parkin J, Cohen B. An overview of the immune system. *Lancet*. 2001; 357(9279): 1777-89. doi: 10.1016/S0140-6736(00)04904-7
- [28] Robey RW, Robey JM, Aulwes R. In search of numerical consistency in parallel programming. *Parallel Comput*. 2011 Apr-May; 37(4-5): 217-29. doi: 10.1016/J.PARCO.2011.02.009
- [29] Schumacher TN, Schreiber RD. Neoantigens in cancer immunotherapy. *Science*. 2015; 348(6230): 69-74. doi: 10.1126/science.aaa4971
- [30] Stewart GW. *Afternotes on Numerical Analysis*. Philadelphia: Society for Industrial and Applied Mathematics; 1996.
- [31] Tang C. In vitro vs. In vivo: Is One Better? [internet]. Toronto: University Health Network; [okänt år] [citerad 18 april 2023]. Hämtad från: <https://www.uhnresearch.ca/news/vitro-vs-vivo-one-better>

A Appendix 1 – Definitioner

A.1 Fréchetderivatan

Följande definition av Fréchetderivatan är tagen från appendix A.3 i [22].

Definition A.1 (Fréchetderivatan). [22]

Låt $X \subset \mathbb{R}^N$ vara en öppen icke-tom mängd. En funktion $f : X \rightarrow \mathbb{R}^M$ är differentierbar i punkten $x \in X$ om det finns en reell $M \times N$ matris, som vi betecknar med $(Df(x))(x) \in \mathbb{R}^{M \times N}$, sådan att

$$\lim_{z \rightarrow 0} \frac{\|f(x+z) - f(x) - ((Df(x))z)\|}{\|z\|} = 0.$$

A.2 Definition av rum

A.2.1 Sobolev-rum

Definition A.2. [3] Låt Ω vara en öppen delmängd av \mathbb{R}^n . För icke-negativa heltal k och $p \in [1, \infty]$, definierar vi Sobolev rummet av ordning k enligt

$$W_p^k(\Omega) := \{u \in L_p(\Omega) : D^\alpha \in L_p(\Omega), |\alpha| \leq k\}. \quad (\text{A.1})$$

De korresponderande Sobolev-normerna är

$$\|u\|_{W_p^k(\Omega)} := \left(\sum_{|\alpha| \leq k} \|D^\alpha u\|_{L_p(\omega)}^p \right)^{1/p}, \quad 1 \leq p < \infty, \quad (\text{A.2})$$

och

$$\|u\|_{W_\infty^k(\Omega)} := \sum_{|\alpha| \leq k} \|D^\alpha u\|_{L_\infty(\Omega)}. \quad (\text{A.3})$$

Vi definierar också seminormerna enligt

$$|u|_{W_p^k(\Omega)} := \left(\sum_{|\alpha|=k} \|D^\alpha u\|_{L_p(\omega)}^p \right)^{1/p}, \quad 1 \leq p < \infty. \quad (\text{A.4})$$

Därmed, för $1 \leq p < \infty$, får vi skriva

$$\|u\|_{W_\infty^k(\Omega)} := \left(\sum_{j=0}^k |u|_{W_p^j(\Omega)}^p \right). \quad (\text{A.5})$$

Utöver det, när $p = \infty$, får vi

$$|u|_{W_\infty^k(\Omega)} := \sum_{|\alpha| \leq k} \|D^\alpha u\|_{L_\infty(\Omega)}, \quad (\text{A.6})$$

vilket ger

$$\|u\|_{W_\infty^k(\Omega)} := \sum_{j=0}^k |u|_{W_\infty^j(\Omega)} \quad (\text{A.7})$$

Anmärkning A.1. För $k = 0$ är $|\cdot|_{W_p^k(\Omega)}$ den vanliga L_p -normen. Benämningen seminorm används endast när $k \geq 1$

A.2.2 Hilbert-rum

Specialfallen av W_p^k där $p = 2$ och $k = 1, 2$ kallas Hilbertrum och skrivs $H^k(\Omega)$, $\Omega \subset \mathbb{R}^n$ [3]. För $k = 1$ fås

$$H^1(\Omega) := \left\{ u \in L_2(\Omega) \left| \frac{\partial u}{\partial x_j} \in L_2(\Omega), j = 1, \dots, n \right. \right\}, \quad (\text{A.8a})$$

$$\|u\|_{H^1(\Omega)} := \left(\|u\|_{L_2(\Omega)}^2 + \sum_{j=1}^n \left\| \frac{\partial u}{\partial x_j} \right\|_{L_2(\Omega)}^2 \right)^{1/2}, \quad (\text{A.8b})$$

$$|u|_{H^1(\Omega)} := \left(\sum_{j=1}^n \left\| \frac{\partial u}{\partial x_j} \right\|_{L_2(\Omega)}^2 \right)^{1/2}, \quad (\text{A.8c})$$

och för $k = 2$

$$H^2(\Omega) := \left\{ u \in L_2(\Omega) \left| \frac{\partial u}{\partial x_j} \in L_2(\Omega), j = 1, \dots, n \text{ och } \frac{\partial^2 u}{\partial x_i \partial x_j} \in L_2(\Omega), i, j = 1, \dots, n \right. \right\}, \quad (\text{A.9a})$$

$$\|u\|_{H^2(\Omega)} := \left(\|u\|_{L_2(\Omega)}^2 + \sum_{j=1}^n \left\| \frac{\partial u}{\partial x_j} \right\|_{L_2(\Omega)}^2 + \sum_{i,j=1}^n \left\| \frac{\partial^2 u}{\partial x_i \partial x_j} \right\|_{L_2(\Omega)}^2 \right)^{1/2}, \quad (\text{A.9b})$$

$$|u|_{H^2(\Omega)} := \left(\sum_{j=1}^n \left\| \frac{\partial u}{\partial x_j} \right\|_{L_2(\Omega)}^2 \right)^{1/2}. \quad (\text{A.9c})$$

B Appendix 2 – Bevis

B.1 Analys av steady states

Bevis av sats 4.1. Antag att $\mathbf{x}(t) \geq \mathbf{0}$, $\boldsymbol{\alpha} > \mathbf{0}$ och att $r, \beta_T, \beta_M, \delta_{M1}, \delta_{M2} > 0$. Låt $f(\mathbf{x}) = \frac{dx}{dt}$, det vill säga

$$f_1(\mathbf{x}) = rx_T \left(1 - \frac{x_T}{\beta_T}\right) - d_{M1}x_{M1}x_T + d_{M2}x_{M2}x_T, \quad (\text{B.1a})$$

$$f_2(\mathbf{x}) = a_{t1}x_Tx_{M1} \left(1 - \frac{x_{M1} + x_{M2}}{\beta_M}\right) - \delta_{M1}x_{M1} - k_{12}x_{M1}x_T, \quad (\text{B.1b})$$

$$f_3(\mathbf{x}) = a_{t2}x_Tx_{M2} \left(1 - \frac{x_{M1} + x_{M2}}{\beta_M}\right) - \delta_{M2}x_{M2} + k_{12}x_{M1}x_T. \quad (\text{B.1c})$$

Enligt definition är punkten \mathbf{x}^* ett steady state om och endast om $f(\mathbf{x}^*) = 0$.

Vi börjar med att hitta alla steady state under antagandet att $x_T^* = 0$ vilket ger att $f(\mathbf{x}) = 0$ förenklas till

$$\begin{cases} f_1(\mathbf{x}^*) = 0, & (\text{B.2}) \\ f_2(\mathbf{x}^*) = -\delta_{M1}x_{M1}^*, & (\text{B.3}) \\ f_3(\mathbf{x}^*) = -\delta_{M2}x_{M2}^*. & (\text{B.4}) \end{cases}$$

Eftersom $\delta_{M1}, \delta_{M2} > 0$ måste därmed $x_{M1}^* = x_{M2}^* = 0$ för att \mathbf{x}^* ska vara ett steady state. Detta medför att det enda steady state för $x_T^* = 0$ är $\mathbf{x}^* = (0, 0, 0)$.

Antar vi istället att $x_T^* > 0$ och $x_{M1}^* = x_{M2}^* = 0$, förenklas $f(\mathbf{x}) = 0$ till

$$\begin{cases} f_1(\mathbf{x}^*) = rx_T^* \left(1 - \frac{x_T^*}{\beta_T}\right), & (\text{B.5}) \\ f_2(\mathbf{x}^*) = 0, & (\text{B.6}) \\ f_3(\mathbf{x}^*) = 0. & (\text{B.7}) \end{cases}$$

Eftersom $r, x_T^*, \beta_T > 0$ uppfylls endast kravet att $f(\mathbf{x}^*) = 0$ om $x_T^* = \beta_T$. Alltså är $\mathbf{x}^* = (\beta_T, 0, 0)$ det enda möjliga steady state för de gällande antagandena.

Vi antar nu att $x_T^*, x_{M2}^* > 0$ och $x_{M1}^* = 0$ vilket ger att förenklingen av $f(\mathbf{x}^*) = 0$ blir

$$\begin{cases} f_1(\mathbf{x}^*) = rx_T^* \left(1 - \frac{x_T^*}{\beta_T}\right) + d_{M2}x_{M2}^*x_T^* = 0, & (\text{B.8}) \\ f_2(\mathbf{x}^*) = 0, & (\text{B.9}) \\ f_3(\mathbf{x}^*) = a_{t2}x_T^*x_{M2}^* \left(1 - \frac{x_{M2}^*}{\beta_M}\right) - \delta_{M2}x_{M2}^* = 0. & (\text{B.10}) \end{cases}$$

Genom att bryta ut x_{M2}^* ur (B.8) ges att

$$x_{M2}^* = \frac{-rx_T^*(1 - \frac{x_T^*}{\beta_T})}{d_{M2}x_T^*} = \frac{r}{d_{M2}} \left(\frac{x_T^*}{\beta_T} - 1\right). \quad (\text{B.11})$$

Detta kan sedan användas för att skriva om (B.10) som

$$a_{t2}x_T^* \left(1 - \frac{r(\frac{x_T^*}{\beta_T} - 1)}{d_{M2}\beta_M}\right) - \delta_{M2} = 0, \quad (\text{B.12})$$

vilket i sin tur kan förenklas till andragradsekvationen

$$(x_T^*)^2 - \frac{d_{M2}\beta_T\beta_M}{r} \left(1 + \frac{r}{d_{M2}\beta_M}\right) x_T^* + \frac{\delta_{M2}d_{M2}\beta_T\beta_M}{a_{t2}r} = 0. \quad (\text{B.13})$$

Lösningarna till (B.13) är

$$x_T^* = \frac{d_{M2}\beta_T\beta_M(1 + \frac{r}{d_{M2}\beta_M})}{2r} \pm \sqrt{\left(\frac{d_{M2}\beta_T\beta_M(1 + \frac{r}{d_{M2}\beta_M})}{2r}\right)^2 - \frac{\delta_{M2}d_{M2}\beta_T\beta_M}{a_{t2}r}}, \quad (\text{B.14})$$

vilket kan skrivas om till

$$x_T^* = \frac{d_{M2}\beta_T\beta_M}{2a_{t2}r} \left[\left(a_{t2} + \frac{a_{t2}r}{d_{M2}\beta_M}\right) \pm \sqrt{\left(a_{t2} + \frac{a_{t2}r}{d_{M2}\beta_M}\right)^2 - \frac{4a_{t2}r\delta_{M2}}{\beta_T\beta_M d_{M2}}} \right]. \quad (\text{B.15})$$

Vi har alltså hittat ett tredje och fjärde steady state $x^* = (x_T^*, 0, \frac{r}{d_{M2}}(\frac{x_T^*}{\beta_T} - 1))$ där x_T^* beskrivs av (B.15). Dessa steady state existerar endast om $x_T^* \in \mathbb{R}$ och $x_T^* > 0$.

Nu antar vi att $x_T^*, x_{M1}^* > 0$ och $x_{M2}^* = 0$. Förenklingen av $f(\mathbf{x}^*) = 0$ ger då ekvationssystemet

$$\begin{cases} f_1(\mathbf{x}^*) = rx_T^* \left(1 - \frac{x_T^*}{\beta_T}\right) - d_{M1}x_{M1}^*x_T^* = 0, & (\text{B.16}) \end{cases}$$

$$\begin{cases} f_2(\mathbf{x}^*) = a_{t1}x_T^*x_{M1}^* \left(1 - \frac{x_{M1}^*}{\beta_M}\right) - \delta_{M1}x_{M1}^* - k_{12}x_{M1}^*x_T^* = 0, & (\text{B.17}) \end{cases}$$

$$\begin{cases} f_3(\mathbf{x}^*) = k_{12}x_{M1}^*x_T^* = 0. & (\text{B.18}) \end{cases}$$

Enligt antagande är $k_{12}, x_{M1}^*, x_T^* > 0$ vilket gör att (B.18) ej går att uppfylla. Under dessa antaganden finns därför inga steady state.

Till sist antar vi att $x_T^*, x_{M1}^*, x_{M2}^* > 0$ vilket ger att $f(\mathbf{x}^*) = 0$ förblir oförändrat, det vill säga

$$\begin{cases} rx_T^* \left(1 - \frac{x_T^*}{\beta_T}\right) - d_{M1}x_{M1}^*x_T^* + d_{M2}x_{M2}^*x_T^* = 0, & (\text{B.19}) \end{cases}$$

$$\begin{cases} a_{t1}x_T^*x_{M1}^* \left(1 - \frac{x_{M1}^* + x_{M2}^*}{\beta_M}\right) - \delta_{M1}x_{M1}^* - k_{12}x_{M1}^*x_T^* = 0, & (\text{B.20}) \end{cases}$$

$$\begin{cases} a_{t2}x_T^*x_{M2}^* \left(1 - \frac{x_{M1}^* + x_{M2}^*}{\beta_M}\right) - \delta_{M2}x_{M2}^* + k_{12}x_{M1}^*x_T^* = 0. & (\text{B.21}) \end{cases}$$

Vi kan bryta ut x_{M1}^* ur (B.19) vilket ger oss

$$x_{M1}^* = \frac{r}{d_{M1}} \left(1 - \frac{x_T^*}{\beta_T}\right) + \frac{d_{M2}}{d_{M1}}x_{M2}^*. \quad (\text{B.22})$$

Vi kan skriva om (B.20) som

$$x_T^* \left(1 - \frac{x_{M1}^* + x_{M2}^*}{\beta_M}\right) = \frac{\delta_{M1}}{a_{t1}} + \frac{k_{12}x_T^*}{a_{t1}}. \quad (\text{B.23})$$

Om vi sedan sätter in (B.23) i (B.21) får vi

$$a_{t2}x_{M2}^* \left(\frac{\delta_{M1}}{a_{t1}} + \frac{k_{12}}{a_{t1}}x_T^*\right) - \delta_{M2}x_{M2}^* + k_{12}x_{M1}^*x_T^* = 0. \quad (\text{B.24})$$

Insättning av (B.22) i (B.24) ger oss ekvationen

$$a_{t2}x_{M2}^* \left(\frac{\delta_{M1}}{a_{t1}} + \frac{k_{12}}{a_{t1}}x_T^*\right) - \delta_{M2}x_{M2}^* + k_{12}x_T^* \left(\frac{d_{M2}x_{M2}^*}{d_{M1}} + \frac{r}{d_{M1}} \left(1 - \frac{x_T^*}{\beta_T}\right)\right) = 0. \quad (\text{B.25})$$

Detta innebär att vi har steady state, $x^* = (x_T^*, x_{M1}^*, x_{M2}^*)$, givna implicit av (B.22) och (B.25). \square

Bevis av sats 4.3. Låt $f = \dot{x}$, det vill säga

$$\begin{cases} f_1 = rx_T \left(1 - \frac{x_T}{\beta_T}\right) - d_{M1}x_{M1}x_T + d_{M2}x_{M2}x_T, & (\text{B.26}) \end{cases}$$

$$\begin{cases} f_2 = a_{t1}x_Tx_{M1} \left(1 - \frac{x_{M1} + x_{M2}}{\beta_M}\right) - \delta_{M1}x_{M1} - k_{12}x_{M1}x_T, & (\text{B.27}) \end{cases}$$

$$\begin{cases} f_3 = a_{t2}x_Tx_{M2} \left(1 - \frac{x_{M1} + x_{M2}}{\beta_M}\right) - \delta_{M2}x_{M2} + k_{12}x_{M1}x_T. & (\text{B.28}) \end{cases}$$

Notera att f är differentierbar i punkterna $\mathbf{x}_1^* = (0, 0, 0)$ och $\mathbf{x}_2^* = (\beta_T, 0, 0)$ samt att $f(\mathbf{x}_1^*) = f(\mathbf{x}_2^*) = 0$. Så vi kan använda oss av sats 4.2.

Vi börjar med att ta fram matrisen A för $\mathbf{x}_1^* = (0, 0, 0)$. För det behöver vi de partiella derivatorna av f med avseende på x_T, x_{M1} och x_{M2} . Derivatorna är följande:

- $\frac{\partial f_1}{\partial x_T}(\mathbf{x}) = r(1 - \frac{2x_T}{\beta_T}) - d_{M1}x_{M1} + d_{M2}x_{M2}$,
- $\frac{\partial f_1}{\partial x_{M1}}(\mathbf{x}) = -d_{M1}x_T$,
- $\frac{\partial f_1}{\partial x_{M2}}(\mathbf{x}) = d_{M2}x_T$,
- $\frac{\partial f_2}{\partial x_T}(\mathbf{x}) = a_{t1}x_{M1}(1 - \frac{x_{M1}+x_{M2}}{\beta_M}) - k_{12}x_{M1}$,
- $\frac{\partial f_2}{\partial x_{M1}}(\mathbf{x}) = a_{t1}x_T(1 - \frac{2x_{M1}+x_{M2}}{\beta_M}) - \delta_{M1} - k_{12}x_T$,
- $\frac{\partial f_2}{\partial x_{M2}}(\mathbf{x}) = -\frac{a_{t1}x_Tx_{M1}}{\beta_M}$,
- $\frac{\partial f_3}{\partial x_T}(\mathbf{x}) = a_{t2}x_{M2}(1 - \frac{x_{M1}+x_{M2}}{\beta_M}) + k_{12}x_{M1}$,
- $\frac{\partial f_3}{\partial x_{M1}}(\mathbf{x}) = -\frac{a_{t2}x_Tx_{M2}}{\beta_M} + k_{12}x_T$,
- $\frac{\partial f_3}{\partial x_{M2}}(\mathbf{x}) = a_{t2}x_T(1 - \frac{x_{M1}+2x_{M2}}{\beta_M}) - \delta_{M2}$.

Dessa derivator samt insättning av punkten \mathbf{x}_1^* ger oss matrisen

$$A = \begin{bmatrix} r & 0 & 0 \\ 0 & -\delta_{M1} & 0 \\ 0 & 0 & -\delta_{M2} \end{bmatrix},$$

som har egenvärdena $r, -\delta_{M1}$ och $-\delta_{M2}$. Eftersom $r > 0$ enligt antagande så säger sats 4.2 att punkten \mathbf{x}_1^* är ett instabilt steady state.

Genom att förskjuta funktionen f från $f(\mathbf{x})$ till $f(\mathbf{x} - \mathbf{x}_2^*)$ kan vi ta fram motsvarande matris A för punkten \mathbf{x}_2^* . Vi kallar den nya förskjutna funktionen för \tilde{f} vilken ser ut på följande sätt.

$$\begin{cases} \tilde{f}_1 = r(x_T - \beta_T) \left(1 - \frac{x_T - \beta_T}{\beta_T}\right) - d_{M1}x_{M1}(x_T - \beta_T) + d_{M2}x_{M2}(x_T - \beta_T), & \text{(B.29)} \end{cases}$$

$$\begin{cases} \tilde{f}_2 = a_{t1}(x_T - \beta_T)x_{M1} \left(1 - \frac{x_{M1} + x_{M2}}{\beta_M}\right) - \delta_{M1}x_{M1} - k_{12}x_{M1}(x_T - \beta_T), & \text{(B.30)} \end{cases}$$

$$\begin{cases} \tilde{f}_3 = a_{t2}(x_T - \beta_T)x_{M2} \left(1 - \frac{x_{M1} + x_{M2}}{\beta_M}\right) - \delta_{M2}x_{M2} + k_{12}x_{M1}(x_T - \beta_T). & \text{(B.31)} \end{cases}$$

De nya derivatorna med avseende på x_T, x_{M1} och x_{M2} är följande:

- $\frac{\partial \tilde{f}_1}{\partial x_T}(\mathbf{x}) = r - \frac{2r(x_T - \beta_T)}{\beta_T} - d_{M1}x_{M1} + d_{M2}x_{M2}$,
- $\frac{\partial \tilde{f}_1}{\partial x_{M1}}(\mathbf{x}) = -d_{M1}(x_T - \beta_T)$,
- $\frac{\partial \tilde{f}_1}{\partial x_{M2}}(\mathbf{x}) = d_{M2}(x_T - \beta_T)$,
- $\frac{\partial \tilde{f}_2}{\partial x_T}(\mathbf{x}) = a_{t1}x_{M1}(1 - \frac{x_{M1}+x_{M2}}{\beta_M}) - k_{12}x_{M1}$,
- $\frac{\partial \tilde{f}_2}{\partial x_{M1}}(\mathbf{x}) = a_{t1}(x_T - \beta_T)(1 - \frac{2x_{M1}+x_{M2}}{\beta_M}) - \delta_{M1} - k_{12}(x_T - \beta_T)$,
- $\frac{\partial \tilde{f}_2}{\partial x_{M2}}(\mathbf{x}) = -\frac{a_{t1}(x_T - \beta_T)x_{M1}}{\beta_M}$,
- $\frac{\partial \tilde{f}_3}{\partial x_T}(\mathbf{x}) = a_{t2}x_{M2}(1 - \frac{x_{M1}+x_{M2}}{\beta_M}) + k_{12}x_{M1}$,
- $\frac{\partial \tilde{f}_3}{\partial x_{M1}}(\mathbf{x}) = -\frac{a_{t2}(x_T - \beta_T)x_{M2}}{\beta_M} + k_{12}(x_T - \beta_T)$,

- $\frac{\partial \tilde{f}_3}{\partial x_{M2}}(\mathbf{x}) = a_{t2}(x_T - \beta_T)(1 - \frac{x_{M1} + 2x_{M2}}{\beta_M}) - \delta_{M2}$.

Dessa derivator samt insättning av punkten $(0, 0, 0)$ ger oss matrisen

$$A = \begin{bmatrix} 3r & d_{M1}\beta_T & -d_{M2}\beta_T \\ 0 & (k_{12} - a_{t1})\beta_T - \delta_{M1} & 0 \\ 0 & -\beta_T k_{12} & -a_{t2}\beta_T - \delta_{M2} \end{bmatrix}.$$

Notera att vi sätter in punkten $(0, 0, 0)$ istället för \mathbf{x}_2^* på grund av att vi använder den förskjutna funktionen \tilde{f} .

Vi beräknar egenvärdena, λ , till A med den karaktäristiska ekvationen

$$\det(A - \lambda I) = 0,$$

vilket i vårt fall blir

$$\begin{aligned} \det(A - \lambda I) &= \det \begin{pmatrix} 3r - \lambda & d_{M1}\beta_T & -d_{M2}\beta_T \\ 0 & (k_{12} - a_{t1})\beta_T - \delta_{M1} - \lambda & 0 \\ 0 & -\beta_T k_{12} & -a_{t2}\beta_T - \delta_{M2} - \lambda \end{pmatrix} = \\ &= (3r - \lambda) \det \begin{pmatrix} (k_{12} - a_{t1})\beta_T - \delta_{M1} - \lambda & 0 \\ -\beta_T k_{12} & -a_{t2}\beta_T - \delta_{M2} - \lambda \end{pmatrix} = \\ &= (3r - \lambda)((k_{12} - a_{t1})\beta_T - \delta_{M1} - \lambda)(-a_{t2}\beta_T - \delta_{M2} - \lambda) = 0. \end{aligned}$$

Lösningarna till den karaktäristiska ekvationen är

$$\begin{cases} \lambda_1 = 3r \\ \lambda_2 = \beta_T(k_{12} - a_{t1}) - \delta_{M1} \\ \lambda_3 = -a_{t2}\beta_T - \delta_{M2}. \end{cases}$$

Dessa lösningar är även våra egenvärden. Eftersom $r > 0$ enligt antagande, så är $\lambda_1 = 3r > 0$. Enligt sats 4.2 är då punkten $\mathbf{x}_2^* = (\beta_T, 0, 0)$ ett instabilt steady state.

Därför är satsen bevisad. \square

B.2 Derivator

Bevis av sats 5.2. Under antagandet att λ , \mathbf{x} och $\boldsymbol{\alpha}$ kan varieras oberoende av varandra blir de partiella Fréchetderivatorna av L med avseende på λ följande.

$$\begin{aligned} L'_{\lambda_1}(\mathbf{v})(\bar{\lambda}_1) &= \frac{\partial}{\partial \lambda_1} \left(\int_0^T \lambda_1(t)(\dot{x}_1(t) - f_1(t))dt \bar{\lambda}_1 \right) = \left(\int_0^T \frac{dx_T}{dt} - f_1 dt \right) \bar{\lambda}_1 = \\ &= \int_0^T \left(\frac{dx_T}{dt} - r x_T \left(1 - \frac{x_T}{\beta_T}\right) + d_{M1} x_{M1} x_T - d_{M2} x_{M2} x_T \right) \bar{\lambda}_1 dt. \end{aligned} \tag{B.32a}$$

$$\begin{aligned} L'_{\lambda_2}(\mathbf{v})(\bar{\lambda}_2) &= \frac{\partial}{\partial \lambda_2} \left(\int_0^T \lambda_2(t)(\dot{x}_2(t) - f_2(t))dt \bar{\lambda}_2 \right) = \left(\int_0^T \frac{dx_{M1}}{dt} - f_2 dt \right) \bar{\lambda}_2 = \\ &= \int_0^T \left(\frac{dx_{M1}}{dt} - a_{t1} x_T x_{M1} \left(1 - \frac{x_{M1} + x_{M2}}{\beta_M}\right) + \delta_{M1} x_{M1} + k_{12} x_{M1} x_T \right) \bar{\lambda}_2 dt. \end{aligned} \tag{B.32b}$$

$$\begin{aligned} L'_{\lambda_3}(\mathbf{v})(\bar{\lambda}_3) &= \frac{\partial}{\partial \lambda_3} \left(\int_0^T \lambda_3(t)(\dot{x}_3(t) - f_3(t))dt \bar{\lambda}_3 \right) = \left(\int_0^T \frac{dx_{M2}}{dt} - f_3 dt \right) \bar{\lambda}_3 = \\ &= \int_0^T \left(\frac{dx_{M2}}{dt} - a_{t2} x_T x_{M2} \left(1 - \frac{x_{M1} + x_{M2}}{\beta_M}\right) + \delta_{M2} x_{M2} - k_{12} x_{M1} x_T \right) \bar{\lambda}_3 dt. \end{aligned} \tag{B.32c}$$

Notera att alla termer inte skrivs med i första steget. Alla termer som inte innehåller λ_1, λ_2 respektive λ_3 kommer bli 0 när vi deriverar med avseende på motsvarande parameter.

Genom att sätta de olika derivatorna till noll är sats 5.2 bevisad. \square

Bevis av sats 5.3. Under antagandet att λ, \mathbf{x} och $\boldsymbol{\alpha}$ kan varieras oberoende av varandra kan vi beräkna de partiella Fréchetderivatorna av L med avseende på x_T på följande sätt.

$$L'_{x_T}(\mathbf{v})(\bar{x}_T) = \frac{\partial}{\partial x_T} \left(\frac{1}{2} \int_0^T (x_1(t) - g_1^c(t))^2 dt + \sum_{i=1}^3 \int_0^T \lambda_i(t)(x_i(t) - f_i(t)) dt \right) \bar{x}_T. \quad (\text{B.33})$$

Vi delar upp i fyra mindre beräkningar, en för varje term i funktionen som deriveras.

- $\frac{\partial}{\partial x_T} \left(\frac{1}{2} \int_0^T (x_1(t) - g_1^c(t))^2 dt \right) = \frac{1}{2} \frac{\partial}{\partial x_T} \left(\int_0^T (x_T - g_1^c)^2 dt \right) = \frac{1}{2} \left(\int_0^T 2(x_T - g_1^c) dt \right) = \int_0^T (x_T - g_1^c) dt,$
- $\frac{\partial}{\partial x_T} \left(\int_0^T \lambda_1(t)(x_1(t) - f_1(t)) dt \right) = \frac{\partial}{\partial x_T} \left(\int_0^T \lambda_1 \frac{dx_T}{dt} dt \right) - \frac{\partial}{\partial x_T} \left(\int_0^T \lambda_1 f_1 dt \right) =$
 $= \{ \text{Partiell integration} \} = \frac{\partial}{\partial x_T} \left([\lambda_1 x_T]_0^T - \int_0^T \frac{d\lambda_1}{dt} x_T dt \right) - \frac{\partial}{\partial x_T} \left(\int_0^T \lambda_1 (r x_T (1 - \frac{x_T}{\beta_T}) - d_{M1} x_{M1} x_T + d_{M2} x_{M2} x_T) dt \right) = \int_0^T -\frac{d\lambda_1}{dt} - \lambda_1 r (1 - \frac{2x_T}{\beta_T}) + \lambda_1 d_{M1} x_{M1} - \lambda_1 d_{M2} x_{M2} dt,$
- $\frac{\partial}{\partial x_T} \left(\int_0^T \lambda_2(t)(x_2(t) - f_2(t)) dt \right) = \frac{\partial}{\partial x_T} \left(\int_0^T -\lambda_2 f_2 dt \right) = \frac{\partial}{\partial x_T} \left(- \int_0^T \lambda_2 (a_{t1} x_T x_{M1} (1 - \frac{x_{M1} + x_{M2}}{\beta_M}) - \delta_{M1} x_{M1} - k_{12} x_{M1} x_T) dt \right) = \int_0^T -\lambda_2 a_{t1} x_{M1} (1 - \frac{x_{M1} + x_{M2}}{\beta_M}) + \lambda_2 k_{12} x_{M1} dt,$
- $\frac{\partial}{\partial x_T} \left(\int_0^T \lambda_3(t)(x_3(t) - f_3(t)) dt \right) = \frac{\partial}{\partial x_T} \left(\int_0^T -\lambda_3 f_3 dt \right) = \frac{\partial}{\partial x_T} \left(- \int_0^T \lambda_3 (a_{t2} x_T x_{M2} (1 - \frac{x_{M1} + x_{M2}}{\beta_M}) - \delta_{M2} x_{M2} + k_{12} x_{M1} x_T) dt \right) = \int_0^T -\lambda_3 a_{t2} x_{M2} (1 - \frac{x_{M1} + x_{M2}}{\beta_M}) - \lambda_3 k_{12} x_{M1} dt.$

Det ger oss följande uttryck för derivatan:

$$L'_{x_T}(\mathbf{v})(\bar{x}_T) = \int_0^T (x_T - g_1^c) \bar{x}_T dt + \int_0^T \left(-\frac{d\lambda_1}{dt} - \lambda_1 r (1 - \frac{2x_T}{\beta_T}) + \lambda_1 d_{M1} x_{M1} - \lambda_1 d_{M2} x_{M2} - \lambda_2 a_{t1} x_{M1} (1 - \frac{x_{M1} + x_{M2}}{\beta_M}) + \lambda_2 k_{12} x_{M1} - \lambda_3 a_{t2} x_{M2} (1 - \frac{x_{M1} + x_{M2}}{\beta_M}) - \lambda_3 k_{12} x_{M1} \right) \bar{x}_T dt.$$

De partiella Fréchetderivatorna av L med avseende på x_{M1} beräknas på följande sätt.

$$L'_{x_{M1}}(\mathbf{v})(\bar{x}_{M1}) = \frac{\partial}{\partial x_{M1}} \left(\frac{1}{2} \int_0^T (x_2(t) - g_2^c(t))^2 dt + \sum_{i=1}^3 \int_0^T \lambda_i(t)(x_i(t) - f_i(t)) dt \right) \bar{x}_{M1}. \quad (\text{B.34})$$

Vi delar upp i fyra delberäkningar, en för varje term.

- $\frac{\partial}{\partial x_{M1}} \left(\frac{1}{2} \int_0^T (x_2(t) - g_2^c(t))^2 dt \right) = \frac{1}{2} \frac{\partial}{\partial x_{M1}} \left(\int_0^T (x_{M1} - g_2^c)^2 dt \right) = \frac{1}{2} \left(\int_0^T 2(x_{M1} - g_2^c) dt \right) = \int_0^T (x_{M1} - g_2^c) dt,$
- $\frac{\partial}{\partial x_{M1}} \left(\int_0^T \lambda_1(t)(x_1(t) - f_1(t)) dt \right) = \frac{\partial}{\partial x_{M1}} \left(\int_0^T -\lambda_1 f_1 dt \right) = \frac{\partial}{\partial x_{M1}} \left(- \int_0^T \lambda_1 (r x_T (1 - \frac{x_T}{\beta_T}) - d_{M1} x_{M1} x_T + d_{M2} x_{M2} x_T) dt \right) = \int_0^T \lambda_1 d_{M1} x_T dt,$
- $\frac{\partial}{\partial x_{M1}} \left(\int_0^T \lambda_2(t)(x_2(t) - f_2(t)) dt \right) = \frac{\partial}{\partial x_{M1}} \left(\int_0^T \lambda_2 \frac{\partial x_{M1}}{\partial t} dt \right) - \frac{\partial}{\partial x_{M1}} \left(\int_0^T \lambda_2 f_2 dt \right) = \{ \text{Partiell integration} \}$
 $= \frac{\partial}{\partial x_{M1}} \left([\lambda_2 x_{M1}]_0^T - \int_0^T \frac{d\lambda_2}{dt} x_{M1} dt \right) - \frac{\partial}{\partial x_{M1}} \left(\int_0^T \lambda_2 (a_{t1} x_T x_{M1} (1 - \frac{x_{M1} + x_{M2}}{\beta_M}) - \delta_{M1} x_{M1} - k_{12} x_{M1} x_T) dt \right) = \int_0^T -\frac{d\lambda_2}{dt} - \lambda_2 a_{t1} x_T (1 - \frac{2x_{M1} + x_{M2}}{\beta_M}) + \lambda_2 \delta_{M1} + \lambda_2 k_{12} x_T dt,$
- $\frac{\partial}{\partial x_{M1}} \left(\int_0^T \lambda_3(t)(x_3(t) - f_3(t)) dt \right) = \frac{\partial}{\partial x_{M1}} \left(\int_0^T -\lambda_3 f_3 dt \right) = \frac{\partial}{\partial x_{M1}} \left(- \int_0^T \lambda_3 (a_{t2} x_T x_{M2} (1 - \frac{x_{M1} + x_{M2}}{\beta_M}) - \delta_{M2} x_{M2} + k_{12} x_{M1} x_T) dt \right) = \int_0^T \frac{\lambda_3 a_{t2} x_T x_{M2}}{\beta_M} - \lambda_3 k_{12} x_T dt.$

Detta ger oss följande uttryck.

$$L'_{x_{M1}}(\mathbf{v})(\bar{x}_{M1}) = \int_0^T (x_{M1} - g_2^c) \bar{x}_{M1} dt + \int_0^T \left(\lambda_1 d_{M1} x_T - \frac{d\lambda_2}{dt} - \lambda_2 a_{t1} x_T \left(1 - \frac{2x_{M1} + x_{M2}}{\beta_M}\right) + \lambda_2 \delta_{M1} \right. \\ \left. + \lambda_2 k_{12} x_T + \frac{\lambda_3 a_{t2} x_T x_{M2}}{\beta_M} - \lambda_3 k_{12} x_T \right) \bar{x}_{M1} dt.$$

De partiella Fréchetderivatorna av L med avseende på x_{M2} beräknas på samma sätt.

$$L'_{x_{M2}}(\mathbf{v})(\bar{x}_{M2}) = \frac{\partial}{\partial x_{M2}} \left(\frac{1}{2} \int_0^T (x_3(t) - g_3^c(t))^2 dt + \sum_{i=1}^3 \int_0^T \lambda_i(t) (\dot{x}_i(t) - f_i(t)) dt \right) \bar{x}_{M2}. \quad (\text{B.35})$$

Vi delar upp i fyra delberäkningar, en för varje term.

- $\frac{\partial}{\partial x_{M2}} \left(\frac{1}{2} \int_0^T (x_3(t) - g_3^c(t))^2 dt \right) = \frac{1}{2} \frac{\partial}{\partial x_{M2}} \left(\int_0^T (x_{M2} - g_3^c)^2 dt \right) = \frac{1}{2} \left(\int_0^T 2(x_{M2} - g_3^c) dt \right) = \int_0^T (x_{M2} - g_3^c) dt,$
- $\frac{\partial}{\partial x_{M2}} \left(\int_0^T \lambda_1(t) (\dot{x}_1(t) - f_1(t)) dt \right) = \frac{\partial}{\partial x_{M2}} \left(\int_0^T -\lambda_1 f_1 dt \right) = \frac{\partial}{\partial x_{M2}} \left(- \int_0^T \lambda_1 (r x_T (1 - \frac{x_T}{\beta_T}) - d_{M1} x_{M1} x_T + d_{M2} x_{M2} x_T) dt \right) = \int_0^T -\lambda_1 d_{M2} x_T dt,$
- $\frac{\partial}{\partial x_{M2}} \left(\int_0^T \lambda_2(t) (\dot{x}_2(t) - f_2(t)) dt \right) = \frac{\partial}{\partial x_{M2}} \left(\int_0^T -\lambda_2 f_2 dt \right) = \frac{\partial}{\partial x_{M2}} \left(- \int_0^T \lambda_2 (a_{t1} x_T x_{M1} (1 - \frac{x_{M1} + x_{M2}}{\beta_M}) - \delta_{M1} x_{M1} - k_{12} x_{M1} x_T) dt \right) = \int_0^T \frac{\lambda_2 a_{t1} x_T x_{M1}}{\beta_M} dt,$
- $\frac{\partial}{\partial x_{M2}} \left(\int_0^T \lambda_3(t) (\dot{x}_3(t) - f_3(t)) dt \right) = \frac{\partial}{\partial x_{M2}} \left(\int_0^T \lambda_3 \frac{dx_{M2}}{dt} dt \right) - \frac{\partial}{\partial x_{M2}} \left(\int_0^T \lambda_3 f_3 dt \right) = \{ \text{Partiell integration} \} = \frac{\partial}{\partial x_{M2}} \left([\lambda_3 x_{M2}]_0^T - \int_0^T \frac{d\lambda_3}{dt} x_{M2} dt \right) - \frac{\partial}{\partial x_{M2}} \left(\int_0^T \lambda_3 (a_{t2} x_T x_{M2} (1 - \frac{x_{M1} + x_{M2}}{\beta_M}) - \delta_{M2} x_{M2} + k_{12} x_{M1} x_T) dt \right) = \int_0^T -\frac{d\lambda_3}{dt} - \lambda_3 a_{t2} x_T \left(1 - \frac{x_{M1} + 2x_{M2}}{\beta_M}\right) + \lambda_3 \delta_{M2} dt.$

Detta ger oss följande uttryck för derivatan.

$$L'_{x_{M2}}(\mathbf{v})(\bar{x}_{M2}) = \int_0^T (x_{M2} - g_3^c) \bar{x}_{M2} dt + \int_0^T \left(-\lambda_1 d_{M2} x_T + \frac{\lambda_2 a_{t1} x_T x_{M1}}{\beta_M} - \frac{d\lambda_3}{dt} - \lambda_3 a_{t2} x_T \left(1 - \frac{x_{M1} + 2x_{M2}}{\beta_M}\right) + \lambda_3 \delta_{M2} \right) \bar{x}_{M2} dt.$$

Notera att i första steget av deriveringarna av L så skrivs inte termer som deriveras till noll med.

Genom att sätta de olika derivatorna till noll är sats 5.3 bevisad. \square

Bevis av sats 5.4. Under antagandet att λ , \mathbf{x} och α kan varieras oberoende av varandra blir de partiella Fréchetderivatorna av L med avseende på α följande.

$$L'_{d_{M1}}(\mathbf{v})(\bar{d}_{m1}) = \frac{\partial}{\partial d_{M1}} \left(\frac{1}{2} \gamma_1 \int_0^T (d_{M1}(t) - d_{M1}^0)^2 dt + \int_0^T \lambda_1(t) (\dot{x}_1(t) - f_1(t)) dt \right) \bar{d}_{m1} \\ = \left(\frac{1}{2} \gamma_1 \int_0^T 2(d_{M1} - d_{M1}^0) dt + \frac{\partial}{\partial d_{M1}} \left(\int_0^T -\lambda_1 f_1 dt \right) \right) \bar{d}_{m1} = \\ = \gamma_1 \int_0^T (d_{M1} - d_{M1}^0) \bar{d}_{m1} dt + \frac{\partial}{\partial d_{M1}} \left(\int_0^T -\lambda_1 (r x_T (1 - \frac{x_T}{\beta_T}) - d_{M1} x_{M1} x_T + d_{M2} x_{M2} x_T) dt \right) \bar{d}_{m1} = \\ = \gamma_1 \int_0^T (d_{M1} - d_{M1}^0) \bar{d}_{m1} dt + \int_0^T \lambda_1 x_{M1} x_T \bar{d}_{m1} dt \quad (\text{B.36a})$$

$$\begin{aligned}
L'_{d_{M2}}(\mathbf{v})(\bar{d}_{m2}) &= \frac{\partial}{\partial d_{M2}} \left(\frac{1}{2} \gamma_2 \int_0^T (d_{M2}(t) - d_{M2}^0)^2 dt + \int_0^T \lambda_1(t)(\dot{x}_1(t) - f_1(t)) dt \right) \bar{d}_{m2} = \\
&= \frac{1}{2} \gamma_2 \int_0^T 2(d_{M2} - d_{M2}^0) \bar{d}_{m2} dt + \frac{\partial}{\partial d_{M2}} \left(\int_0^T -\lambda_1 f_1 dt \right) \bar{d}_{m2} = \\
&= \gamma_2 \int_0^T (d_{M2} - d_{M2}^0) \bar{d}_{m2} dt + \frac{\partial}{\partial d_{M2}} \left(\int_0^T -\lambda_1 (r x_T (1 - \frac{x_T}{\beta_T}) \right. \\
&\quad \left. - d_{M1} x_{M1} x_T + d_{M2} x_{M2} x_T) dt \right) \bar{d}_{m2} = \\
&= \gamma_2 \int_0^T (d_{M2} - d_{M2}^0) \bar{d}_{m2} dt - \int_0^T \lambda_1 x_{M2} x_T \bar{d}_{m2} dt
\end{aligned} \tag{B.36b}$$

$$\begin{aligned}
L'_{a_{t1}}(\mathbf{v})(\bar{a}_{t1}) &= \frac{\partial}{\partial a_{t1}} \left(\frac{1}{2} \gamma_3 \int_0^T (a_{t1}(t) - a_{t1}^0)^2 dt + \int_0^T \lambda_2(t)(\dot{x}_2(t) - f_2(t)) dt \right) \bar{a}_{t1} = \\
&= \frac{1}{2} \gamma_3 \int_0^T 2(a_{t1} - a_{t1}^0) \bar{a}_{t1} dt + \frac{\partial}{\partial a_{t1}} \left(\int_0^T -\lambda_2 f_2 dt \right) \bar{a}_{t1} = \\
&= \gamma_3 \int_0^T (a_{t1} - a_{t1}^0) \bar{a}_{t1} dt + \frac{\partial}{\partial a_{t1}} \left(\int_0^T -\lambda_2 (a_{t1} x_T x_{M1} (1 - \frac{x_{M1} + x_{M2}}{\beta_M}) \right. \\
&\quad \left. - \delta_{M1} x_{M1} - k_{12} x_{M1} x_T) dt \right) \bar{a}_{t1} = \\
&= \gamma_3 \int_0^T (a_{t1} - a_{t1}^0) \bar{a}_{t1} dt - \int_0^T \lambda_2 x_{M1} x_T (1 - \frac{x_{M1} + x_{M2}}{\beta_M}) \bar{a}_{t1} dt
\end{aligned} \tag{B.36c}$$

$$\begin{aligned}
L'_{a_{t2}}(\mathbf{v})(\bar{a}_{t2}) &= \frac{\partial}{\partial a_{t2}} \left(\frac{1}{2} \gamma_4 \int_0^T (a_{t2}(t) - a_{t2}^0)^2 dt + \int_0^T \lambda_3(t)(\dot{x}_3(t) - f_3(t)) dt \right) \bar{a}_{t2} = \\
&= \frac{1}{2} \gamma_4 \int_0^T 2(a_{t2} - a_{t2}^0) \bar{a}_{t2} dt + \frac{\partial}{\partial a_{t2}} \left(\int_0^T -\lambda_3 f_3 dt \right) \bar{a}_{t2} = \\
&= \gamma_4 \int_0^T (a_{t2} - a_{t2}^0) \bar{a}_{t2} dt + \frac{\partial}{\partial a_{t2}} \left(\int_0^T -\lambda_3 (a_{t2} x_T x_{M2} (1 - \frac{x_{M1} + x_{M2}}{\beta_M}) \right. \\
&\quad \left. - \delta_{M2} x_{M2} + k_{12} x_{M1} x_T) dt \right) \bar{a}_{t2} = \\
&= \gamma_4 \int_0^T (a_{t2} - a_{t2}^0) \bar{a}_{t2} dt - \int_0^T \lambda_3 x_{M2} x_T (1 - \frac{x_{M1} + x_{M2}}{\beta_M}) \bar{a}_{t2} dt
\end{aligned} \tag{B.36d}$$

$$\begin{aligned}
L'_{k_{12}}(\mathbf{v})(\bar{k}_{12}) &= \frac{\partial}{\partial k_{12}} \left(\frac{1}{2} \gamma_5 \int_0^T (k_{12}(t) - k_{12}^0)^2 dt + \sum_{i=2}^3 \int_0^T \lambda_i(t)(x_i(t) - f_i(t)) dt \right) \bar{k}_{12} \\
&\bullet \frac{\partial}{\partial k_{12}} \left(\frac{1}{2} \gamma_5 \int_0^T (k_{12} - k_{12}^0)^2 dt \right) = \frac{1}{2} \gamma_5 \int_0^T 2(k_{12} - k_{12}^0) dt = \gamma_5 \int_0^T k_{12} - k_{12}^0 dt \\
&\bullet \frac{\partial}{\partial k_{12}} \left(\int_0^T \lambda_2(x_2 - f_2) dt \right) = \frac{\partial}{\partial k_{12}} \left(\int_0^T -\lambda_2 f_2 dt \right) = \\
&= \frac{\partial}{\partial k_{12}} \left(\int_0^T -\lambda_2 (a_{t1} x_T x_{M1} (1 - \frac{x_{M1} + x_{M2}}{\beta_M}) - \delta_{M1} x_{M1} - k_{12} x_{M1} x_T) dt \right) = \\
&= \int_0^T \lambda_2 x_{M1} x_T dt \\
&\bullet \frac{\partial}{\partial k_{12}} \left(\int_0^T \lambda_3(x_3 - f_3) dt \right) = \frac{\partial}{\partial k_{12}} \left(\int_0^T -\lambda_3 f_3 dt \right) = \\
&= \frac{\partial}{\partial k_{12}} \left(\int_0^T -\lambda_3 (a_{t2} x_T x_{M2} (1 - \frac{x_{M1} + x_{M2}}{\beta_M}) - \delta_{M2} x_{M2} + k_{12} x_{M1} x_T) dt \right) = \\
&= - \int_0^T \lambda_3 x_{M1} x_T dt \\
\Rightarrow L'_{k_{12}}(\mathbf{v})(\bar{k}_{12}) &= \gamma_5 \int_0^T (k_{12} - k_{12}^0) \bar{k}_{12} dt + \int_0^T x_{M1} x_T (\lambda_2 - \lambda_3) \bar{k}_{12} dt
\end{aligned} \tag{B.36e}$$

Notera att i första steget av deriveringarna av L så skrivs inte termer som deriveras till noll med. Genom att sätta de olika derivatorna till noll är sats 5.4 bevisad. \square

B.3 Härledning av andra ordningens finita differens

Härledning av första ordningens approximation följer med Taylors sats

$$f(x + \tau) = f(x) + f'(x)\tau + \frac{f''(\xi)\tau^2}{2!} \tag{B.37}$$

Här är $f(x)$ funktion som vi vill approximera, x är punkten kring approximationen görs, τ är steglängden och ξ är en punkt som ligger mellan x och $x + \tau$.

$$\begin{aligned}
f(x + \tau) - f(x) &= f'(x)\tau + \frac{f''(\xi)\tau^2}{2!} \\
\frac{f(x + \tau) - f(x)}{\tau} &= f'(x) + \frac{f''(\xi)\tau}{2!} \\
f'(x) &= \frac{f(x + \tau) - f(x)}{\tau} - \frac{f''(\xi)\tau}{2!}
\end{aligned}$$

I praktiken är termen $\frac{f''(\xi)\tau}{2!}$ ofta liten, därmed kan derivatan approximeras genom att utesluta denna.

$$f'(x) \approx \frac{f(x + \tau) - f(x)}{\tau} \tag{B.38}$$

På samma sätt kan andra ordningens approximation härledas.

$$\begin{aligned}
(*) f(x - \tau) &= f(x) - f'(x)\tau + \frac{f''(\xi)\tau^2}{2!} + \frac{f'''(\xi)\tau^3}{3!} + \dots \\
(**) f(x + \tau) &= f(x) + f'(x)\tau + \frac{f''(\xi)\tau^2}{2!} - \frac{f'''(\xi)\tau^3}{3!} + \dots \\
(*) - (**): f(x + \tau) - f(x - \tau) &= 2f'(x)\tau + 2\frac{f'''(\xi)\tau^3}{3!} \\
2f'(x)\tau &= f(x + \tau) - f(x - \tau) - 2\frac{f'''(\xi)\tau^3}{3!} \\
f'(x) &= \frac{f(x + \tau) - f(x - \tau)}{2\tau} - \frac{f'''(\xi)\tau^2}{3!}
\end{aligned}$$

C Appendix 3 – Newtons metod

I detta avsnitt beskrivs Newtons metod, tagen från [6], för lösning av det så kallade framåtproblemet respektive bakåtproblemet. Benämningen på problemen härstammar ifrån vilken riktning problemet löses, det vill säga framåtproblemet löses framåt i tiden medan bakåtproblemet löses bakåt i tiden.

C.1 Newtons metod för lösning av framåtproblemet

Betrakta differentialekvationen som beskriver systemets beteende:

$$\begin{cases} \frac{dx}{dt} = f(x(t), \alpha(t)), & t \in [0, T], \\ x(0) = x_0, \end{cases} \quad (\text{C.1})$$

här beskriver $x(t)$ systemets tillstånd vid tidpunkt t och $\alpha(t)$ representerar en vektor tidberoende parametrar.

Detta löses framåt i tiden genom att den diskretiseras med tidssteg τ . Detta resulterar i representationen

$$f(x^{k+1}, \alpha) = \frac{x^{k+1} - x^k}{\tau}, \quad (\text{C.2})$$

där x^k och x^{k+1} är värdet på x vid tidpunkt k respektive $k + 1$.

Ekvation (C.2) kan sedan omformuleras till följande två ekvationer

$$x^{k+1} = \tau f(x^{k+1}, \alpha) + x^k, \quad (\text{C.3a})$$

$$x^{k+1} - \tau f(x^{k+1}, \alpha) - x^k = 0. \quad (\text{C.3b})$$

Genom att införa en ny variabel $v := x^{k+1}$ kan funktionen $F(v)$ definieras enligt

$$F(v) := v - \tau f(v, \alpha) - x^k = 0. \quad (\text{C.4})$$

Newtons metod för att lösa denna typen av problem kan då skrivas enligt

$$v^{n+1} = v^n - (F'(v^n))^{-1} \cdot F(v^n), \quad (\text{C.5})$$

där n är antalet iterationer.

För att hitta $F'(v^n)$ används (C.4) vilket ger

$$F'(v^n) = I - \tau J(v^n), \quad (\text{C.6})$$

där I är identitetsmatrisen och $J_f(v^n) := f'(v^n)$ är Jacobimatrisen av f i v^n . Jacobimatrisen i sig kan bestämmas enligt följande ekvation

$$J_f(v) = \begin{bmatrix} \frac{\partial f_1}{\partial x_1} & \frac{\partial f_1}{\partial x_2} & \frac{\partial f_1}{\partial x_3} \\ \frac{\partial f_2}{\partial x_1} & \frac{\partial f_2}{\partial x_2} & \frac{\partial f_2}{\partial x_3} \\ \frac{\partial f_3}{\partial x_1} & \frac{\partial f_3}{\partial x_2} & \frac{\partial f_3}{\partial x_3} \end{bmatrix} (v). \quad (\text{C.7})$$

C.2 Newtons metod för lösning av bakåtproblemet

Lösning av bakåtproblemet följer en liknande metod till den som presenterats i avsnitt C.1 men det föreligger även några grundläggande skillnader som påverkar både tillämpning och formulering. Bland annat i lösningriktning, diskretiseringsformulering och begynnelsevärde.

Efter att ha löst framåtproblemet med Newtons metod kan vi nu övergå till att lösa bakåtproblemet som formuleras på följande sätt

$$\begin{cases} \frac{d\lambda}{dt} = p(\lambda(t), \alpha(t)), & t \in [0, T] \\ \lambda(T) = 0. \end{cases} \quad (\text{C.8})$$

Lösningen av framåtproblemet används i högerledet av (C.8) i funktionen $p(\lambda(t), \alpha(t))$. Systemet av differentialekvationer måste lösas bakåt då högerledet är bestämt enligt (C.8). För att lösa ekvationssystemet diskretiseras funktionerna över tid, med tidssteget τ . Funktionen i ett tidigare tidssteg kan då formuleras enligt följande

$$p(\lambda^k, \alpha) = \frac{\lambda^{k+1} - \lambda^k}{\tau}, \quad (\text{C.9})$$

där λ^{k+1} och λ^k är diskreta värden för tiderna $k+1$ och k . Eftersom systemet ska lösas bakåt kan λ^k lösas ut enligt följande två ekvationer

$$\lambda^k = \lambda^{k+1} - \tau p(\lambda^k, \alpha), \quad (\text{C.10a})$$

$$\lambda^k + \tau p(\lambda^k, \alpha) - \lambda^{k+1} = 0. \quad (\text{C.10b})$$

Genom att introducera $w := \lambda^k$ kan (C.10b) skrivas som:

$$Q(w) := w + \tau p(w, \alpha) - \lambda^{k+1} = 0. \quad (\text{C.11})$$

För att lösa problemet formuleras Newtons metod enligt följande

$$w^{n+1} = w^n - (Q'(w^n))^{-1} \cdot Q(w^n), \quad (\text{C.12a})$$

$$Q'(w^n) = I + \tau J(w^n). \quad (\text{C.12b})$$

Här är I identitetsmatrisen och $J(w^n)$ är Jacobimatrisen, som ser ut på följande sätt,

$$J(w) = \begin{bmatrix} \frac{\partial p_1}{\partial \lambda_1} & \frac{\partial p_1}{\partial \lambda_2} & \frac{\partial p_1}{\partial \lambda_3} \\ \frac{\partial p_2}{\partial \lambda_1} & \frac{\partial p_2}{\partial \lambda_2} & \frac{\partial p_2}{\partial \lambda_3} \\ \frac{\partial p_3}{\partial \lambda_1} & \frac{\partial p_3}{\partial \lambda_2} & \frac{\partial p_3}{\partial \lambda_3} \end{bmatrix} (w). \quad (\text{C.13})$$

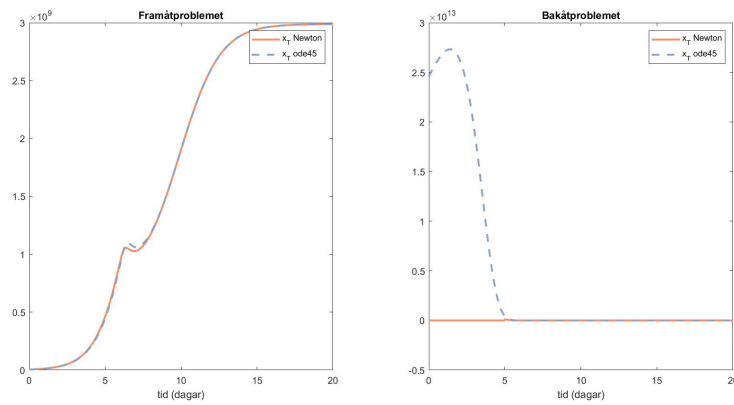
C.3 Analys av Newtons metod

Figurerna i detta avsnitt genereras med följande startvärden, $x_T = 5 \cdot 10^6$, $x_{M1} = 10^3$ och $x_{M2} = 10^3$. Startvärden för parametrarna är samlade i följande tabell.

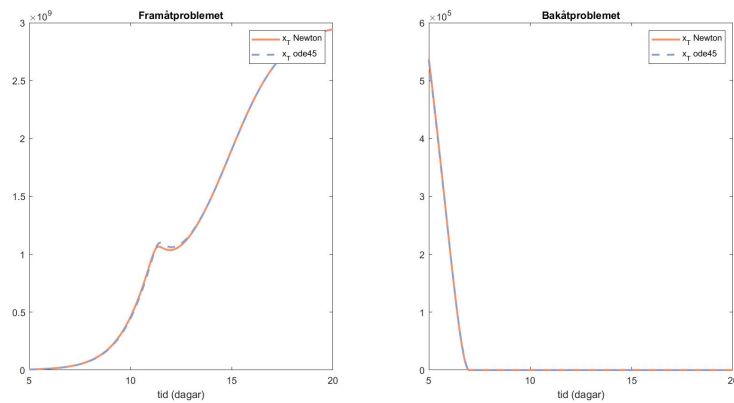
Tabell 4: Startvärden för parametrar vid analys av Newtons metod.

Parameter	d_{M1}	d_{M2}	a_{t1}	a_{t2}	k_{12}
Startvärde	10^{-9}	10^{-10}	10^{-8}	10^{-10}	$5 \cdot 10^{-10}$

Vid tillämpning av Newtons metod, beskriven i appendix C.1 och C.2, genererades inga bra resultat för lösningen av bakåtproblemet vilket kan ses i figur C.1. Lösningen med Newtons metod för framåtproblemet stämmer bra överens med den lösning som ges av ode45. För bakåtproblemet ser det ut som att Newtons metod ger en bra lösning efter cirka tiden 5 dagar, vilket kan ses mer tydligt i figur C.2.



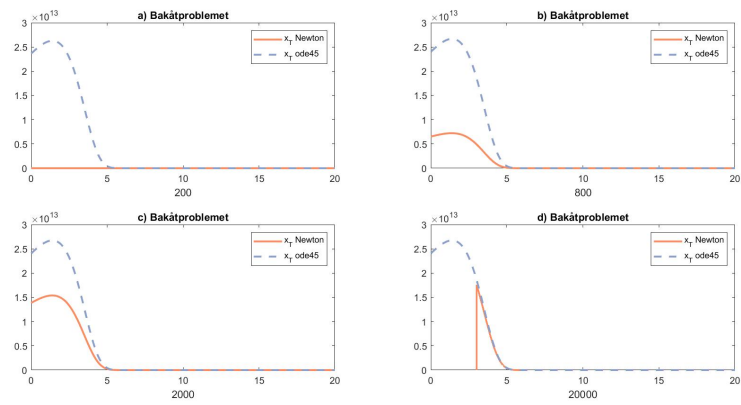
Figur C.1: Lösning av framåt och bakåtproblemet med Newtons metod och ode45 på tidsintervallet 0 till 20.



Figur C.2: Lösning av framåt och bakåtproblemet med Newtons metod och ode45 på tidsintervallet 5 till 20.

Några möjliga förklaringar till detta resultat på intervallet 0 till 5 är att det kan vara avrundningsfel eller att matrisen J beskriven i (C.13) har en determinant nära noll. Detta hade påverkat de begränsningar som ansätts i Newtonlösaren.

Lösning av bakåtproblemet med Newtons metod resulterar nolllösning på intervallet 0-5 C.1. Eftersom ode45 i detta fall används som kontroll av lösningmetoden och genererar en godtycklig lösning framgår det att finns en problematik med lösningmetoden för bakåtproblemet. Då toleransen sänks från 10^{-5} till 10^{-3} i bakåtlösaren och det samtidigt testas olika antal punkter i tidspartitionen, alltså olika stora tidssteg, fås följande figur.



Figur C.3: Lösning av bakåtproblemet med Newtons metod med olika antal lösningspunkter.

Genom att successivt höja antalet punkter rör sig Newton mot ode45 lösningen vilket syns i figur C.3 b) och c). I d) höjs återigen antalet punkter, det får som effekt att lösningen istället skarpt vänder ner mot noll. Det beror troligtvis på att Newtons metod i detta fall inte konvergerar korrekt och att toleransen som ansatts i koden överskrids och lösaren söker sig mot nollan. Då lösningen för de fall med mindre tidssteg förbättras. Vidare felsökning för att hitta orsak till felen undersöktes inte utan istället användes MATLABs lösare, delvis då Newtons metod inte låg i fokus för projektet.

D Appendix 4 – Datautjämning

I Tikhonovfunktionalen beskrivs vektorn $\mathbf{g}^c(t)$ som en kontinuerlig approximation av givna datapunkter, \mathbf{g} . Den kontinuerliga approximationen beräknas genom polynomregression till de diskreta datapunkterna. Observera att denna behandling är nödvändig för att erhålla en teoretisk rigorös lösning. Utan databehandling hade det i Tikhonovfunktionalen uppstått ett uttryck som en differens mellan en kontinuerlig och en diskret funktion. Datautjämningen avser lösa detta problem så att konjugerade gradientmetoden kan implementeras korrekt.

Kontinuitetsproblemet löses genom extrapolering, där ett regressionsproblem formuleras som att hitta ett polynom av grad $j - 1$:

$$p(t) = \sum_{i=0}^{j-1} c_i t^i, \quad (\text{D.1})$$

där c_i betecknar polynomets koefficienter. Målet är att hitta koefficienterna $\mathbf{c} = (c_0, c_1, \dots, c_{j-1})$ så att polynomet $p(t)$ bäst approximerar datan. Problemet kan då formuleras som

$$\min_{\mathbf{c}} \|V\mathbf{c} - \mathbf{y}\|_2^2. \quad (\text{D.2})$$

I normalekvationen representerar V Vandermondematrisen, \mathbf{c} är vektorn innehållande polynomets koefficienter, och \mathbf{y} är en vektor innehållande de observerade datapunkterna. Vandermondematrisen kan generellt skrivas som

$$V = \begin{bmatrix} t_1^0 & t_1^1 & \dots & t_1^{j-1} \\ t_2^0 & t_2^1 & \dots & t_2^{j-1} \\ \vdots & \vdots & \ddots & \vdots \\ t_i^0 & t_i^1 & \dots & t_i^{j-1} \end{bmatrix}. \quad (\text{D.3})$$

Eller mer kompakt $\{V_{a,b}\}_{a=1,b=0}^{i,j-1} = \{t_a^{b-1}\}_{a=1,b=0}^{i,j-1}$. Vandermonde matrisen konstrueras med en given mängd datapunkter som utgör raderna och polynomets grad som kolumnerna i matrisen.

Normalekvationen löses vanligen som

$$V^T V \mathbf{c} = V^T \mathbf{y} \quad (\text{D.4})$$

där V^T är transponatet av V .

LU-faktorisering är en teknik som används för att skriva om en matris som produkten av två triangulärmatriser, en nedre, L , och en övre, U . Choleskyfaktorisering är ett specialfall av LU-faktorisering där $U = L^T$. Denna faktorisering kräver att matrisen som ska faktoriseras är positivt definit, det vill säga att den är kvadratisk och alla dess egenvärden är större än 0 [19].

Regressionsproblemet, (D.4), och dess lösning inleds genom Choleskyfaktorisering, där $V^T V$ skrivs om som $V^T V = LL^T$. Problemet kan då skrivas om som

$$LL^T \mathbf{c} = V^T \mathbf{y}. \quad (\text{D.5})$$

Eftersom $V^T V$ antas positivt definit för att kunna använda Choleskyfaktorisering medför det även att $V^T V$ är inverterbar. Detta medför i sin tur att L och dess transponat är inverterbara. Problemet kan då skrivas om som

$$\mathbf{c} = L^{-1}((L^T)^{-1}V^T \mathbf{y}). \quad (\text{D.6})$$

Genom att beräkna uttrycket (D.6) erhålls koefficienterna till regressionspolynomet. Choleskyfaktorisering är i detta sammanhang en användbar metod då den utnyttjar triangulärmatrisernas struktur vilket bidrar till att öka beräkningseffektiviteten gentemot direkt lösning av problemet.

E Appendix 5 – Explicit beräkning av en parameter

Nedan följer resterande resultat av de metoder som applicerades för att försöka reducera felen i den explicita beräkningen av en parameter i avsnitt 6.1 och som inte fick plats i rapportens huvuddel.

E.1 Val av lösare samt förenkling av modell

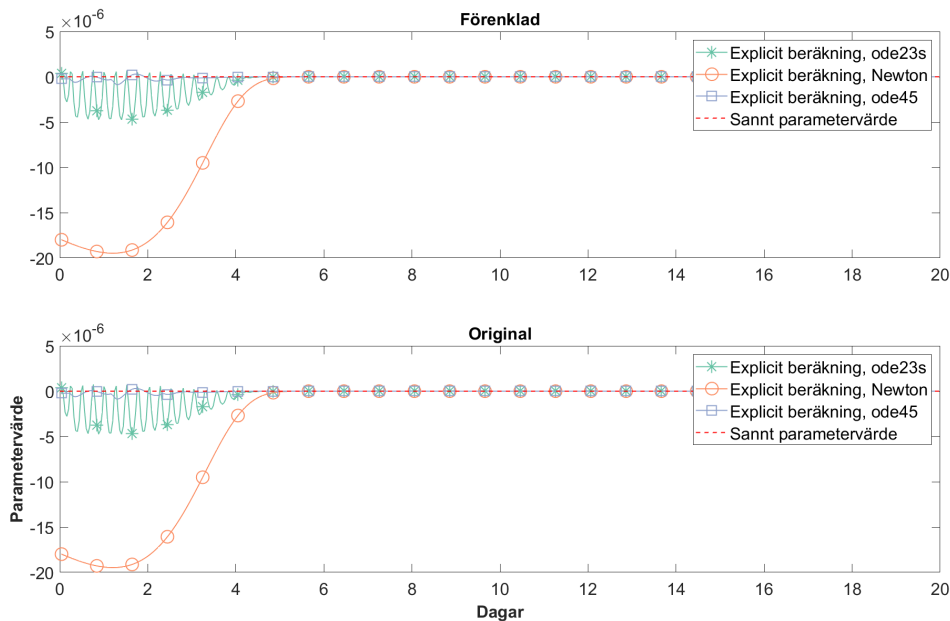
I avsnitt 6.1 analyseras två figurer vilka visade avvikelser i början av tidsintervallet. Liknande kan även konstateras för resterande parametrar. Flera metoder implementerades för att reducera dessa avvikelser. I projektet används MATLABs egna lösare samt Newtons metod för att lösa systemet av differentialekvationer. MATLAB har flera olika ode-lösare och vilken som passar bäst att använda beror bland annat på om funktionssystemet är styvt eller inte.

I figur E.1, E.2, E.3, E.4 och E.5 visas grafer med lösningar till explicita beräkningar för α beräknat med MATLABs egna lösare ode23s och ode45, samt Newtons metod, se appendix C. De startvärden för α samt \mathbf{x} som användes i beräkningarna visas i tabell 3, i avsnitt 6.1.

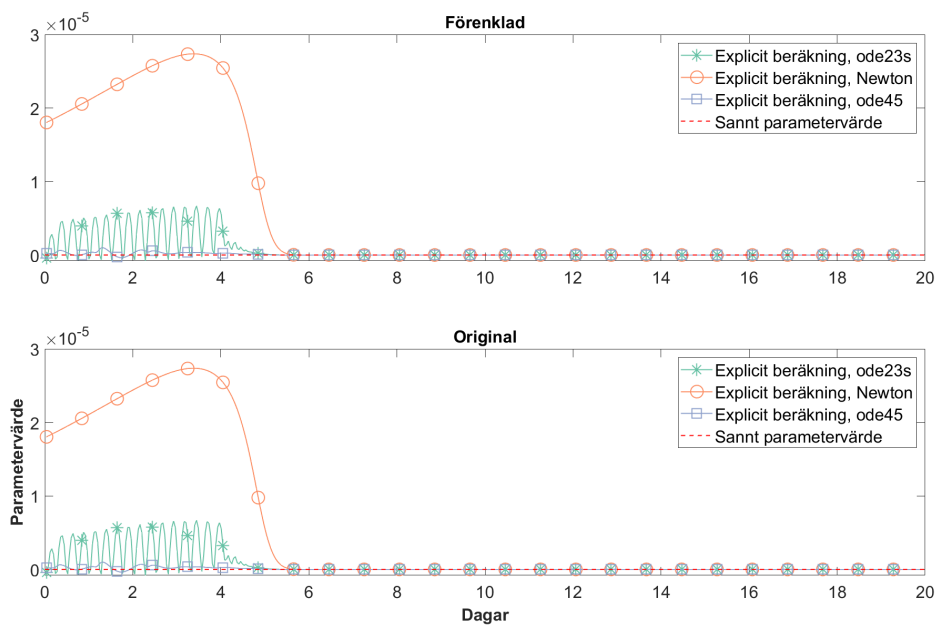
För alla grafer är resultaten av lösarna mellan dag 10 och 20 nästintill identiska, bortsett från figur E.3 där ode45 fluktuerar medans resterande lösare inte gör det. I början av tidsintervallet visar dock resultatet beräknat med Newtons metod relativt stora avvikelser och det beräknat med ode45 relativt små. Då alla grafer visar fluktuationer i början prioriterades dock huruvida lösaren presterade i den senare delen av tidsintervallet. På grund av ovanstående anledningar valdes ode23s som beräkningsalgoritm.

Den övre grafen i varje figur visar resultatet beräknat med en modifierad version av (5.1) och den nedre visar resultatet beräknat med originalekvationerna.

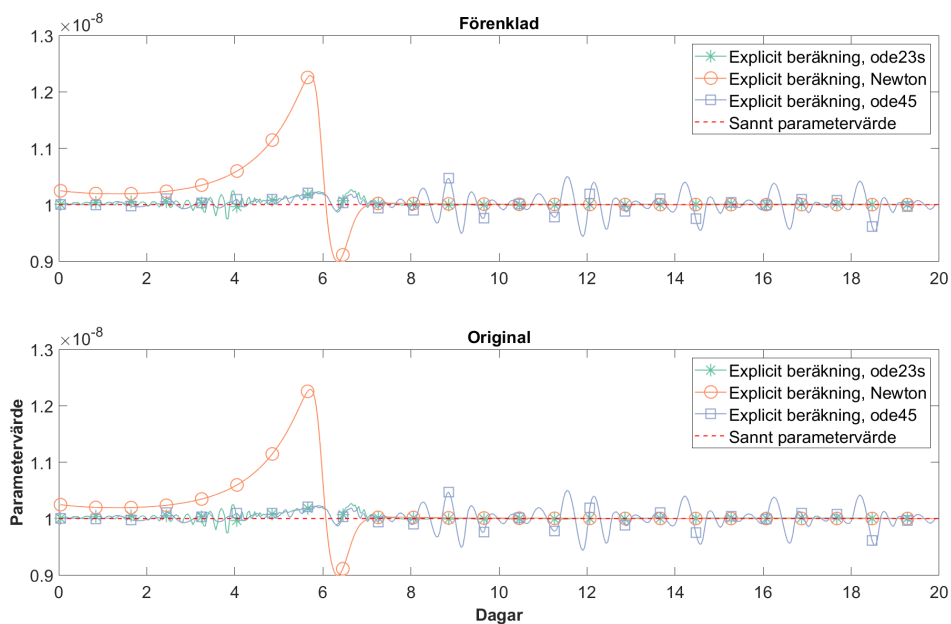
Generellt ser lösningarna beräknade med ode23s ut att variera minst kring det sanna värdet och ger därav den mest passande lösningen.



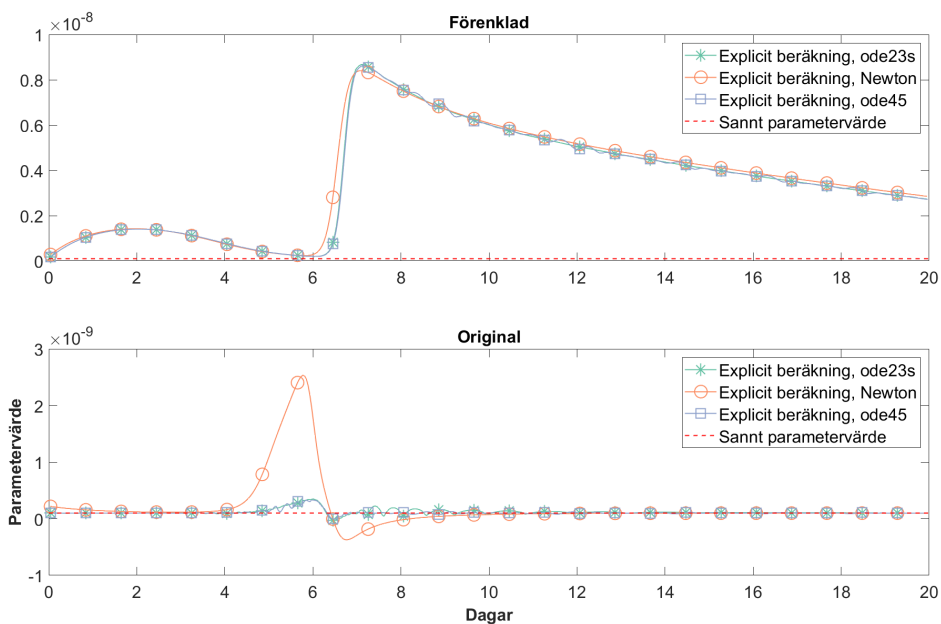
Figur E.1: Grafer för explicita beräkningar av d_{M1} . Den övre grafen visar resultatet vid användning av den förenklade ekvationen, se (5.4), och den nedre den ursprungliga ekvationen, se (5.1). De olika färgerna representerar lösningen för olika ode-lösare.



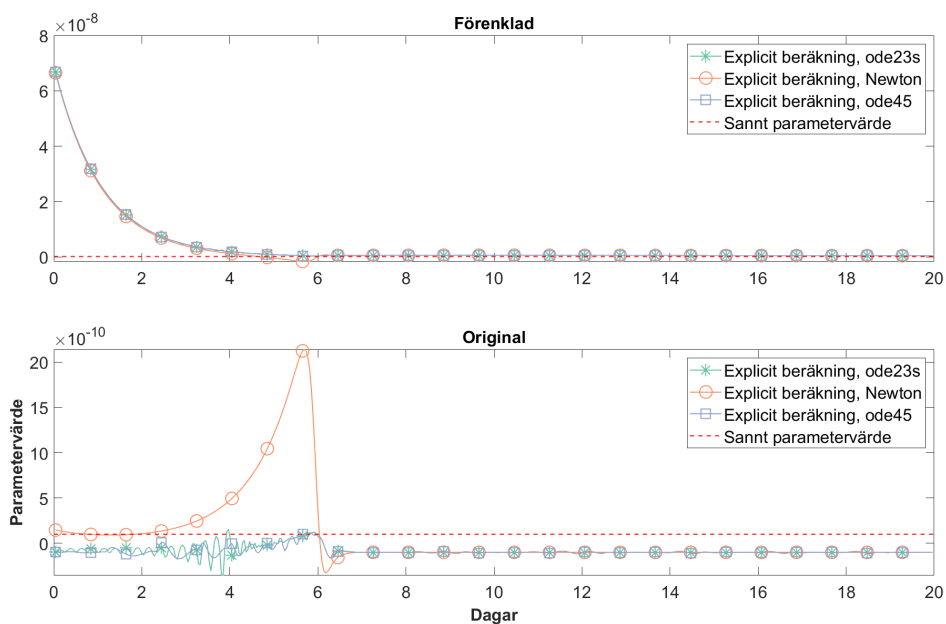
Figur E.2: Grafer för explicita beräkningar av d_{M2} . Den övre grafen visar resultatet vid användning av den förenklade ekvationen, se (5.4), och den nedre den ursprungliga ekvationen, se (5.1). De olika färgerna representerar lösningen för olika ode-lösare.



Figur E.3: Grafer för explicita beräkningar av a_{t1} . Den övre grafen visar resultatet vid användning av den förenklade ekvationen, se (5.4), och den nedre den ursprungliga ekvationen, se (5.1). De olika färgerna representerar lösningen för olika ode-lösare.



Figur E.4: Plot för explicita beräkningar av a_{t2} . Den övre plotten visar resultatet vid användning av den förenklade ekvationen, se (5.4), och den nedre den ursprungliga ekvationen, se (5.1). De olika färgerna representerar lösningen för olika ode-lösare.

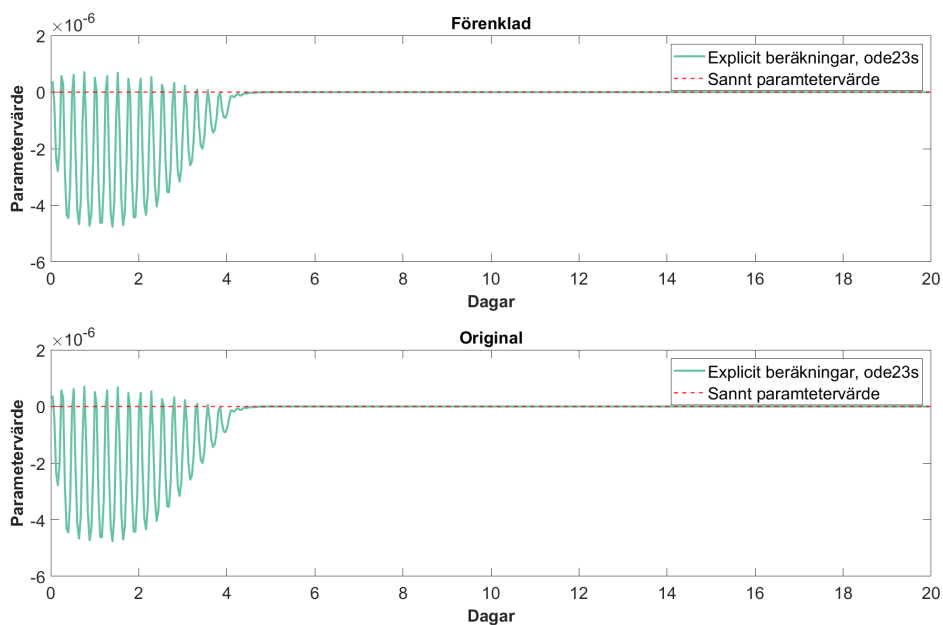


Figur E.5: Grafer för explicita beräkningar av k_{12} . Den övre grafen visar resultatet vid användning av den förenklade ekvationen, se (5.4), och den nedre den ursprungliga ekvationen, se (5.1). De olika färgerna representerar lösningen för olika ode-lösare.

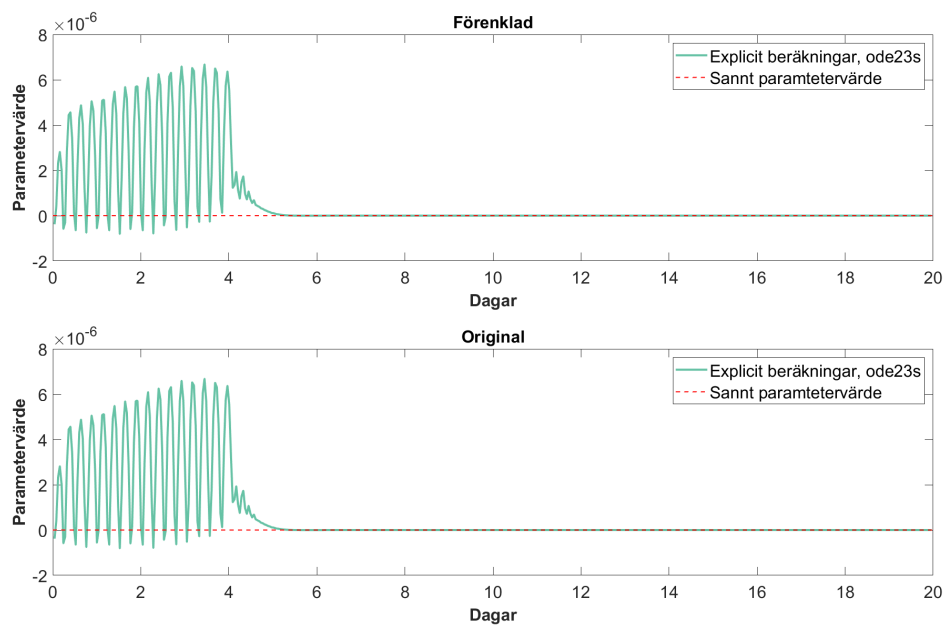
För parameter d_{M1} , d_{M2} och a_{t1} är resultatet av den modifierade versionen till synes identiskt med resultatet från originalekvationen. För parametern a_{t2} ger förenklingen en sämre approximation medan för parameter k_{12} resulterar beräkningen med den förenklade ekvationen i en stabilare graf med mindre variation.

E.1.1 Jämförelse mellan originalekvationer och förenklade ekvationer

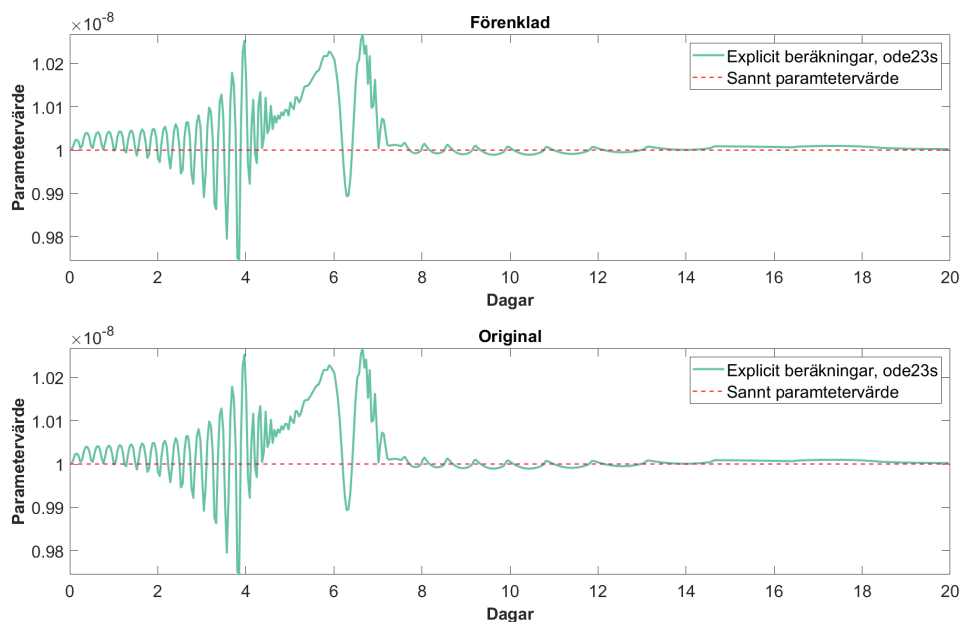
Figurerna E.6, E.7, E.8, E.9 och E.10 visas grafer med lösningar till den explicita beräkningen för α beräknade med MATLABs egna lösare ode23s. Figur E.7 och E.10 är samma figurer som visas i avsnitt 6, det vill säga figur 6.2 respektive 6.3.



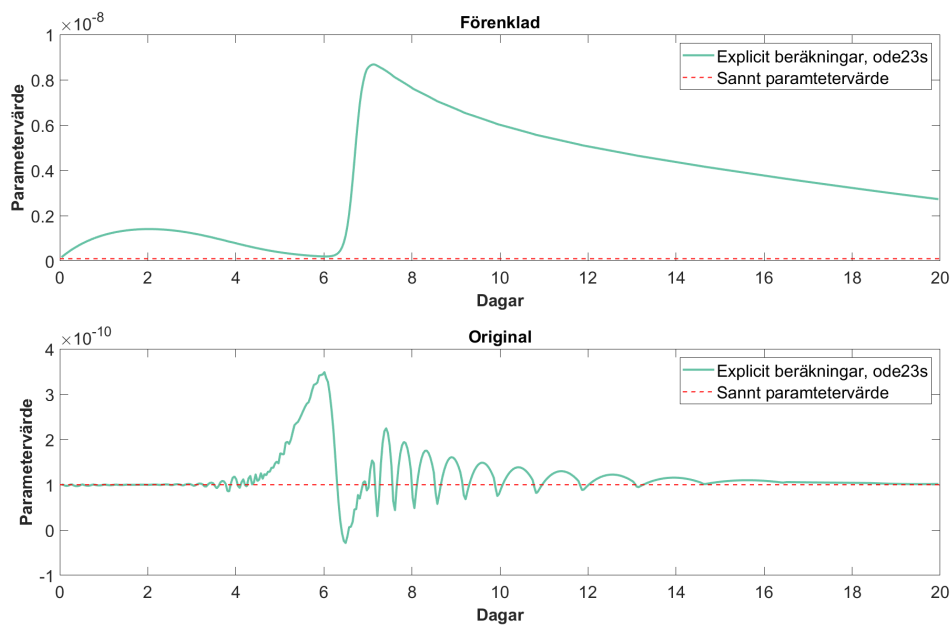
Figur E.6: Grafer för explicita beräkningar av d_{M1} . Den övre grafen visar resultatet vid användning av den förenklade ekvationen, se (5.4), och den nedre den ursprungliga ekvationen, se (5.1). Beräknat medelvärde mellan dag 10 och 20 är $1,00 \cdot 10^{-9}$ för både den förenklade modellen och original modellen.



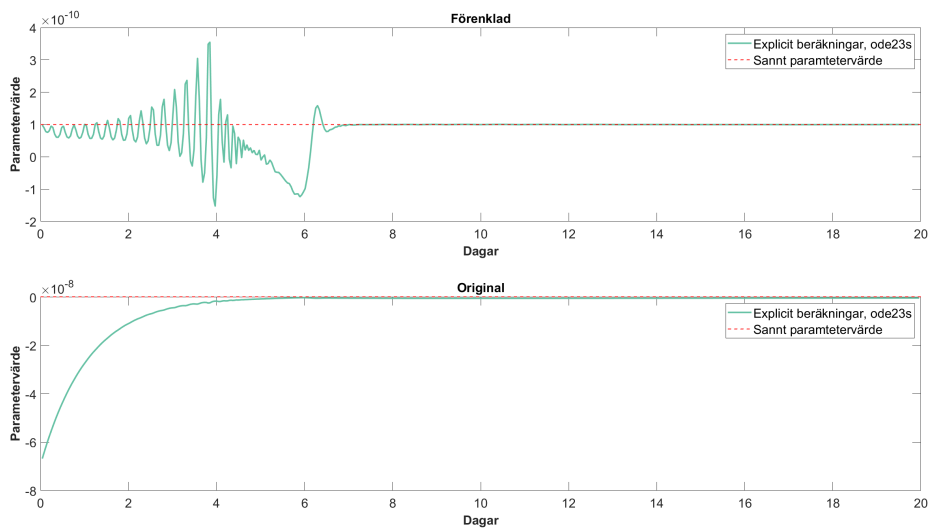
Figur E.7: Grafer för explicita beräkningar av d_{M2} . Den övre grafen visar resultatet vid användning av den förenklade ekvationen, se (5.4), och den nedre den ursprungliga ekvationen, se (5.1). Beräknat medelvärde mellan dag 10 och 20 är $9,93 \cdot 10^{-11}$ för både den förenklade modellen och original modellen.



Figur E.8: Grafer för explicita beräkningar av a_{t1} . Den övre grafen visar resultatet vid användning av den förenklade ekvationen, se (5.4), och den nedre den ursprungliga ekvationen, se (5.1). Beräknat medelvärde mellan dag 10 och 20 är $1,00 \cdot 10^{-8}$ för både den förenklade modellen och original modellen.



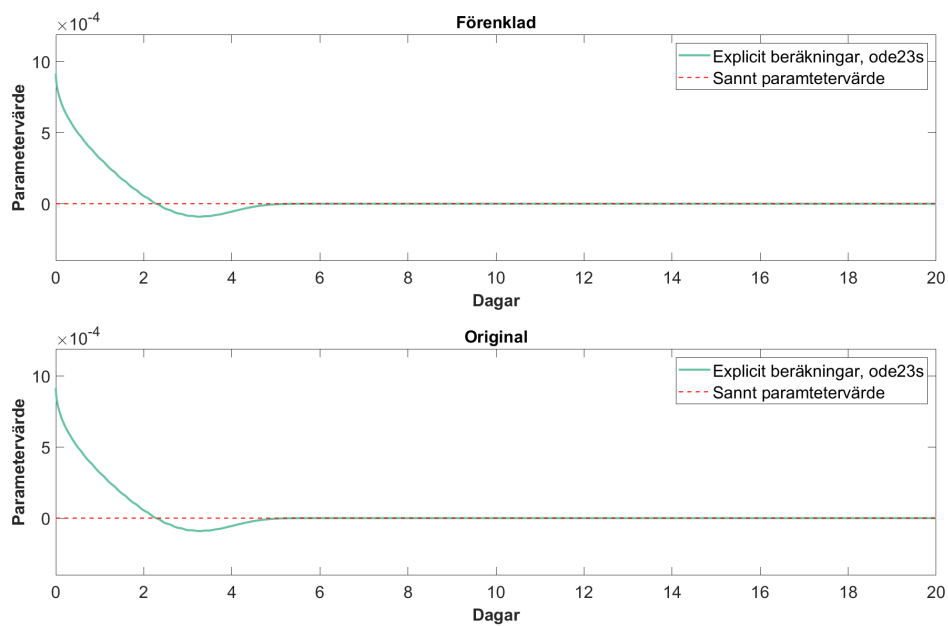
Figur E.9: Plot för explicita beräkningar av a_{t2} . Den övre plotten visar resultatet vid användning av den förenklade ekvationen, se (5.4), och den nedre den ursprungliga ekvationen, se (5.1). Beräknat medelvärde mellan dag 10 och 20 är $4,15 \cdot 10^{-9}$ för den förenklade modellen och $1,09 \cdot 10^{-9}$ för original modellen.



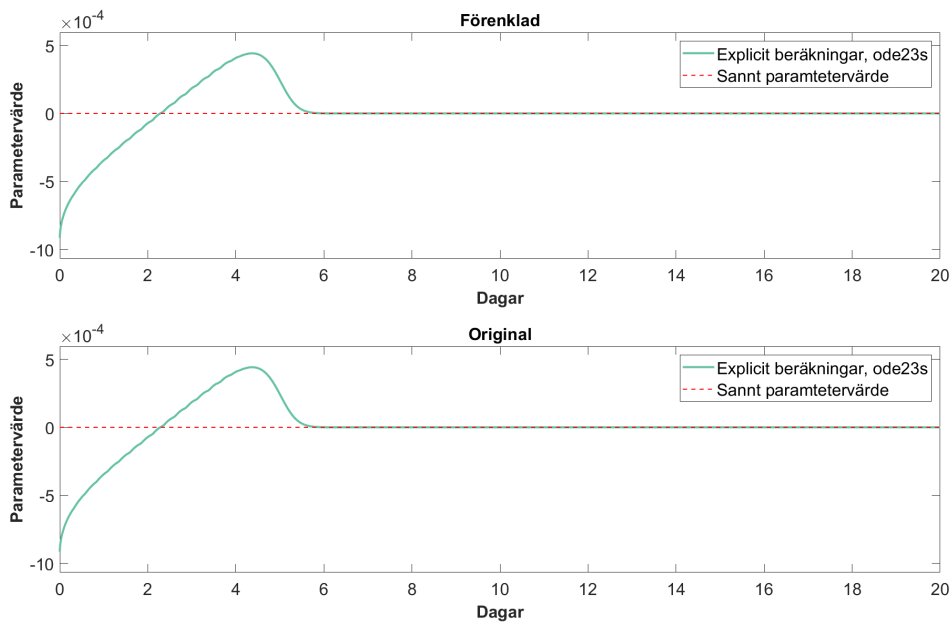
Figur E.10: Grafer för explicita beräkningar av k_{12} . Den övre grafen visar resultatet vid användning av den förenklade ekvationen, se (5.4), och den nedre den ursprungliga ekvationen, se (5.1). Beräknat medelvärde mellan dag 10 och 20 är $9,99 \cdot 10^{-11}$ för den förenklade modellen och $-4,67 \cdot 10^{-10}$ för original modellen.

E.2 Tillämpning av Chebyshev noder

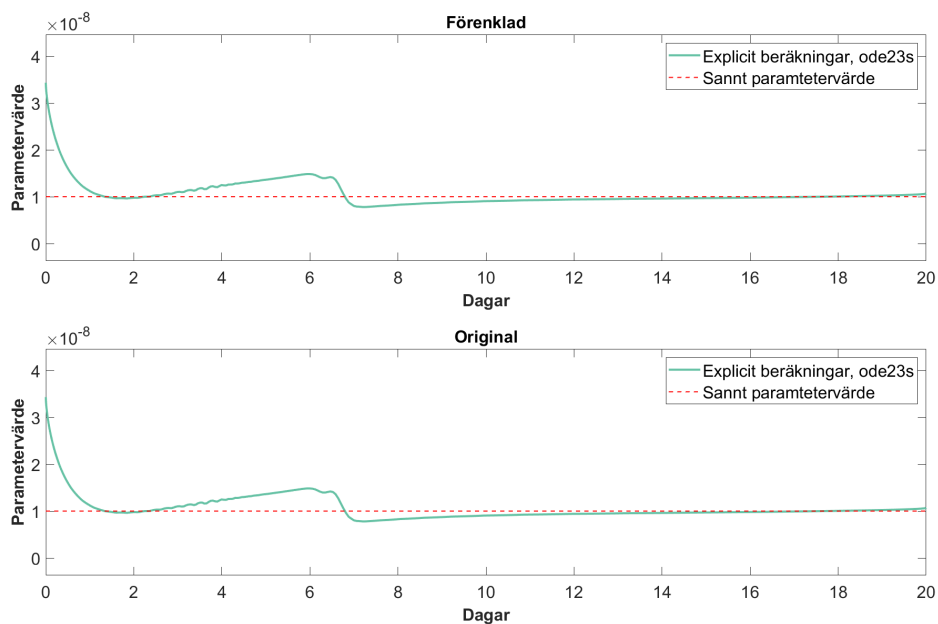
Resultatet av användning av Chebyshev noder enligt (5.5) visas i figur E.11, E.12, E.13, E.14 samt E.15. Startvärden för samtliga parametrar och densiteter är givna i tabell 3. Observera att figur E.15 är samma som figur 6.4.



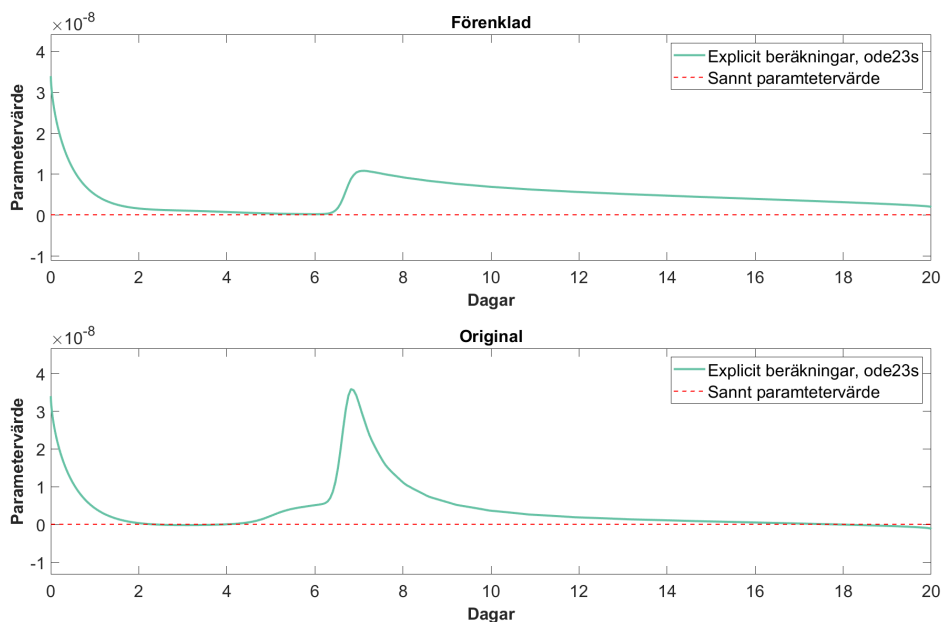
Figur E.11: Grafer för explicita beräkningar av d_{M1} utförda med Chebyshev noder. Den övre grafen visar resultatet vid användning av den förenklade ekvationen, se (5.4), och den nedre den ursprungliga ekvationen, se (5.1). Beräknat medelvärde mellan dag 10 och 20 är $1,00 \cdot 10^{-9}$ för både den förenklade modellen och original modellen.



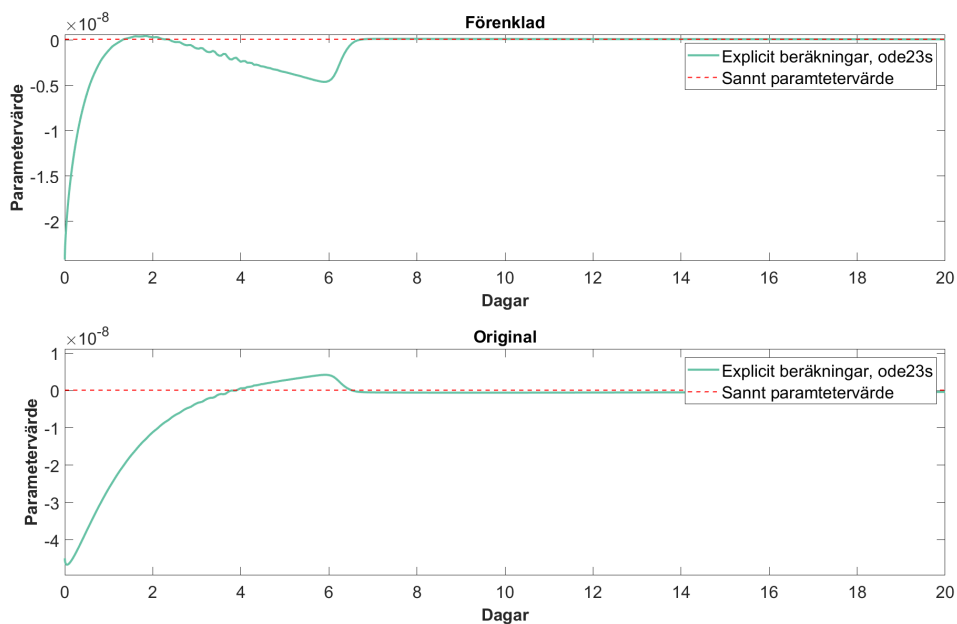
Figur E.12: Grafer för explicita beräkningar av d_{M2} utförda med Chebyshev noder. Den övre grafen visar resultatet vid användning av den förenklade ekvationen, se (5.4), och den nedre den ursprungliga ekvationen, se (5.1). Beräknat medelvärde mellan dag 10 och 20 är $1,08 \cdot 10^{-10}$ för både den förenklade modellen och original modellen.



Figur E.13: Grafer för explicita beräkningar av a_{t1} utförda med Chebyshev noder. Den övre grafen visar resultatet vid användning av den förenklade ekvationen, se (5.4), och den nedre den ursprungliga ekvationen, se (5.1). Beräknat medelvärde mellan dag 10 och 20 är $9,93 \cdot 10^{-9}$ för både den förenklade modellen och original modellen.



Figur E.14: Grafer för explicita beräkningar av a_{t2} utförda med Chebyshev noder. Den övre grafen visar resultatet vid användning av den förenklade ekvationen, se (5.4), och den nedre den ursprungliga ekvationen, se (5.1). Beräknat medelvärde mellan dag 10 och 20 är $3,82 \cdot 10^{-9}$ för den förenklade modellen och $5,00 \cdot 10^{-10}$ för original modellen.

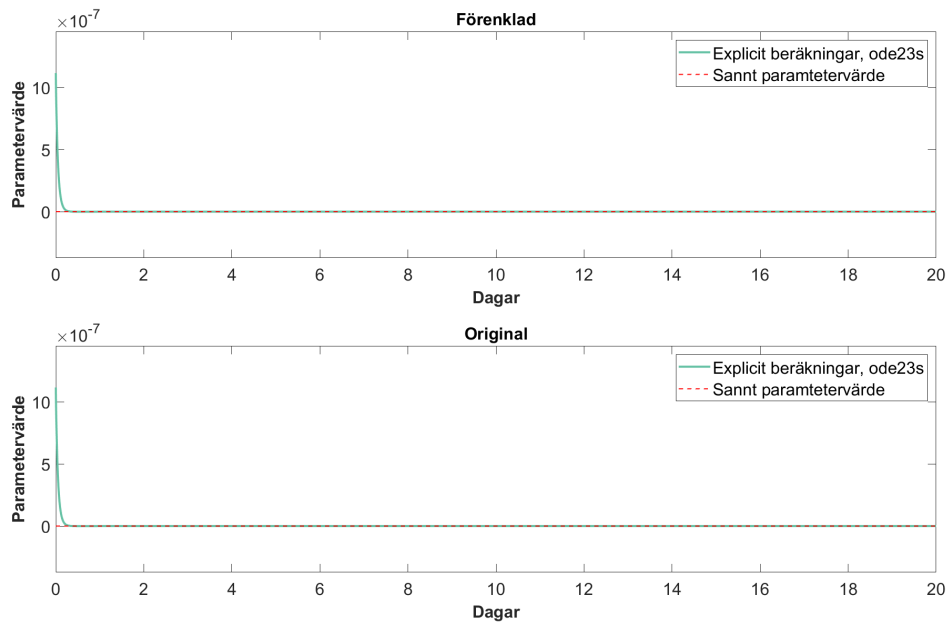


Figur E.15: Grafer för explicita beräkningar av k_{12} utförda med Chebyshev noder. Den övre grafen visar resultatet vid användning av den förenklade ekvationen, se (5.4), och den nedre den ursprungliga ekvationen, se (5.1). Beräknat medelvärde mellan dag 10 och 20 är $1,03 \cdot 10^{-10}$ för den förenklade modellen och $-4,49 \cdot 10^{-10}$ för original modellen.

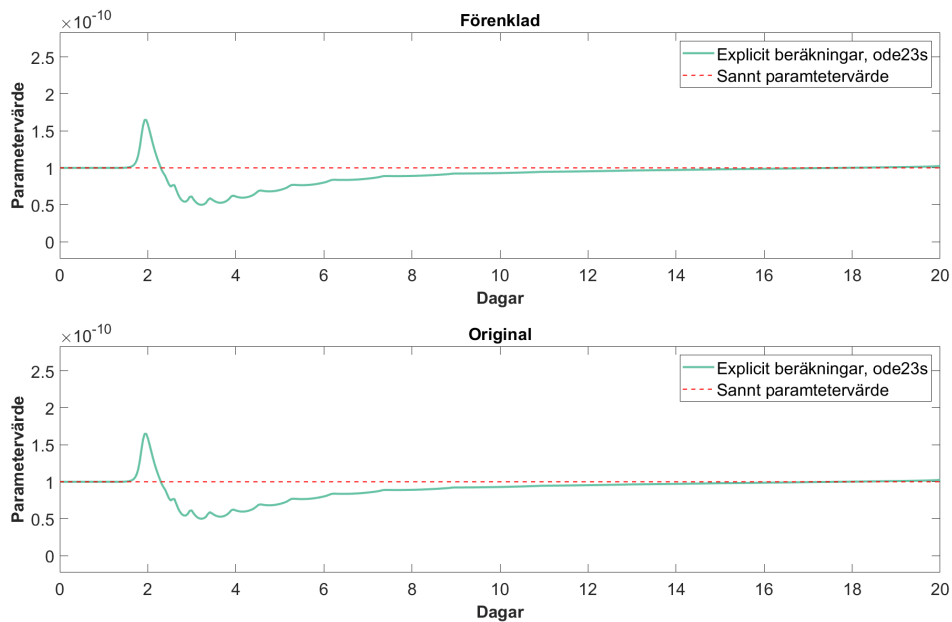
Införandet av Chebyshev noder gav jämnare grafer med mindre varians i jämförelse med de fall då beräkningarna fördelats jämnt. En annan skillnad mellan dessa fallen är att resultaten för användande av olika lösare skiljer sig mindre vid användning av Chebyshev noder. Dock är det fortfarande en relativt lång period i början av tidsintervallet som de beräknade parametervärdena fluktuerar kring det sanna parametervärdet.

E.3 Chebyshev och steady state

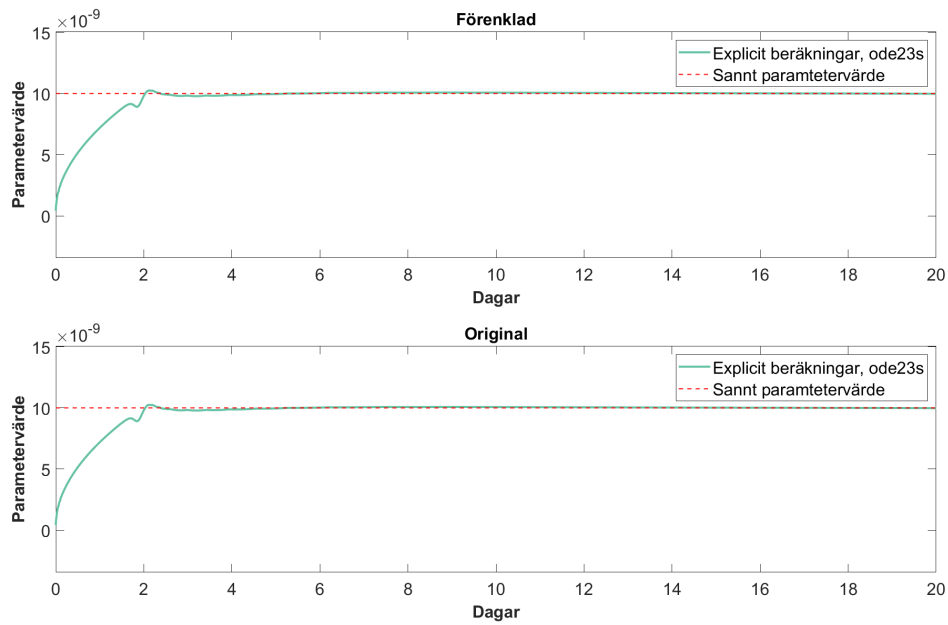
Figur E.16, E.17, E.18, E.19 samt E.20 visar resultatet av de explicita beräkningarna vid användning av Chebyshev noder, likt i E.2, fast där startvärdena på densiteterna \mathbf{x} är satta nära ett steady state, med $x_T = 3,13 \cdot 10^9$, $x_{M1} = 10^{-5}$ och $x_{M2} = 4,03 \cdot 10^8$. Resterande parametervärden följer tabell 3. Observera att figur E.20 är samma som i figur 6.6.



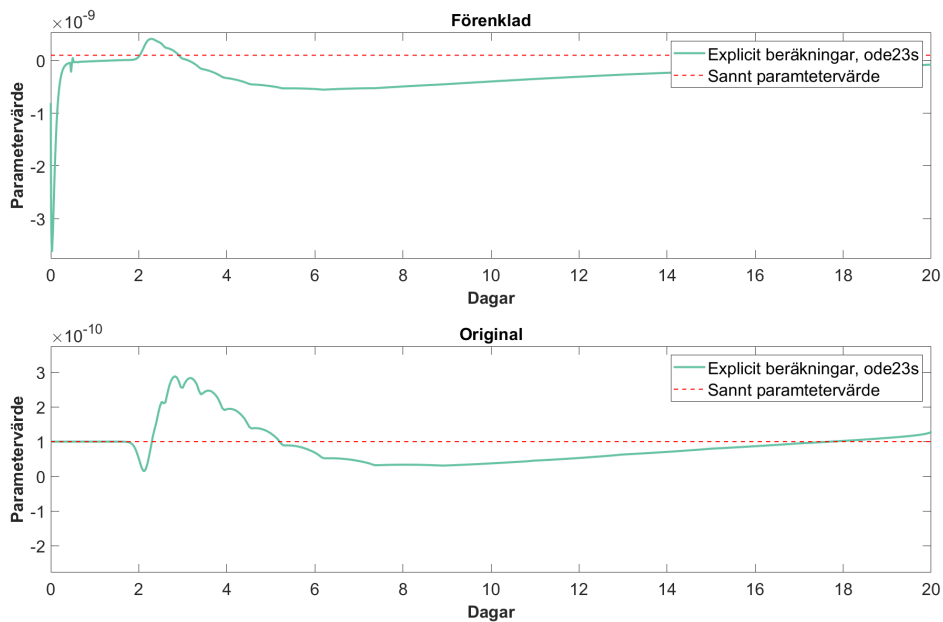
Figur E.16: Grafer för explicita beräkningar av d_{M1} utförda med Chebyshev noder samt nära steady state. Den övre grafen visar resultatet vid användning av den förenklade ekvationen, se (5.4), och den nedre den ursprungliga ekvationen, se (5.1). Beräknat medelvärde mellan dag 10 och 20 är $1,00 \cdot 10^{-9}$ för både den förenklade modellen och original modellen.



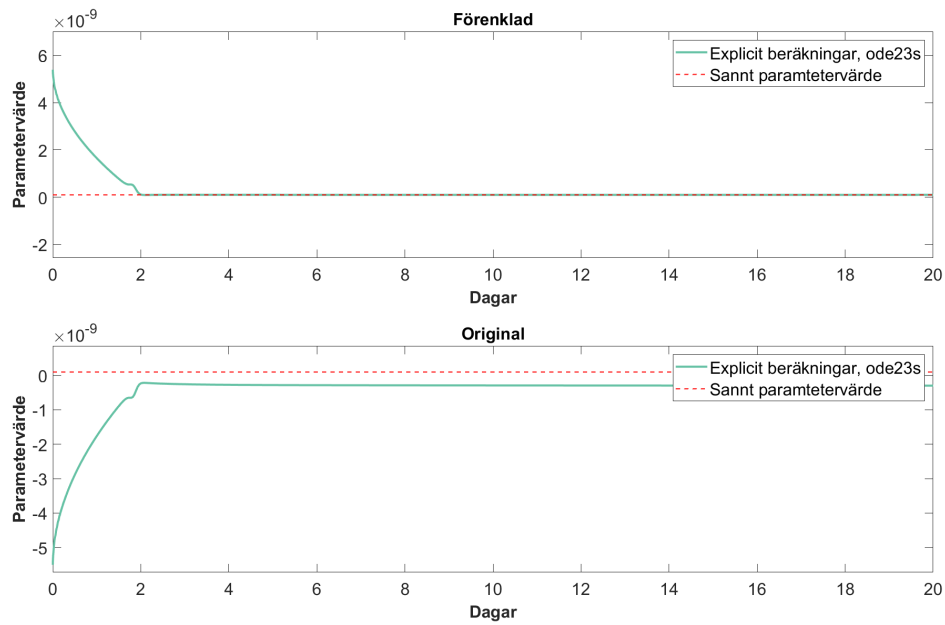
Figur E.17: Plot för explicita beräkningar av d_{M2} utförda med Chebyshev noder samt nära steady state. Den övre plotten visar resultatet vid användning av den förenklade ekvationen, se (5.4), och den nedre den ursprungliga ekvationen, se (5.1). Beräknat medelvärde mellan dag 10 och 20 är $9,90 \cdot 10^{-11}$ för både den förenklade modellen och original modellen.



Figur E.18: Plot för explicita beräkningar av a_{t1} utförda med Chebyshev noder samt nära steady state. Den övre plotten visar resultatet vid användning av den förenklade ekvationen, se (5.4), och den nedre den ursprungliga ekvationen, se (5.1). Beräknat medelvärde mellan dag 10 och 20 är $1,00 \cdot 10^{-8}$ för både den förenklade modellen och original modellen.



Figur E.19: Plot för explicita beräkningar av a_{t2} utförda med Chebyshev noder samt nära steady state. Den övre plotten visar resultatet vid användning av den förenklade ekvationen, se (5.4), och den nedre den ursprungliga ekvationen, se (5.1). Beräknat medelvärde mellan dag 10 och 20 är $-1,77 \cdot 10^{-10}$ för den förenklade modellen och $9,02 \cdot 10^{-11}$ för original modellen.



Figur E.20: Plot för explicita beräkningar av k_{12} utförda med Chebyshev noder samt nära steady state. Den övre plotten visar resultatet vid användning av den förenklade ekvationen, se (5.4), och den nedre den ursprungliga ekvationen, se (5.1). Beräknat medelvärde mellan dag 10 och 20 är $9,98 \cdot 10^{-11}$ för den förenklade modellen och $-2,95 \cdot 10^{-10}$ för original modellen.

F Appendix 6 – Källkod

Det bör noteras att delar av den kod som används i arbete inte är vår egen. En stor del har specifikt utformats för att passa de ändamål och syften som nämns i rapporten. Viktigt att poängtera är dock att mycket av koden kommer från tidigare arbete, tillhörande vår handledare, Larisa Beilina. För en mer detaljerad förklaring av koden samt förtydning vilka delar som är skapade i projektet och vilka som är givna, se README.md filen.

Koden tillsammans med README.md är tillgänglig nedan samt via följande GitHub-länk: <https://github.com/reginag99/MVEX11-VT23-09.git>.

README.md

```
1 # MVEX11-VT23-09
2 Kod som användes i kandidatarbetet, kurs MVEX11-VT23-09. Vissa av filerna
3 är givna och enbart modifierade medans andra är skapade i projektet.
4 Se README för ytterligare instruktioner.
5
6 Nedan kommer en beskrivning för test-filerna, vilka är de som ska köras.
7 Resterande filer är funktionsfiler som används i testfilerna. I filerna
8 motsvarar alpha_unknown=1 d_m1, alpha_unknown=2 d_m2, alpha_unknown=3 a_t1,
9 alpha_unknown=4 a_t2 och alpha_unknown=5 k_12.
10
11 test_variation_colour.m bygger på given kod men delen %% Variations in
12 observations är skapat i projektet. Inskrivna max och min punkter för
13 respektive parameter ytterpunkterna på dess estimerade parameterintervall.
14
15 test_alpha_exp.m är de explicita beräkningarna av en parameter med den
16 ursprungliga modellen och inte den förenklade. Det går att välja om
17 resultatet ska presenteras i vanlig eller logaritmerad skala. Det går också
18 att välja vilken lösare som ska användas. Antingen ode23s, ode45 eller Newton.
19 Första delen av projektet är skapad i projektet medan den nedre delen,
20 skalningen, är tagen från given kod.
21
22 test3.m är given och visar lösningen av modellen med och utan tillagt
23 brus i figur 1. Figur 2 visar lösningen för de olika densiteterna. Koden är given
24 och har inte skapats i projektet.
25
26 test2.m var redan given jämför lösningen av ode45 och Newton, bakåt och framåt.
27 Koden är given och har inte skapats i projektet.
28
29 test2_Chebyshev.m jämför lösningen av ode45 och Newton, bakåt och framåt,
30 efter tillämpning av Chebyshev noder. Grunden är test2.m som sedan
31 modifierades i projektet.
32
33 test.m är given men modifierad då filen inte fungerade och genererade error.
34 Figur 1 visar lösningen med och utan brus. Figur 2 visar framåtlösningen av ode45
35 och Newton. Figur 3 visar bakåtlösningen av ode45 och Newton.
36
37 mod_test_alpha_exp_delar.m jämför lösningen av den explicita beräkningen för
38 när delar av den förenklade modellen tagits bort. Detta gjordes för att
39 undersöka om avvikelser av modellen orsakas i synnerhet av en viss del av
40 ekvationerna. I figur 2 visar genererade densiteterna som också använts för de
41 explicita
42 beräkningarna. Förutom skalningen som är tagen från givet script har all
43 kod i filen skapats i projektet.
44
45 mod_test_alpha_exp_Chebyshev.m genererar plottar för de explicita
46 beräkningarna efter tillämpning av Chebyshev noder. Plottarna visar resultatet
47 av olika lösare, skillnaden mellan förenklade versionen av modellen och original
48 modellen i vanlig samt logaritmisk skala. I figur 2 visar genererade
49 densiteterna som också använts för de explicita beräkningarna. Förutom
50 skalningen som är tagen från givet script har all kod i filen skapats i projektet.
51
52 mod_test_alpha_exp_Chebyshev_plot.m är en anpassad version för att användas
53 i rapporten av mod_test_alpha_exp_Chebyshev.m.
54
55 mod_test_alpha_exp.m genererar plottar för explicita beräkningen för
```

```

53 originalmodellen samt förenklade modellen, löst med ode45,ode23s och Newton.
54 I figur 2 visar genererade densiteterna som också använts för de explicita
55 beräkningarna.Förutom skalningen som är tagen från givet script har all
56 kod i filen skapats i projektet.
57
58 mod_test1_alpha_exp_ode23s.m är en anpassad version av mod_test1_alpha_exp.m
59 för att användas i rapporten.
60
61 Create_adjoint_figure.m genererar figurerna för Newtons metod i rapporten.
62 Filen bygger på given kod som modifierats. Om denna ändras glöm inte att
63 ändra observationsintervallet så det matchar! För att generera samma plottar som i
64 rapporten sätt:
65 obs_start = 2.1 för tidsintervall 0 till 20.
66 obs_start = 5 och intervallet är 5 till 20.
67
68 leastsquare.m är polynomregression vilket används för att skapa ett polynom
69 från diskreta datapunkter. Koden är skapad i projektet.

```

test_variation_colour.m

```

1 %% Startvärden
2 clc; close all; clear
3 %%Startvärden på x och tidsvariabler
4 m = 500; % Antal observationer
5 obs_start = 2.1; obs_end = 7; %Intervall för observationer
6 time_final = 20;
7
8 time_mesh = linspace(0,time_final,m);
9 % x_initial = [x_T(0); x_M1(0); x_M2(0)]
10 % Startvärden som verkar passa fig 1a
11 x_initial = [5*10^6; 10^3; 10^3];
12
13 %% Variations in observations
14 %Nedanstående max och min förvardera parameter är respektives
15 %parameterintervall, givet i rapporten.
16 alpha_max = [10^-7 10^-8 10^-6 10^-8 10^-7];
17 alpha_min = [10^-11 10^-12 10^-10 10^-12 10^-12];
18 alpha_mid = 10.^((log10(alpha_min)+log10(alpha_max))/2);
19
20 % Konstanter att ändra för att plotta andra parametrar och grafer
21 alpha = alpha_mid'; % Värden på parametrar som ej varieras
22 big_var = 2; % Hur många stora linjer
23 small_var = 5; % Hur många små linjer per stor linje
24 alpha_chosen = 5; % Vilken parameter ska varieras
25
26 alpha_chosen_variance = [alpha_min(alpha_chosen) alpha_max(
27     ↪ alpha_chosen)];
28 variation=logspace(log10(alpha_chosen_variance(1)),log10(
29     ↪ alpha_chosen_variance(end)),big_var);
30 variation_step=variation(2)/variation(1);
31
32 figure("Name", "Variation av parameter " + alpha_chosen)
33 subplot(3,1,1)
34 xlabel('Dagar','FontSize',12,'FontWeight','bold')
35 ylabel('X_T, [celler]','FontSize',12,'FontWeight','bold')
36 hold on
37 subplot(3,1,2)
38 xlabel('Dagar','FontSize',12,'FontWeight','bold')

```

```

37 ylabel('X_{M1}', [celler], 'FontSize', 12, 'FontWeight', 'bold')
38 hold on
39 subplot(3,1,3)
40 xlabel('Dagar', 'FontSize', 12, 'FontWeight', 'bold')
41 ylabel('X_{M2}', [celler], 'FontSize', 12, 'FontWeight', 'bold')
42 hold on
43
44
45
46 dark_green = [30,120,130]/255;
47 dark_orange = [112,81,28]/255;
48 dark_purple = [101,120,163]/255;
49
50 light_green = [122,214,185]/255;
51 light_orange = [232,131,78]/255;
52 light_purple = [151,190,203]/255;
53
54 greenGRADIENTlight = @(i,N) light_green + (dark_green-light_green)
    ↪ *((i-1)/(N-1));
55 greenGRADIENTdark = @(i,N) dark_green - (dark_green-light_green)
    ↪ *((i-1)/(N-1));
56 orangeGRADIENTlight = @(i,N) light_orange + (dark_orange -
    ↪ light_orange)*((i-1)/(N-1));
57 orangeGRADIENTdark = @(i,N) dark_orange - (dark_orange -
    ↪ light_orange)*((i-1)/(N-1));
58 purpGRADIENTlight = @(i,N) light_purple + (dark_purple-light_purple
    ↪ )*((i-1)/(N-1));
59 purpGRADIENTdark = @(i,N) dark_purple - (dark_purple-light_purple)
    ↪ *((i-1)/(N-1));
60
61 N_small=small_var*big_var-1;
62 N_big=big_var;
63 alpha_read=[];
64
65 b=logspace(log10(alpha_chosen_variance(1)),log10(
    ↪ alpha_chosen_variance(end)),big_var*(small_var+1));
66
67 for i=1:length(b)
68     alpha(alpha_chosen,:)=b(i);
69     alpha=alpha_vec(alpha(1),alpha(2),alpha(3),alpha(4),alpha(5),
    ↪ time_mesh);
70     F45 = ForwardODE45(alpha,time_mesh,x_initial);
71
72     if i==1
73         subplot(3,1,1)
74         plot(time_mesh,F45(1,:), 'color',orangeGRADIENTlight(i,
    ↪ length(b)), 'linewidth',2);
75         subplot(3,1,2)
76         plot(time_mesh,F45(2,:), 'color',greenGRADIENTlight(i,length
    ↪ (b)), 'linewidth',2);
77         subplot(3,1,3)
78         plot(time_mesh,F45(3,:), 'color',purpGRADIENTlight(i,length(
    ↪ b)), 'linewidth',2);
79
80     elseif i==length(b)
81

```

```

82     subplot(3,1,1)
83     plot(time_mesh,F45(1,:), 'color',orangeGRADIENlight(i,
↪ length(b)), 'linewidth',2);
84     subplot(3,1,2)
85     plot(time_mesh,F45(2,:), 'color',greenGRADIENlight(i,length
↪ (b)), 'linewidth',2);
86     subplot(3,1,3)
87     plot(time_mesh,F45(3,:), 'color',purpGRADIENlight(i,length(
↪ b)), 'linewidth',2);
88     F=F45
89
90     else
91     orangeGRADIENlight(i,N_small)
92     subplot(3,1,1)
93     plot(time_mesh,F45(1,:), 'color',orangeGRADIENlight(i,length(b)
↪ ), 'linestyle', '--', 'linewidth',1);
94     subplot(3,1,2)
95     plot(time_mesh,F45(2,:), 'color',greenGRADIENlight(i,length(b)
↪ , 'linestyle', '--', 'linewidth',1);
96     subplot(3,1,3)
97     plot(time_mesh,F45(3,:), 'color',purpGRADIENlight(i,length(b)),
↪ 'linestyle', '--', 'linewidth',1);
98
99
100    end
101
102 end
103
104
105 %
106 % for i_big_var=1:big_var
107 %     alpha(alpha_chosen,:)=variation(i_big_var);
108 %     alpha_read=[alpha_read; alpha(alpha_chosen,1)];
109 %     alpha=alpha_vec(alpha(1),alpha(2),alpha(3),alpha(4),alpha(5),
↪ time_mesh);
110 %     F45 = ForwardODE45(alpha,time_mesh,x_initial);
111 %
112 %     if i_big_var == 1
113 %         for i_small_var=1:small_var
114 %             line_width = 1;
115 %             alpha_plus_var = alpha;
116 %             (variation_step/2*i_small_var/small_var)
117 %             alpha_plus_var(alpha_chosen,:) = alpha_plus_var(
↪ alpha_chosen,:)*(variation_step/2*i_small_var/small_var);
118 %             alpha_read=[alpha_read; alpha_plus_var(alpha_chosen
↪ ,1)];
119 %             small_plus_F45 = ForwardODE45(alpha_plus_var,
↪ time_mesh,x_initial);
120 %
121 %             subplot(3,1,1)
122 %             plot(time_mesh,small_plus_F45(1,:), 'color',
↪ orangeGRADIENlight(i_small_var,N_small), 'linestyle', '--', '
↪ linewidth',line_width);
123 %             subplot(3,1,2)
124 %             plot(time_mesh,small_plus_F45(2,:), 'color',
↪ greenGRADIENlight(i_small_var,N_small), 'linestyle', '--', '

```

```

    ↪ linewidth',line_width);
125 %         subplot(3,1,3)
126 %         plot(time_mesh,small_plus_F45(3,:), 'color',
    ↪ purpGRADIENlight(i_small_var,N_small), 'linestyle','--', '
    ↪ linewidth',line_width);
127 %         a = alpha(:,1);
128 %     end
129 %     elseif i_big_var == length(variation)
130 %         for i_small_var=1:small_var-1
131 %             line_width = 1;
132 %             alpha_minus_var=alpha;
133 %             alpha_minus_var(alpha_chosen,:) = alpha_minus_var(
    ↪ alpha_chosen,:)*(0.5 + (i_small_var-1)/small_var/2);
134 %             alpha_read=[alpha_read; alpha_minus_var(alpha_chosen
    ↪ ,1)];
135 %             small_minus_F45 = ForwardODE45(alpha_minus_var,
    ↪ time_mesh,x_initial);
136 %
137 %         subplot(3,1,1)
138 %         plot(time_mesh,small_minus_F45(1,:), 'color',
    ↪ orangeGRADIENdark(small_var-i_small_var,N_small), 'linestyle
    ↪ ','--', 'linewidth',line_width);
139 %         subplot(3,1,2)
140 %         plot(time_mesh,small_minus_F45(2,:), 'color',
    ↪ greenGRADIENdark(small_var-i_small_var,N_small), 'linestyle
    ↪ ','--', 'linewidth',line_width);
141 %         subplot(3,1,3)
142 %         plot(time_mesh,small_minus_F45(3,:), 'color',
    ↪ purpGRADIENdark(small_var-i_small_var,N_small), 'linestyle
    ↪ ','--', 'linewidth',line_width);
143 %     end
144 %     else
145 %         for i_small_var=1:small_var
146 %             line_width = 1;
147 %
148 %             alpha_plus_var = alpha;
149 %             alpha_plus_var(alpha_chosen,:) = alpha_plus_var(
    ↪ alpha_chosen,:)*(variation_step/2*i_small_var/small_var);
150 %             alpha_read=[alpha_read; alpha_plus_var(alpha_chosen
    ↪ ,1)];
151 %             small_plus_F45 = ForwardODE45(alpha_plus_var,
    ↪ time_mesh,x_initial);
152 %
153 %         subplot(3,1,1)
154 %         plot(time_mesh,small_plus_F45(1,:), 'color',
    ↪ orangeGRADIENlight(i_small_var,N_small), 'linestyle','--', '
    ↪ linewidth',line_width);
155 %         subplot(3,1,2)
156 %         plot(time_mesh,small_plus_F45(2,:), 'color',
    ↪ greenGRADIENlight(i_small_var,N_small), 'linestyle','--', '
    ↪ linewidth',line_width);
157 %         subplot(3,1,3)
158 %         plot(time_mesh,small_plus_F45(3,:), 'color',
    ↪ purpGRADIENlight(i_small_var,N_small), 'linestyle','--', '
    ↪ linewidth',line_width);
159 %     end

```



```

160 %         for i_small_var=1:small_var-1
161 %             line_width = 1;
162 %
163 %             alpha_minus_var=alpha;
164 %             alpha_minus_var(alpha_chosen,:) = alpha_minus_var(
↪ alpha_chosen,:)*(0.5 + (i_small_var-1)/small_var/2);
165 %             alpha_read=[alpha_read; alpha_minus_var(alpha_chosen
↪ ,1)];
166 %             small_minus_F45 = ForwardODE45(alpha_minus_var,
↪ time_mesh,x_initial);
167 %
168 %             subplot(3,1,1)
169 %             plot(time_mesh,small_minus_F45(1,:), 'color',
↪ orangeGRADIENDark(small_var-i_small_var,N_small), 'linestyle
↪ ','--', 'linewidth', line_width);
170 %             subplot(3,1,2)
171 %             plot(time_mesh,small_minus_F45(2,:), 'color',
↪ greenGRADIENDark(small_var-i_small_var,N_small), 'linestyle
↪ ','--', 'linewidth', line_width);
172 %             subplot(3,1,3)
173 %             plot(time_mesh,small_minus_F45(3,:), 'color',
↪ purpGRADIENDark(small_var-i_small_var,N_small), 'linestyle
↪ ','--', 'linewidth', line_width);
174 %
175 %         end
176 %     end
177 %     subplot(3,1,1)
178 %     plot(time_mesh,F45(1,:), 'color', orangeGRADIENLight(i_big_var
↪ ,N_big), 'linewidth', 2);
179 %     subplot(3,1,2)
180 %     plot(time_mesh,F45(2,:), 'color', greenGRADIENLight(i_big_var,
↪ N_big), 'linewidth', 2)
181 %     subplot(3,1,3)
182 %     plot(time_mesh,F45(3,:), 'color', purpGRADIENLight(i_big_var,
↪ N_big), 'linewidth', 2)
183 % end
184 alpha_read=sort(alpha_read);
185
186 %% Inner functions
187
188 function alpha = alpha_vec(dm1, dm2, at1, at2, k12, time_mesh)
189 scaling_factor_dm1 = dm1;
190 scaling_factor_dm2 = dm2;
191 scaling_factor_at1 = at1;
192 scaling_factor_at2 = at2;
193 scaling_factor_k12 = k12;
194
195 function_flag = 0; % constant
196
197 exact_dm1 = ExactParameter(scaling_factor_dm1, function_flag,
↪ time_mesh); %Exact profile for dm1 to produce data.
198 exact_dm2 = ExactParameter(scaling_factor_dm2, function_flag,
↪ time_mesh); %Exact profile for dm2 to produce data.
199 exact_at1 = ExactParameter(scaling_factor_at1, function_flag,
↪ time_mesh); %Exact profile for at1 to produce data.
200 exact_at2 = ExactParameter(scaling_factor_at2, function_flag,

```

```

    ↪ time_mesh); %Exact profile for at2 to produce data.
201 exact_k12 = ExactParameter(scaling_factor_k12,function_flag,
    ↪ time_mesh); %Exact profile for k12 to produce data.
202
203 alpha = [exact_dm1; exact_dm2; exact_at1; exact_at2; exact_k12];
204
205 end

```

adj2func.m

```

1 function lambda = adj2func(t,alpha,x,lambda)
2   % alpha = (d_m1, d_m2, a_t1, a_t2, k_12)
3   % z = 1
4   r = 0.93;
5   beta_T = 3*10^9;
6   d_m1 = alpha(1);
7   d_m2 = alpha(2);
8   a_t1 = alpha(3);
9   a_t2 = alpha(4);
10  beta_M = 9*10^8;
11  sigma_m1 = 0.173;
12  sigma_m2 = 0.173;
13  k_12 = alpha(5);
14
15  x_T = x(1); x_M1 = x(2); x_M2 = x(3);
16
17  lambda1 = -lambda(1)*r*(1-2*x_T/beta_T) + lambda(1)*d_m1*x_M1
    ↪ - lambda(1)*d_m2*x_M2...
18          -lambda(2)*a_t1*x_M1*(1-(x_M1+x_M2)/beta_M) + lambda
    ↪ (2)*k_12*x_M1...
19          -lambda(3)*a_t2*x_M2*(1-(x_M1+x_M2)/beta_M) - lambda
    ↪ (3)*k_12*x_M1;
20  lambda2 = -lambda(2)*a_t1*x_T*(1-(2*x_M1+x_M2)/beta_M) +
    ↪ lambda(2)*sigma_m1...
21          +lambda(3)*a_t2*x_T*x_M2/beta_M - lambda(3)*k_12*x_T
    ↪ + lambda(1)*d_m1*x_T...
22          +lambda(2)*k_12*x_T;
23  lambda3 = lambda(3)*sigma_m2 - lambda(3)*a_t2*x_T*(1-(x_M1+2*
    ↪ x_M2)/beta_M)...
24          -lambda(1)*d_m2*x_T + lambda(2)*a_t1*x_T*x_M1/beta_M
    ↪ ;
25  lambda = [lambda1; lambda2; lambda3];
26
27 end

```

adjfunc.m

```

1 function lambda = adjfunc(t,alpha,x,lambda,g)
2   % alpha = (d_m1, d_m2, a_t1, a_t2, k_12)
3   % z = 1
4   r = 0.93;
5   beta_T = 3*10^9;
6   d_m1 = alpha(1);
7   d_m2 = alpha(2);

```

```

8   a_t1 = alpha(3);
9   a_t2 = alpha(4);
10  beta_M = 9*10^8;
11  sigma_m1 = 0.173;
12  sigma_m2 = 0.173;
13  k_12 = alpha(5);
14
15  x_T = x(1); x_M1 = x(2); x_M2 = x(3);
16
17  lambda1 = -lambda(1)*r*(1-2*x_T/beta_T) + lambda(1)*d_m1*x_M1
↪ - lambda(1)*d_m2*x_M2...
18      -lambda(2)*a_t1*x_M1*(1-(x_M1+x_M2)/beta_M) + lambda
↪ (2)*k_12*x_M1...
19      -lambda(3)*a_t2*x_M2*(1-(x_M1+x_M2)/beta_M) - lambda
↪ (3)*k_12*x_M1...
20      +(x_T - g(1));
21  lambda2 = -lambda(2)*a_t1*x_T*(1-(2*x_M1+x_M2)/beta_M) +
↪ lambda(2)*sigma_m1...
22      +lambda(3)*a_t2*x_T*x_M2/beta_M - lambda(3)*k_12*x_T
↪ + lambda(1)*d_m1*x_T...
23      +lambda(2)*k_12*x_T + (x_M1-g(2));
24  lambda3 = lambda(3)*sigma_m2 - lambda(3)*a_t2*x_T*(1-(x_M1+2*
↪ x_M2)/beta_M)...
25      -lambda(1)*d_m2*x_T + lambda(2)*a_t1*x_T*x_M1/beta_M
↪ ...
26      +(x_M2-g(3));
27  lambda = [lambda1; lambda2; lambda3];
28
29 end

```

AdjfuncJacobi.m

```

1 function lambda = AdjfuncJacobi(x,alpha)
2   % alpha = (d_m1, d_m2, a_t1, a_t2, k_12)
3   r = 0.93;
4   beta_T = 3*10^9;
5   d_m1 = alpha(1);
6   d_m2 = alpha(2);
7   a_t1 = alpha(3);
8   a_t2 = alpha(4);
9   beta_M = 9*10^8;
10  sigma_m1 = 0.173;
11  sigma_m2 = 0.173;
12  k_12 = alpha(5);
13
14  x_T = x(1); x_M1 = x(2); x_M2 = x(3);
15  lambda = zeros(3,3);
16
17  lambda(1,1) = -r*(1-2*x_T/beta_T) + d_m1*x_M1 - d_m2*x_M2;
18  lambda(1,2) = -a_t1*x_M1*(1-(x_M1+x_M2)/beta_M) + k_12*x_M1;
19  lambda(1,3) = -a_t2*x_M2*(1-(x_M1+x_M2)/beta_M) - k_12*x_M1;
20  lambda(2,1) = d_m1*x_T;
21  lambda(2,2) = -a_t1*x_T*(1-(2*x_M1+x_M2)/beta_M) + sigma_m1 +
↪ k_12*x_T;
22  lambda(2,3) = a_t2*x_T*x_M2/beta_M - k_12*x_T;

```

```

23     lambda(3,1) = -d_m2*x_T;
24     lambda(3,2) = a_t1*x_T*x_M1/beta_M;
25     lambda(3,3) = sigma_m2 - a_t2*x_T*(1-(x_M1+2*x_M2)/beta_M);
26
27 end

```

AdjointNewton.m

```

1 %Computes the adjoint solution of the model problem.
2 function [lambda] = AdjointNewton(alpha, x, g, time_mesh, obs_start
   ↪ , obs_end)
3
4     final_time = time_mesh(end); % here we choose the final time
5     nodes = length(time_mesh);
6
7     t=final_time; % final time in adjoint solver, the same final
   ↪ time is in the forward problem
8     MaxIter = 1000; % maximal number of iterations in Newton's
   ↪ method
9
10    % values for lambda(T)= 0 at the final time
11    lambda = zeros(length(x(:,1)),nodes);
12    w = lambda(:,end);
13
14    dt = time_mesh(2:end)-time_mesh(1:end-1); %Time step
15
16    %i = nodes + 1;
17    for i = nodes:-1:2
18        adjtol=1;adjiter=0;
19        while adjtol>10^(-5) && adjiter < MaxIter %Newton
   ↪ iterations
20            if t >= obs_start & t <= obs_end % z = 1
21                adjF = w - lambda(:,i) + dt(i-1)*adjfunc(t,alpha(:,
   ↪ i),x(:,i),...
22                    lambda(:,i),g(:,i));
23                else % z = 0
24                    adjF = w - lambda(:,i) + dt(i-1)*adj2func(t,alpha(:,
   ↪ i),x(:,i),...
25                        lambda(:,i));
26                end
27                adjJ = eye(length(lambda(:,end))) + dt(i-1)*
   ↪ AdjfuncJacobi(x(:,i),alpha(:,i));
28                dw = -adjJ\adjF;
29                w=w+dw; %The Newton iteration
30                adjiter = adjiter +1;
31                adjtol = norm(dw,inf);
32            end
33            if adjiter==MaxIter %If the Newton meth. does not
   ↪ converge
34                disp('No convergence in the Newton method for adjoint
   ↪ problem')
35                break
36            end
37
38            lambda(:,i-1) = w;

```

```

39     t=t-dt(i-1);
40     end
41
42 end

```

AdjointODE45.m

```

1 function lambda = AdjointODE45(alpha, x, g, time_mesh, obs_start,
  ↪ obs_end)
2     [time, lambda] = ode45(@(t, lambda) ...
3         Adjfunc(t, lambda, x, g, alpha, time_mesh, obs_start,
  ↪ obs_end), ...
4         flip(time_mesh), [0;0;0]);
5     lambda = flip(lambda)';
6
7     function func = Adjfunc(t, lambda, x, g, alpha, time_mesh, obs_start,
  ↪ obs_end)
8         alphaPol =@(t) [];
9         for i = 1:size(alpha,1)
10            Pol_i =@(t) interp1(time_mesh, alpha(i,:), t);
11            alphaPol =@(t) [alphaPol(t); Pol_i(t)];
12        end
13        alphas = alphaPol(t);
14
15        xPol =@(t) [];
16        for i = 1:size(x,1)
17            Pol_i =@(t) interp1(time_mesh, x(i,:), t);
18            xPol =@(t) [xPol(t); Pol_i(t)];
19        end
20        xt = xPol(t);
21
22        gPol =@(t) [];
23        for j = 1:size(g,1)
24            Pol_j =@(t) interp1(time_mesh, g(j,:), t);
25            gPol =@(t) [gPol(t); Pol_j(t)];
26        end
27
28        if t >= obs_start & t <= obs_end % z = 1
29            gt = gPol(t);
30            func = adjfunc(t, alphas, xt, ...
31                lambda, gt);
32        else % z = 0
33            func = adj2func(t, alphas, xt, ...
34                lambda);
35        end
36    end
37
38
39 end

```

AnalyticParameter.m

```

1 function [dm1_guess, g_obs] = AnalyticParameter(alpha, time_mesh,
  ↪ obs_start, obs_end, noise_flag, noise_level, x_initial)

```

```

2
3     %final_time = time_mesh(end);
4     nodes = length(time_mesh);
5     time_step = time_mesh(2:end) - time_mesh(1:end-1);
6     ↪ %Time step for discrete derivatives.
7     g_prim = zeros(3,nodes);
8
9     %Simulate the true values of the model problem, with and
10    ↪ without noise.
11    [g,g_brus,g_add] = ExactNewton(alpha,time_mesh,noise_level,
12    ↪ x_initial);
13    if noise_flag == 1
14        g_obs = g_brus;
15    elseif noise_flag == 2
16        g_obs = g_add;
17    else
18        g_obs = g;
19    end
20
21    %Compute derivatives of g.
22    g_prim(:,2:end) = (g_obs(:,2:end)-g_obs(:,1:end-1))./time_step;
23
24    %Compute analytic eta inside observation interval.
25    r = 0.93;
26    beta_T = 3*10^9;
27
28    d_m2 = alpha(2,:);
29    x_T = g_obs(1,:); x_M1 = g_obs(2,:); x_M2 = g_obs(3,:);
30    x_T_prim = g_prim(1,:);
31
32    dm1 = (r*x_T.*(1 - x_T/beta_T) + d_m2.*x_M2.*x_T - x_T_prim)./(
33    ↪ x_M1.*x_T);
34
35    dm1_guess = dm1;
36
37    % plot(time_mesh,dm1_guess,'o')
38 end

```

calculate_alpha_exp.m

```

1 function alpha_exp=calculate_alpha_exp(alpha,alpha_unknown,x,t_min,
2     ↪ t_max)
3
4 x_T=x(1,:);
5 x_M1=x(2,:);
6 x_M2=x(3,:);
7 m=length(x_T) - 1; %ändrade till -1 då jag tycker steglängden borde
8     ↪ bli det
9 time_step=(t_max-t_min)/m;
10 alpha_exp=zeros(m-1,1); %ändrade från m-2 till m-1
11
12 for k=2:m
13     x_k=x(:,k);

```

```

13     dxT_dt=(x_T(k+1)-x_T(k-1))/(2*time_step);
14     dxM1_dt=(x_M1(k+1)-x_M1(k-1))/(2*time_step);
15     dxM2_dt=(x_M2(k+1)-x_M2(k-1))/(2*time_step);
16
17     dx_dt=[dxT_dt dxM1_dt dxM2_dt];
18     alpha_exp(k-1)=calc_explicit(alpha,alpha_unknown,x_k,dx_dt)
19     ↪ ;
20 end
21
22
23 function alpha_exp_k=calc_explicit(alpha,alpha_unknown,x,dx_dt)
24 dm1=alpha(1);
25 dm2=alpha(2);
26 at1=alpha(3);
27 at2=alpha(4);
28 k12=alpha(5);
29 r=0.93;
30 deltaM1=0.173;
31 deltaM2=0.173;
32 betaT=3*10^9;
33 betaM=9*10^8;
34
35 xT=x(1);
36 xM1=x(2);
37 xM2=x(3);
38
39 dxT_dt=dx_dt(1);
40 dxM1_dt=dx_dt(2);
41 dxM2_dt=dx_dt(3);
42
43 if alpha_unknown==1
44     alpha_exp_k=(-dxT_dt+r*xT*(1-xT/betaT)+dm2*xM2*xT)/(xT*xM1);
45 elseif alpha_unknown==2
46     alpha_exp_k=(dxT_dt-r*xT*(1-xT/betaT)+dm1*xM1*xT)/(xT*xM2);
47 elseif alpha_unknown==3
48     alpha_exp_k=(dxM1_dt+deltaM1*xM1+k12*xM1*xT)/(xT*xM1*(1-(xM1+
49     ↪ xM2)/betaM));
50 elseif alpha_unknown==4
51     alpha_exp_k=(dxM2_dt+deltaM2*xM2-k12*xM1*xT)/(xT*xM2*(1-(xM1+
52     ↪ xM2)/betaM));
53 else
54     alpha_exp_k=(dxM1_dt-at1*xT*xM1*(1-(xM1+xM2)/betaM)-deltaM1*xM1
55     ↪ )/(xT*xM1);
56 end
57 end

```

Create_Adjoint_figure.m

```

1 %% Initials
2 clc; close all; clear all;
3 %%initial of x and time variables
4 m = 15; % number of observations
5 obs_start = 2.1; obs_end = 7; %interval of observations
6 time_final = 20;

```

```

7 time_start = 0;
8
9 time_mesh = linspace(time_start,time_final,m);
10 % x_initial = [x_T(0); x_M1(0); x_M2(0)]
11 % initial values that seems to fit fig 1a
12 x_initial = [5*10^6; 10^3; 10^3];
13
14 gron = [102,194,165]/255;
15 orange = [252,141,98]/255;
16 lila = [141,160,203]/255;
17
18
19 %% Plot forward
20 alpha = alpha_vec(10^-9,10^-10,10^-8,10^-10,5*10^-10,time_mesh);
21 noise_level = 0.1;% 10% noise
22
23 %using ode45 since newton seems to have problems with low numbers
    ↪ for
24 % this particular system of odes
25
26 [g, g_brus, g_add] = ExactODE45(alpha,time_mesh,noise_level,
    ↪ x_initial);
27 figure
28 hold on
29
30 m2=1000;
31 time_mesh2 = linspace(time_start,time_final,m2);
32 alpha = alpha_vec(10^-9,10^-10,10^-8,10^-10,5*10^-10,time_mesh2);
33 FN = ForwardNewton(alpha,time_mesh2,x_initial);
34 F45 = ForwardODE45(alpha,time_mesh2,x_initial);
35
36 subplot(1,2,1);
37 plot(time_mesh2,FN(1,:), '-','Color',orange,'linewidth',2)
38     hold on
39     plot(time_mesh2,F45(1,:), '--','Color',lila,'linewidth',2)
40 title('Framåtproblemet');
41 xlabel('tid (dagar)');
42 legend('x_T Newton', 'x_T ode45')
43
44 %% Plot Adjoint
45
46 time_obs = linspace(obs_start, obs_end, 15);
47 alpha_obs = alpha_vec(10^-9,10^-10,10^-8,10^-10,5*10^-10,time_obs);
48 [g, g_brus, g_add] = ExactODE45(alpha_obs,time_obs,noise_level,
    ↪ x_initial); % get observations
49 %interpolate to be able to use for other time meshes
50 gPol =@(t) [];
51 for j = 1:size(g_brus,1)
52     Pol_j =@(t) interp1(time_mesh,g_brus(j,:),t);
53     gPol =@(t) [gPol(t); Pol_j(t)];
54 end
55
56 time_mesh2 = linspace(time_start,time_final,m2);
57 alpha = alpha_vec(10^-9,10^-10,10^-8,10^-10,5*10^-10,time_mesh2);
58 g_brus = gPol(time_mesh2);
59 FN = ForwardNewton(alpha,time_mesh2,x_initial);

```



```

60 F45 = ForwardODE45(alpha,time_mesh2,x_initial);
61 AN = AdjointNewton(alpha, FN, g_brus, time_mesh2, obs_start,
    ↪ obs_end);
62 A45 = AdjointODE45(alpha, F45, g_brus, time_mesh2, obs_start,
    ↪ obs_end);
63
64 subplot(1,2,2);
65 plot(time_mesh2,AN(2,:), '- ', 'Color',orange, 'linewidth',2)
66     hold on
67 plot(time_mesh2,A45(2,:), '-- ', 'Color',lila, 'linewidth',2)
68 title('Bakåttproblemet');
69 xlabel('tid (dagar)');
70 legend('x_T Newton', 'x_T ode45')
71
72
73 %% creating some special figures
74
75
76
77
78
79
80 %% observations
81 alpha = alpha_vec(10^-9,10^-10,10^-8,10^-10,5*10^-10,time_mesh);
82 noise_level = 0.1;% 10% noise
83
84 %using ode45 since newton seems to have problems with low numbers
    ↪ for
85 % this particular system of odes
86
87 [g, g_brus, g_add] = ExactODE45(alpha,time_mesh,noise_level,
    ↪ x_initial);
88 figure
89
90 plot(time_mesh,g(1,:), 'linewidth',2)
91 hold on
92 plot(time_mesh,g_brus(1,:), '*')
93     legend('x_T, ode45','observations g1')
94     title(['ODE45 versus noisy data, noise , \delta= ',num2str(
    ↪ noise_level)]);
95
96
97 %% Test solver quality : Forward
98 % figure
99 %
100 % hold on
101 % sch = 0;
102 % for m2 = [50 100 200 400 800 1000]
103 %     time_mesh2 = linspace(time_start,time_final,m2);
104 %     alpha = alpha_vec(10^-9,10^-10,10^-8,10^-10,5*10^-10,
    ↪ time_mesh);
105 %     FN = ForwardNewton(alpha,time_mesh2,x_initial);
106 %     F45 = ForwardODE45(alpha,time_mesh2,x_initial);
107 %
108 % sch = sch+1;
109 % subplot(2, 3, sch);

```

```

110 %
111 % plot(time_mesh2, FN(1,:), '-r', time_mesh2, F45(1,:), '--b', 'linewidth
    ↪ ', 2);
112 % title(' forward problem');
113 % xlabel(m2)
114 %
115 % legend('x_T Newton', 'x_T ode45')
116 % %      text(time_mesh2(end), FN(1,end), ['N', num2str(m2)])
117 % %      text(time_mesh2(end), F45(1,end), ['45', num2str(m2)])
118 % end
119 %
120 % grid on
121 %
122 %
123 % hold off
124
125
126 %% Test solver quality : Adjoint
127
128 noise_level = 0.1;
129 time_obs = linspace(obs_start, obs_end, 15);
130 alpha_obs = alpha_vec(10^-9, 10^-10, 10^-8, 10^-10, 5*10^-10, time_mesh)
    ↪ ;
131 [g, g_brus, g_add] = ExactODE45(alpha_obs, time_obs, noise_level,
    ↪ x_initial); % get observations
132 %interpolate to be able to use for other time meshes
133 gPol = @(t) [];
134 for j = 1:size(g_brus, 1)
135     Pol_j = @(t) interp1(time_mesh, g_brus(j,:), t);
136     gPol = @(t) [gPol(t); Pol_j(t)];
137 end
138
139
140 figure
141 hold on
142
143 sch = 0;
144
145 for m2 = [200 800 2000 20000]
146     disp(m2)
147     time_mesh2 = linspace(time_start, time_final, m2);
148     alpha = alpha_vec(10^-9, 10^-10, 10^-8, 10^-10, 5*10^-10, time_mesh2
    ↪ );
149     g_brus = gPol(time_mesh2);
150     FN = ForwardNewton(alpha, time_mesh2, x_initial);
151     F45 = ForwardODE45(alpha, time_mesh2, x_initial);
152     AN = AdjointNewton(alpha, FN, g_brus, time_mesh2, obs_start,
    ↪ obs_end);
153     A45 = AdjointODE45(alpha, F45, g_brus, time_mesh2, obs_start,
    ↪ obs_end);
154
155     sch = sch+1;
156     subplot(2, 2, sch);
157     subindex = {'a) ', 'b) ', 'c) ', 'd) '};
158     plot(time_mesh2, AN(1,:), '-', 'Color', orange, 'linewidth', 2)
159     hold on

```

```

160     plot(time_mesh2,A45(1,:), '--', 'Color', lila, 'linewidth', 2)
161     xlabel(m2)
162     title([subindex{sch}, 'Adjoint problem']);
163     legend('x_T Newton', 'x_T ode45')
164
165
166
167
168 end
169 figure
170
171 for m2=[2000]
172     disp(m2)
173     time_mesh2 = linspace(time_start,time_final,m2);
174     alpha = alpha_vec(10^-9,10^-10,10^-8,10^-10,5*10^-10,time_mesh2
↪ );
175     g_brus = gPol(time_mesh2);
176     FN = ForwardNewton(alpha,time_mesh2,x_initial);
177     F45 = ForwardODE45(alpha,time_mesh2,x_initial);
178     AN = AdjointNewton(alpha, FN, g_brus, time_mesh2, obs_start,
↪ obs_end);
179     A45 = AdjointODE45(alpha, F45, g_brus, time_mesh2, obs_start,
↪ obs_end);
180
181     subplot(1,2,1)
182     plot(time_mesh2, FN(1,:), '-', 'Color', orange, 'linewidth', 2)
183     hold on
184     plot(time_mesh2, F45(1,:), '--', 'Color', lila, 'linewidth', 2)
185     title('Forward problem');
186     legend('x_T Newton', 'x_T ode45')
187     xlim([5 20])
188     subplot(1,2,2)
189     plot(time_mesh2, AN(2,:), '-', 'Color', orange, 'linewidth', 2)
190     hold on
191     plot(time_mesh2, A45(2,:), '--', 'Color', lila, 'linewidth', 2)
192     title('Adjoint problem');
193     legend('x_T Newton', 'x_T ode45')
194     xlim([5 20])
195
196
197 end
198
199
200
201
202 hold off
203
204
205 %% Inner functions
206
207 function alpha = alpha_vec(dm1, dm2, at1, at2, k12, time_mesh)
208     scaling_factor_dm1 = dm1;
209     scaling_factor_dm2 = dm2;
210     scaling_factor_at1 = at1;
211     scaling_factor_at2 = at2;
212     scaling_factor_k12 = k12;

```

```

213
214     function_flag = 0; % constant
215
216     exact_dm1 = ExactParameter(scaling_factor_dm1,function_flag,
↪ time_mesh); %Exact profile for dm1 to produce data.
217     exact_dm2 = ExactParameter(scaling_factor_dm2,function_flag,
↪ time_mesh); %Exact profile for dm2 to produce data.
218     exact_at1 = ExactParameter(scaling_factor_at1,function_flag,
↪ time_mesh); %Exact profile for at1 to produce data.
219     exact_at2 = ExactParameter(scaling_factor_at2,function_flag,
↪ time_mesh); %Exact profile for at2 to produce data.
220     exact_k12 = ExactParameter(scaling_factor_k12,function_flag,
↪ time_mesh); %Exact profile for k12 to produce data.
221
222     alpha = [exact_dm1; exact_dm2; exact_at1; exact_at2; exact_k12
↪ ];
223
224 end

```

ExactNewton.m

```

1 %Computes the exact solution of the model problem.
2 function [g,g_brus,g_add] = ExactNewton(alpha, time_mesh,
↪ noise_level,x_initial)%(alpha, time_mesh,obs_start,obs_end,
↪ noise_level,x_initial)
3
4
5     nodes = length(time_mesh); % Number of nodes in the time
↪ partition
6
7     g = ForwardNewton(alpha,time_mesh,x_initial);
8 %     lb = find(obs_start < time_mesh,1)-1;
9 %     ub = nodes - find(obs_end > flip(time_mesh),1) + 2;
10 %     g(:,1:lb) = 0; g(:,ub:end) = 0;
11
12     brus = (rand(3,nodes)*2 - 1)*noise_level;
13     g_brus = g + g.*brus;
14
15     g_add = g + g*noise_level;
16 end

```

ExactODE45.m

```

1 %Computes the exact solution of the model problem.
2 function [g,g_brus,g_add] = ExactODE45(alpha, time_mesh,noise_level
↪ ,x_initial)%(alpha, time_mesh,obs_start,obs_end,noise_level,
↪ x_initial)
3
4
5     nodes = length(time_mesh); % Number of nodes in the time
↪ partition
6
7     g = ForwardODE45(alpha,time_mesh,x_initial);
8 %     lb = find(obs_start < time_mesh,1)-1;

```

```

9 %     ub = nodes - find(obs_end > flip(time_mesh),1) + 2;
10 %
11 %     g(:,1:lb) = 0; g(:,ub:end) = 0;
12
13     brus = (rand(3,nodes)*2 - 1)*noise_level;
14     g_brus = g + g.*brus;
15
16     g_add = g + g*noise_level;
17 end

```

ExactParameter.m

```

1 function exact_par = ExactParameter(scaling,flag,time_mesh)
2     %Input: 1. scaling factor
3     %2. function flag (0. const. 1. +linear 2. -linear 3. sin 4.
4     ↪ exp(-x))
5     %time = 0;
6     s = zeros(1,length(time_mesh));
7     s = 3*time_mesh/time_mesh(end);
8     if flag == 1
9         exact_par = scaling*s/3;
10    elseif flag == 2
11        exact_par = scaling*(1-s/3);
12    elseif flag == 3
13        exact_par = scaling*sin(s);
14    elseif flag == 4
15        exact_par = scaling*exp(-s);
16    else
17        exact_par = scaling*ones(1,length(time_mesh));
18    end
19
20 %     figure
21 %     plot(time_mesh,exact_par,'b --s','LineWidth',3);
22 %legend(' linear 1')
23 % title('Test function in time')
24
25 end

```

Forwardfunc.m

```

1 function f = Forwardfunc(x,alpha)
2     % alpha = (d_m1, d_m2, a_t1, a_t2, k_12)
3     r = 0.93;
4     beta_T = 3*10^9;
5     d_m1 = alpha(1);
6     d_m2 = alpha(2);
7     a_t1 = alpha(3);
8     a_t2 = alpha(4);
9     beta_M = 9*10^8;
10    sigma_m1 = 0.173;
11    sigma_m2 = 0.173;
12    k_12 = alpha(5);
13

```

```

14     x_T = x(1); x_M1 = x(2); x_M2 = x(3);
15
16     f1 = r*x_T*(1 - x_T/beta_T) - d_m1*x_M1*x_T + d_m2*x_M2*x_T;
17     f2 = a_t1*x_T*x_M1*(1 - (x_M1+x_M2)/beta_M) - sigma_m1*x_M1 -
    ↪ k_12*x_M1*x_T;
18     f3 = a_t2*x_T*x_M2*(1 - (x_M1+x_M2)/beta_M) - sigma_m2*x_M2 +
    ↪ k_12*x_M1*x_T;
19     f = [f1; f2; f3];
20 end

```

ForwardfuncJacobi.m

```

1 function f = ForwardfuncJacobi(x,alpha)
2     % alpha = (d_m1, d_m2, a_t1, a_t2, k_12)
3     r = 0.93;
4     beta_T = 3*10^9;
5     d_m1 = alpha(1);
6     d_m2 = alpha(2);
7     a_t1 = alpha(3);
8     a_t2 = alpha(4);
9     beta_M = 9*10^8;
10    sigma_m1 = 0.173;
11    sigma_m2 = 0.173;
12    k_12 = alpha(5);
13
14    x_T = x(1); x_M1 = x(2); x_M2 = x(3);
15    f = zeros(3,3);
16
17    f(1,1) = r*(1-2*x_T/beta_T) - d_m1*x_M1 + d_m2*x_M2;
18    f(1,2) = -d_m1*x_T;
19    f(1,3) = d_m2*x_T;
20    f(2,1) = a_t1*x_M1*(1-(x_M1+x_M2)/beta_M) - k_12*x_M1;
21    f(2,2) = a_t1*x_T*(1-(2*x_M1+x_M2)/beta_M) - sigma_m1 - k_12*
    ↪ x_T;
22    f(2,3) = -a_t1*x_T*x_M1/beta_M;
23    f(3,1) = a_t2*x_M2*(1-(x_M1+x_M2)/beta_M) + k_12*x_M1;
24    f(3,2) = -a_t2*x_T*x_M2/beta_M + k_12*x_T;
25    f(3,3) = a_t2*x_T*(1-(x_M1+2*x_M2)/beta_M) - sigma_m2;
26
27 end

```

ForwardNewton.m

```

1 function x = ForwardNewton(alpha,time_mesh,x_initial)
2 %Computes the forward solution of the model problem.
3
4     nodes = length(time_mesh)-1;
5
6     MaxIter = 1000; % maximal number of iterations in Newton
    ↪ method
7
8     x = zeros(size(x_initial,1),nodes+1);
9
10    x(:,1) = x_initial;

```

```

11
12     dt = time_mesh(2:end)-time_mesh(1:end-1);    %Time step
13
14     v = x_initial;
15     for i = 1:nodes
16         tol=1;
17         iter=0;
18         while tol>10(-10) && iter < MaxIter    %Newton iterations
19             F= v - x(:,i) - dt(i)*Forwardfunc(v,alpha(:,i));
20             J=eye(length(x_initial)) - dt(i)*ForwardfuncJacobi(v,
↪ alpha(:,i));
21             dv = -J\F;
22             if norm(F) <10(-5)
23 %                 disp('norm(F) is very small! Newtons method
↪ stops at time step ')
24 %                 time_mesh(i)
25                 break
26             end
27
28             v=v+dv;                %The Newton iteration
29             iter = iter +1;
30             tol = norm(dv,inf);
31         end
32         if iter==MaxIter            %If the Newton meth. does not
↪ converge
33             disp(['No convergence in the Newton method at time: '
↪ num2str(time_mesh(i))])
34             break
35         end
36         for k = 1:length(x_initial)
37             if v(k) < 0
38                 warning('Forward solution algorithm yields invalid
↪ solution. Try increasing the number of nodes in the time
↪ partition.')
```

ForwardODE45.m

```

1 function f = ForwardODE45(alpha,time_mesh,x_initial)
2     [time,f] = ode45(@(t,x) Forfunc(t,x,alpha,time_mesh),time_mesh,
↪ x_initial);
3     f = f';
4     function func = Forfunc(t,x,alpha,time_mesh)
5         alphaPol =@(t) [];
6         for i = 1:size(alpha,1)
7             Pol_i =@(t) interp1(time_mesh,alpha(i,:),t);
8             alphaPol =@(t) [alphaPol(t); Pol_i(t)];
9         end
10        alphas = alphaPol(t);
```

```

11         func = Forwardfunc(x, alphas);
12     end
13
14 end

```

leastsquare.m

```

1 clear, clc
2 % -----
3 %   Solution of least squares problem  min_x || Ax - y ||_2
4 % -----
5
6 grad=5; % graden på polynomet
7 points=200; %antalet diskreta punkter = ( rader i matrisen A)
8
9
10 % x = [1 2 3 4 5];
11 % y = [3 4 3.5 5 6];
12
13 x=zeros(1,points);
14 y=zeros(1,points);
15 V=[];
16 for i=1:1:points
17     x = linspace(-10.0,10.0,points);
18     % exakt funktion
19     y(i)= sin(pi*x(i)/5); %+ x(i)/5;
20     % y=rand(1,i)*0.1;
21     %y(i) = 1./(1+x(i).^2) + 0.1*randn(size(x(i)));
22
23 end
24
25
26 %skapar vandermode matrisen
27 V = bsxfun(@power,x(:),0:grad);
28 %vandemorde = V
29 % V*A=Y ekvation som ska lösas
30 % VL: V*V'*A dvs. VL=A
31 % L SNINGEN V*HL "(HL=A)"
32 %
33
34 % beräknar högeledet
35 HL=V'*y';
36
37 % beräknar vänsterledet
38 VL=V'*V;
39
40 %VL=zeros(degree+1);
41
42 % Lösning av normalekvationen med Cholesky faktorisering
43 %symmetri=issymmetric(VL)
44 if all(eig(VL) > 0) % vi kollar om matrisen är positivt definit
45     ↪ eftersom chol kräver "symmetrisk positiv definita matriser"
46     ↪ annars börjar den anta
47     VL = chol(VL, 'lower'); % chol faktorerar matrisen lhs till
48     ↪ en triangulär matris så att lhs=l'*l

```



```

46 %felet kan kollas med:
47 %norm(1*1' - lhs )
48 HL = VL' \ (VL \ HL);
49
50 figure(1)
51 plot(x,y,'-- r', 'linewidth',2)
52 hold on
53
54 % beräknar approximation till det exakta polynomet med
    ↪ coefficienter c
55
56 polynom = V*HL;
57 plot(x,polynom,': b', 'linewidth',2)
58 hold off
59
60 str_xlabel = ['polynomgrad: ', num2str(grad)];
61
62 % Beräknar det relativa felet
63 % norm(approx. value - true value) / norm(true value)
64 %e1=norm(y'- approx)/norm(y')
65
66 error=norm(y'- polynom)/norm(y');
67 %fprintf('Relativt fel: %.2f%%', error);
68
69 legend('exakt ',str_xlabel);
70 title(['Relativt fel: ' num2str(error)])
71 xlabel('x')
72 else
73     error('Det uppfylls inte att matrisen är positivt definit; en
    ↪ matris A sådan att x^(T) Ax > 0 för alla x');
74 end

```

LinearClassNormalEqExample2.m

```

1 function [approx] = LinearClassNormalEqExample2(y,x,m)
2     % -----
3     % Solution of least squares problem min_x || Ax - y ||_2
4     % using the method of normal equations.
5     % Matrix A is constructed as a Vandermonde matrix.
6     % -----
7
8
9     d=5; % degree of the polynomial
10    %m=50;%number of discretization points or rows in the matrix A
11
12    %y=zeros(1,m);
13    A=[];
14
15    %Values for parameter eta
    ↪ -----
16    scaling_factor = 0.7;
17    %function_flag = 1; % flag means choose of the model function
    ↪ for eta: can be chosen between 1 and 4
18    %eta(t) = scaling_factor*function
19

```

```

20 % ext_eta = ExactEta(scaling_factor,function_flag,x); %Exact
↪ eta.
21
22
23
24 % construction of a Vandermonde matrix
25
26 for i=1:m
27     for j=1:d+1
28         A(i,j)=power(x(i),j-1);
29     end
30 end
31
32
33 % plot(x,y,'o')
34
35 % computing the right hand side in the method of normal
↪ equations
36 c=A'*y';
37
38 % computing matrix in the left hand side in the method of
↪ normal equations
39 C=A'*A;
40
41 l=zeros(d+1);
42
43 % solution of the normal equation using Cholesky decomposition
44
45 for j=1:d+1
46     s1=0;
47     for k=1:j-1
48         s1=s1+l(j,k)*l(j,k);
49     end
50     l(j,j)=(C(j,j)-s1)^(1/2);
51     for i=j+1:d+1
52         s2=0;
53         for k=1:j-1
54             s2=s2+l(i,k)*l(j,k);
55         end
56         l(i,j)=(C(i,j)-s2)/l(j,j);
57     end
58 end
59 for i=1:d+1
60     for k=1:i-1
61         c(i)=c(i)-c(k)*l(i,k);
62     end
63     c(i)=c(i)/l(i,i);
64 end
65 for i=d+1:-1:1
66     for k=d+1:-1:i+1
67         c(i)=c(i)-c(k)*l(k,i);
68     end
69     c(i)=c(i)/l(i,i);
70 end
71
72 size(x);

```

```

73
74     size(y);
75     figure(1)
76     plot(x,y,'o r', 'linewidth',2)
77     hold on
78
79     % compute approximation to this exact polynomial with comp.
80     ↪ coefficients c
81
82     approx = A*c;
83     plot(x,approx,'*- ', 'linewidth',2)
84
85     str_xlabel = ['poly.degree d=', num2str(d)];
86
87
88
89     xlabel('Time')
90     legend('\eta from measured data', ' approximated guess for \
91     ↪ eta_0');
92     title(['Least squares for classification, number of input
93     ↪ points ', num2str(m)])
94
95     % computation of the relative error as
96     % norm(approx. value - true value) / norm(true value)
97     %e1=norm(y'- approx)/norm(y')
98 end

```

mod_calculate_alpha_exp_dell.m

```

1 function alpha_exp=mod_calculate_alpha_exp_dell(alpha ,alpha_unknown
2     ↪ ,x,t_min,t_max)
3
4 x_T=x(1,:);
5 x_M1=x(2,:);
6 x_M2=x(3,:);
7 m=length(x_T) - 1; %ändrade till -1 då jag tycker steglängden borde
8     ↪ bli det
9
10 time_step=(t_max-t_min)/m;
11 alpha_exp=zeros(m-1,1); %ändrade från m-2 till m-1
12
13 for k=2:m
14     x_k=x(:,k);
15
16     dxT_dt=(x_T(k+1)-x_T(k-1))/(2*time_step);
17     dxM1_dt=(x_M1(k+1)-x_M1(k-1))/(2*time_step);
18     dxM2_dt=(x_M2(k+1)-x_M2(k-1))/(2*time_step);
19
20     dx_dt=[dxT_dt dxM1_dt dxM2_dt];
21
22     alpha_exp(k-1)=calc_explicit_FE(alpha ,alpha_unknown ,x_k ,
23     ↪ dx_dt);
24 end
25 end
26

```

```

23
24
25
26
27 function alpha_exp_k_FE=calc_explicit_FE(alpha,alpha_unknown,x,
    ↪ dx_dt);
28 dm1=alpha(1);
29 dm2=alpha(2);
30 at1=alpha(3);
31 at2=alpha(4);
32 k12=alpha(5);
33 r=0.93;
34 deltaM1=0.173;
35 deltaM2=0.173;
36 betaT=3*10^9;
37 betaM=9*10^8;
38
39 xT=x(1);
40 xM1=x(2);
41 xM2=x(3);
42
43 dxT_dt=dx_dt(1);
44 dxM1_dt=dx_dt(2);
45 dxM2_dt=dx_dt(3);
46
47 if alpha_unknown==1
48     alpha_exp_k_FE = r*(1-xT/betaT)/xM1 - dxT_dt/(xM1*xT) ; %+ dm2*
    ↪ xM2/xM1
49 elseif alpha_unknown==2
50     alpha_exp_k_FE = dxT_dt/(xM2*xT) - r*(1-xT/betaT)/xM2 ; %+ dm1*
    ↪ xM1/xM2
51 elseif alpha_unknown==3
52     alpha_exp_k_FE = dxM1_dt/(xT*xM1*(1 - (xM2+xM1)/betaM)) +
    ↪ deltaM1/(xT*(1-(xM1+xM2)/betaM)); % + k12/(1-(xM1+xM2)/betaM
    ↪ )
53 elseif alpha_unknown==4
54     alpha_exp_k_FE = dxM2_dt/(xT*xM1*(1 - (xM2+xM1)/betaM)) +
    ↪ deltaM2/(xT*(1 - (xM2+xM1)/betaM));% - k12/(1 - (xM2+xM1)/
    ↪ betaM)
55 else
56     alpha_exp_k_FE = -dxM1_dt/(xM1*xT) - deltaM1/xT ; %+ at1*(1-(
    ↪ xM1 + xM2)/betaM)
57 end
58 end

```

mod_calculate_alpha_exp_del2.m

```

1 function alpha_exp=mod_calculate_alpha_exp_del2(alpha,alpha_unknown
    ↪ ,x,t_min,t_max)
2
3 x_T=x(1,:);
4 x_M1=x(2,:);
5 x_M2=x(3,:);
6 m=length(x_T) - 1; %ändrade till -1 då jag tycker steglängden borde
    ↪ bli det

```

```

7 time_step=(t_max-t_min)/m;
8 alpha_exp=zeros(m-1,1); %ändrade från m-2 till m-1
9
10 for k=2:m
11     x_k=x(:,k);
12
13     dxT_dt=(x_T(k+1)-x_T(k-1))/(2*time_step);
14     dxM1_dt=(x_M1(k+1)-x_M1(k-1))/(2*time_step);
15     dxM2_dt=(x_M2(k+1)-x_M2(k-1))/(2*time_step);
16
17     dx_dt=[dxT_dt dxM1_dt dxM2_dt];
18
19     alpha_exp(k-1)=calc_explicit_FE(alpha,alpha_unknown,x_k,
    ↪ dx_dt);
20 end
21 end
22
23
24
25
26 function alpha_exp_k_FE=calc_explicit_FE(alpha,alpha_unknown,x,
    ↪ dx_dt);
27 dm1=alpha(1);
28 dm2=alpha(2);
29 at1=alpha(3);
30 at2=alpha(4);
31 k12=alpha(5);
32 r=0.93;
33 deltaM1=0.173;
34 deltaM2=0.173;
35 betaT=3*10^9;
36 betaM=9*10^8;
37
38 xT=x(1);
39 xM1=x(2);
40 xM2=x(3);
41
42 dxT_dt=dx_dt(1);
43 dxM1_dt=dx_dt(2);
44 dxM2_dt=dx_dt(3);
45
46 if alpha_unknown==1
47     alpha_exp_k_FE = - dxT_dt/(xM1*xT) + dm2*xM2/xM1;%r*(1-xT/betaT
    ↪ )/xM1
48 elseif alpha_unknown==2
49     alpha_exp_k_FE = dxT_dt/(xM2*xT) + dm1*xM1/xM2; % - r*(1-xT/
    ↪ betaT)/xM2
50 elseif alpha_unknown==3
51     alpha_exp_k_FE = dxM1_dt/(xT*xM1*(1 - (xM2+xM1)/betaM)) + k12
    ↪ /(1-(xM1+xM2)/betaM); % + deltaM1/(xT*(1-(xM1+xM2)/betaM))
52 elseif alpha_unknown==4
53     alpha_exp_k_FE = dxM2_dt/(xT*xM1*(1 - (xM2+xM1)/betaM)) - k12
    ↪ /(1 - (xM2+xM1)/betaM); % + deltaM2/(xT*(1 - (xM2+xM1)/betaM)
    ↪ )
54 else
55     alpha_exp_k_FE = -dxM1_dt/(xM1*xT) + at1*(1-(xM1 + xM2)/betaM)

```

```

    ↪ ; % - deltaM1/xT
56 end
57
58 end

```

mod_calculate_alpha_exp_del3.m

```

1 function alpha_exp=mod_calculate_alpha_exp_del3(alpha, alpha_unknown
    ↪ , x, t_min, t_max)
2
3 x_T=x(1,:);
4 x_M1=x(2,:);
5 x_M2=x(3,:);
6 m=length(x_T) - 1;
7 time_step=(t_max-t_min)/m;
8 alpha_exp=zeros(m-1,1);
9
10 for k=2:m
11     x_k=x(:,k);
12
13     dxT_dt=(x_T(k+1)-x_T(k-1))/(2*time_step);
14     dxM1_dt=(x_M1(k+1)-x_M1(k-1))/(2*time_step);
15     dxM2_dt=(x_M2(k+1)-x_M2(k-1))/(2*time_step);
16
17     dx_dt=[dxT_dt dxM1_dt dxM2_dt];
18
19     alpha_exp(k-1)=calc_explicit_FE(alpha, alpha_unknown, x_k,
    ↪ dx_dt);
20 end
21 end
22
23
24
25
26
27 function alpha_exp_k_FE=calc_explicit_FE(alpha, alpha_unknown, x,
    ↪ dx_dt);
28 dm1=alpha(1);
29 dm2=alpha(2);
30 at1=alpha(3);
31 at2=alpha(4);
32 k12=alpha(5);
33 r=0.93;
34 deltaM1=0.173;
35 deltaM2=0.173;
36 betaT=3*10^9;
37 betaM=9*10^8;
38
39 xT=x(1);
40 xM1=x(2);
41 xM2=x(3);
42
43 dxT_dt=dx_dt(1);
44 dxM1_dt=dx_dt(2);
45 dxM2_dt=dx_dt(3);

```

```

46
47 if alpha_unknown==1
48     alpha_exp_k_FE = r*(1-xT/betaT)/xM1 + dm2*xM2/xM1 ; %- dxT_dt/(
    ↪ xM1*xT)
49 elseif alpha_unknown==2
50     alpha_exp_k_FE = - r*(1-xT/betaT)/xM2 + dm1*xM1/xM2; %dxT_dt/(
    ↪ xM2*xT)
51 elseif alpha_unknown==3
52     alpha_exp_k_FE = +deltaM1/(xT*(1-(xM1+xM2)/betaM))+ k12/(1-(xM1
    ↪ +xM2)/betaM); % dxM1_dt/(xT*xM1*(1 - (xM2+xM1)/betaM))
53 elseif alpha_unknown==4
54     alpha_exp_k_FE = + deltaM2/(xT*(1 - (xM2+xM1)/betaM)) - k12
    ↪ /(1 - (xM2+xM1)/betaM);%dxM2_dt/(xT*xM1*(1 - (xM2+xM1)/betaM)
    ↪ )
55 else
56     alpha_exp_k_FE = - deltaM1/xT + at1*(1-(xM1 + xM2)/betaM); %-
    ↪ dxM1_dt/(xM1*xT)
57 end
58 end

```

mod_calculate_alpha_exp.m

```

1 function alpha_exp=mod_calculate_alpha_exp(alpha,alpha_unknown,x,
    ↪ t_min,t_max)
2
3 x_T=x(1,:);
4 x_M1=x(2,:);
5 x_M2=x(3,:);
6 m=length(x_T) - 1; %ändrade till -1 då jag tycker steglängden borde
    ↪ bli det
7 time_step=(t_max-t_min)/m;
8 alpha_exp=zeros(m-1,1); %ändrade från m-2 till m-1
9
10 for k=2:m
11     x_k=x(:,k);
12
13     dxT_dt=(x_T(k+1)-x_T(k-1))/(2*time_step);
14     dxM1_dt=(x_M1(k+1)-x_M1(k-1))/(2*time_step);
15     dxM2_dt=(x_M2(k+1)-x_M2(k-1))/(2*time_step);
16
17     dx_dt=[dxT_dt dxM1_dt dxM2_dt];
18
19     alpha_exp(k-1)=calc_explicit_FE(alpha,alpha_unknown,x_k,
    ↪ dx_dt);
20 end
21 end
22
23
24
25
26 function alpha_exp_k_FE=calc_explicit_FE(alpha,alpha_unknown,x,
    ↪ dx_dt);
27 dm1=alpha(1);
28 dm2=alpha(2);
29 at1=alpha(3);

```

```

30 at2=alpha(4);
31 k12=alpha(5);
32 r=0.93;
33 deltaM1=0.173;
34 deltaM2=0.173;
35 betaT=3*10^9;
36 betaM=9*10^8;
37
38 xT=x(1);
39 xM1=x(2);
40 xM2=x(3);
41
42 dxT_dt=dx_dt(1);
43 dxM1_dt=dx_dt(2);
44 dxM2_dt=dx_dt(3);
45
46 if alpha_unknown==1
47     alpha_exp_k_FE = r*(1-xT/betaT)/xM1 - dxT_dt/(xM1*xT) + dm2*xM2
48     ↪ /xM1;
49 elseif alpha_unknown==2
49     alpha_exp_k_FE = dxT_dt/(xM2*xT) - r*(1-xT/betaT)/xM2 + dm1*xM1
50     ↪ /xM2;
51 elseif alpha_unknown==3
51     alpha_exp_k_FE = dxM1_dt/(xT*xM1*(1 - (xM2+xM1)/betaM)) +
52     ↪ deltaM1/(xT*(1-(xM1+xM2)/betaM)) + k12/(1-(xM1+xM2)/betaM);
53 elseif alpha_unknown==4
53     alpha_exp_k_FE = dxM2_dt/(xT*xM1*(1 - (xM2+xM1)/betaM)) +
54     ↪ deltaM2/(xT*(1 - (xM2+xM1)/betaM)) - k12/(1 - (xM2+xM1)/betaM
55     ↪ );
54 else
55     alpha_exp_k_FE = -dxM1_dt/(xM1*xT) - deltaM1/xT + at1*(1-(xM1 +
56     ↪ xM2)/betaM);
56 end
57
58 end

```

mod_test_alpha_exp_Chebyshev_plot.m

```

1 clc; close all; clear all;
2
3 t_min=0;t_max=20; m=500; x_initial = [5*10^6; 10^3; 10^3];%För att
4     ↪ ha startvärden nära ett steady state sätt in
5     ↪ [3.1298490038*10^9; 10^-5; 402531911.894];
4 time_mesh = [];
5 for k = 1:m
6     time_mesh(end+1) = -(t_max-t_min)/2*cos((2*k-1)*pi/(2*m)) + (
7     ↪ t_max+t_min)/2;
7 end
8
9
10 alpha = [10^-11 10^-12 10^-10 10^-12 10^-12]*100;
11 alpha_1=alpha_vec(alpha(1),alpha(2),alpha(3),alpha(4),alpha(5),
12     ↪ time_mesh);
12 x_23s = ForwardODE23s(alpha_1,time_mesh,x_initial);
13 x_Newton = ForwardNewton(alpha_1,time_mesh,x_initial);

```



```

14 x_45 = ForwardODE45(alpha_1,time_mesh,x_initial);
15 t_plot = [1:500];
16
17
18 gron = [102,194,165]/255;
19 orange = [252,141,98]/255;
20 lila = [141,160,203]/255;
21
22 alpha_unknown=5;
23 %Förenklad
24 alpha_exp_23s=mod_calculate_alpha_exp(alpha,alpha_unknown,x_23s,
    ↪ t_min,t_max);
25 alpha_exp_Newton=mod_calculate_alpha_exp(alpha,alpha_unknown,
    ↪ x_Newton,t_min,t_max);
26 alpha_exp_45=mod_calculate_alpha_exp(alpha,alpha_unknown,x_45,t_min
    ↪ ,t_max);
27 alpha_exp_23s_T = alpha_exp_23s';
28 alpha_mod_medel = mean(alpha_exp_23s_T([250:498]))
29
30 %orginal
31 alpha_exp_23s_org=calculate_alpha_exp(alpha,alpha_unknown,x_23s,
    ↪ t_min,t_max);
32 alpha_exp_Newton_org=calculate_alpha_exp(alpha,alpha_unknown,
    ↪ x_Newton,t_min,t_max);
33 alpha_exp_45_org=calculate_alpha_exp(alpha,alpha_unknown,x_45,t_min
    ↪ ,t_max);
34 alpha_exp_23s_org_T = alpha_exp_23s_org';
35 alpha_mod_medel = mean(alpha_exp_23s_org_T([250:498]))
36
37
38 max_45_org = max(alpha_exp_45_org);
39 max_Newton_org = max(alpha_exp_Newton_org);
40 max_23s_org = max(alpha_exp_23s_org);
41
42 max_45_mod = max(alpha_exp_45);
43 max_Newton_mod = max(alpha_exp_Newton);
44 max_23s_mod = max(alpha_exp_23s);
45
46
47 max_org = max([max_45_org max_Newton_org max_23s_org]);
48 max_mod = max([max_45_mod max_Newton_mod max_23s_mod]);
49
50 min_45_org = min(alpha_exp_45_org);
51 min_Newton_org = min(alpha_exp_Newton_org);
52 min_23s_org = min(alpha_exp_23s_org);
53
54 min_45_mod= min(alpha_exp_45);
55 min_Newton_mod = min(alpha_exp_Newton);
56 min_23s_mod = min(alpha_exp_23s);
57
58 min_org = min([min_45_org min_Newton_org min_23s_org]);
59 min_mod = min([min_45_mod min_Newton_mod min_23s_mod]);
60
61 figure('name','Chebyshev')
62 subplot(2,1,1)
63 plot(time_mesh(2:end-1),alpha_exp_23s,'color',gron,LineWidth=2)

```

```

64 hold on
65 plot([0 20],[alpha(alpha_unknown) alpha(alpha_unknown)], 'r--',
      ↪ LineWidth=1)
66 legend('Explicit beräkningar, ode23s','Sannt parametervärde')
67 title('Förenklad','FontSize',14)
68 ylim([min_mod-max_mod/3,max_mod*1.3])
69 xlabel('Dagar','FontSize',12,'FontWeight','bold')
70 ylabel('Parametervärde','FontSize',12,'FontWeight','bold')
71 %ylim([-5*10^-8 10^-7]) %För paramteter 5
72
73 subplot(2,1,2)
74 plot(time_mesh(2:end-1),alpha_exp_23s_org,'color',gron,LineWidth=2)
75 hold on
76 plot([0 20],[alpha(alpha_unknown) alpha(alpha_unknown)], 'r--',
      ↪ LineWidth=1)
77 legend('Explicit beräkningar, ode23s','Sannt parametervärde')
78 title('Original','FontSize',14)
79 ylim([min_org-max_org/3,max_org*1.3])
80 xlabel('Dagar','FontSize',12,'FontWeight','bold')
81 ylabel('Parametervärde','FontSize',12,'FontWeight','bold')
82 hold on
83 %ylim([-5*10^-8 10^-7]) %För paramteter 5
84
85
86 fontsize(16,"points")
87
88 %%
89
90
91
92 figure('name','Chebyshev')
93
94 subplot(2,1,1)
95 plot(time_mesh(2:end-1),alpha_exp_23s,'-*','MarkerSize',12,'
      ↪ MarkerIndices',1:20:length(time_mesh),'Color',gron,
      ↪ LineWidth=1)
96 hold on
97 plot(time_mesh(2:end-1),alpha_exp_Newton,'-o','MarkerSize',12,'
      ↪ MarkerIndices',1:20:length(time_mesh),'Color',orange,
      ↪ LineWidth=1)
98 hold on
99 plot(time_mesh(2:end-1),alpha_exp_45,'-S','MarkerSize',12,'
      ↪ MarkerIndices',1:20:length(time_mesh),'Color',lila,LineWidth
      ↪ =1)
100 hold on
101 plot([0 20],[alpha(alpha_unknown) alpha(alpha_unknown)], 'r--',
      ↪ LineWidth=1)
102 legend('Explicit beräkning, ode23s','Explicit beräkning, Newton',
      ↪ 'Explicit beräkning, ode45','Sannt parametervärde')
103 title('Förenklad','FontSize',14)
104 ylim([min_mod-max_mod/3,max_mod*1.3])
105 xlabel('Dagar','FontSize',12,'FontWeight','bold')
106 ylabel('Parametervärde','FontSize',12,'FontWeight','bold')
107 ylim([-5*10^-8 10^-7]) %För paramteter 5
108
109

```

```

110 subplot(2,1,2)
111 plot(time_mesh(2:end-1),alpha_exp_23s_org,'-*','MarkerSize',12,'
    ↳ MarkerIndices',1:20:length(time_mesh),'Color',gron,
    ↳ LineWidth=1)
112 hold on
113 plot(time_mesh(2:end-1),alpha_exp_Newton_org,'-o','MarkerSize',12,
    ↳ 'MarkerIndices',1:20:length(time_mesh),'Color',orange,
    ↳ LineWidth=1)
114 hold on
115 plot(time_mesh(2:end-1),alpha_exp_45_org,'-S','MarkerSize',12,'
    ↳ MarkerIndices',1:20:length(time_mesh),'Color',lila,LineWidth
    ↳ =1)
116 hold on
117 plot([0 20],[alpha(alpha_unknown) alpha(alpha_unknown)],'r--',
    ↳ LineWidth=1)
118 legend('Explicit beräkning, ode23s','Explicit beräkning, Newton',
    ↳ 'Explicit beräkning, ode45','Sannt parametervärde')
119 title('Original','FontSize',14)
120 ylim([min_org-max_org/3,max_org*1.3])
121 xlabel('Dagar','FontSize',12,'FontWeight','bold')
122 ylabel('Parametervärde','FontSize',12,'FontWeight','bold')
123 ylim([-5*10^-8 10^-7]) %För paramteter 5
124
125 fontsize(16,"points")
126
127 %%
128 figure
129
130
131 plot(time_mesh,x_23s(1,:),'-*','MarkerSize',12,'MarkerIndices'
    ↳ ,1:20:length(time_mesh),'Color',gron,LineWidth=1);
132 hold on
133 plot( time_mesh,x_23s(2,:),'-o','MarkerSize',12,'MarkerIndices'
    ↳ ,1:20:length(time_mesh),'Color',orange,LineWidth=1);
134 hold on
135 plot(time_mesh,x_23s(3,:),'-S','MarkerSize',12,'MarkerIndices'
    ↳ ,1:20:length(time_mesh),'Color',lila,LineWidth=1);
136 hold on
137 legend('x_T', 'x_{M1}', 'x_{M2}');
138 xlabel('Dagar','FontSize',12,'FontWeight','bold');
139 ylabel('Densitet, [celler]','FontSize',12,'FontWeight','bold')
140
141 fontsize(16,"points")
142
143 %%
144 function alpha = alpha_vec(dm1,dm2,at1,at2,k12,time_mesh)
145 scaling_factor_dm1 = dm1;
146 scaling_factor_dm2 = dm2;
147 scaling_factor_at1 = at1;
148 scaling_factor_at2 = at2;
149 scaling_factor_k12 = k12;
150
151 function_flag = 0; % constant
152
153 exact_dm1 = ExactParameter(scaling_factor_dm1,function_flag,
    ↳ time_mesh); %Exact profile for dm1 to produce data.

```

```

154 exact_dm2 = ExactParameter(scaling_factor_dm2,function_flag ,
    ↪ time_mesh); %Exact profile for dm2 to produce data.
155 exact_at1 = ExactParameter(scaling_factor_at1,function_flag ,
    ↪ time_mesh); %Exact profile for at1 to produce data.
156 exact_at2 = ExactParameter(scaling_factor_at2,function_flag ,
    ↪ time_mesh); %Exact profile for at2 to produce data.
157 exact_k12 = ExactParameter(scaling_factor_k12,function_flag ,
    ↪ time_mesh); %Exact profile for k12 to produce data.
158
159 alpha = [exact_dm1; exact_dm2; exact_at1; exact_at2; exact_k12];
160
161 end

```

mod_test_alpha_exp_Chebyshev.m

```

1 clc; close all; clear all;
2
3 t_min=0;t_max=20; m=500; x_initial =[5*10^6; 10^3; 10^3];%För att
    ↪ ha startvärden nära ett steady state sätt in
    ↪ [3.1298490038*10^9; 10^-5; 402531911.894];
4 time_mesh =[];
5 for k = 1:m
6     time_mesh(end+1) = -(t_max-t_min)/2*cos((2*k-1)*pi/(2*m)) + (
    ↪ t_max+t_min)/2;
7 end
8
9
10 alpha = [10^-11 10^-12 10^-10 10^-12 10^-12]*100;
11 alpha_1=alpha_vec(alpha(1),alpha(2),alpha(3),alpha(4),alpha(5),
    ↪ time_mesh);
12 x_23s = ForwardODE23s(alpha_1,time_mesh,x_initial);
13 x_Newton = ForwardNewton(alpha_1,time_mesh,x_initial);
14 x_45 = ForwardODE45(alpha_1,time_mesh,x_initial);
15 t_plot = [1:500];
16
17
18 gron = [102,194,165]/255;
19 orange = [252,141,98]/255;
20 lila = [141,160,203]/255;
21
22 alpha_unknown=4;
23 alpha_exp_23s=mod_calculate_alpha_exp(alpha,alpha_unknown,x_23s ,
    ↪ t_min,t_max);
24 alpha_exp_Newton=mod_calculate_alpha_exp(alpha,alpha_unknown ,
    ↪ x_Newton,t_min,t_max);
25 alpha_exp_45=mod_calculate_alpha_exp(alpha,alpha_unknown,x_45,t_min
    ↪ ,t_max);
26
27 %orginal
28 alpha_exp_23s_org=calculate_alpha_exp(alpha,alpha_unknown,x_23s ,
    ↪ t_min,t_max);
29 alpha_exp_Newton_org=calculate_alpha_exp(alpha,alpha_unknown ,
    ↪ x_Newton,t_min,t_max);
30 alpha_exp_45_org=calculate_alpha_exp(alpha,alpha_unknown,x_45,t_min
    ↪ ,t_max);

```

```

31
32 max_45_org = max(alpha_exp_45_org);
33 max_Newton_org = max(alpha_exp_Newton_org);
34 max_23s_org = max(alpha_exp_23s_org);
35
36 max_45_mod = max(alpha_exp_45);
37 max_Newton_mod = max(alpha_exp_Newton);
38 max_23s_mod = max(alpha_exp_23s);
39
40
41 max_org = max([max_45_org max_Newton_org max_23s_org]);
42 max_mod = max([max_45_mod max_Newton_mod max_23s_mod]);
43
44 min_45_org = min(alpha_exp_45_org);
45 min_Newton_org = min(alpha_exp_Newton_org);
46 min_23s_org = min(alpha_exp_23s_org);
47
48 min_45_mod= min(alpha_exp_45);
49 min_Newton_mod = min(alpha_exp_Newton);
50 min_23s_mod = min(alpha_exp_23s);
51
52 min_org = min([min_45_org min_Newton_org min_23s_org]);
53 min_mod = min([min_45_mod min_Newton_mod min_23s_mod]);
54
55 figure('name','Chebyshev')
56 subplot(2,2,1)
57 plot(time_mesh(2:end-1),alpha_exp_23s,'color',gron,LineWidth=2)
58 hold on
59 plot(time_mesh(2:end-1),alpha_exp_Newton,'color',orange,LineWidth
    ↪ =2)
60 hold on
61 plot(time_mesh(2:end-1),alpha_exp_45,'color',lila,LineWidth=2)
62 hold on
63 plot([0 20],[alpha(alpha_unknown) alpha(alpha_unknown)],'r--',
    ↪ LineWidth=1)
64 legend('Explicit beräkning, ode23s','Explicit beräkning, Newton',
    ↪ 'Explicit beräkning, ode45','Sannt parametervärde')
65 title('Förenklad')
66 ylim([min_mod-max_mod/3,max_mod*1.3])
67 subplot(2,2,2)
68 plot(time_mesh(2:end-1),log10(alpha_exp_23s),'color',gron,
    ↪ LineWidth=2)
69 hold on
70 plot(time_mesh(2:end-1),log10(alpha_exp_Newton),'color',orange,
    ↪ LineWidth=2)
71 hold on
72 plot(time_mesh(2:end-1),log10(alpha_exp_45),'color',lila,LineWidth
    ↪ =2)
73 hold on
74 plot([0 20],[log10(alpha(alpha_unknown)) log10(alpha(alpha_unknown)
    ↪ )], 'r--',LineWidth=1)
75 legend('Explicit beräkning i logaritmisk skala, ode23s','Explicit
    ↪ beräkning i logaritmisk skala, Newton', 'Explicit beräkning
    ↪ i logaritmisk skala, ode45','Sannt parametervärde')
76 title('Förenklad, logaritmisk skala')
77

```

```

78 subplot(2,2,3)
79 plot(time_mesh(2:end-1),alpha_exp_23s_org,'color',gron,LineWidth=2)
80 hold on
81 plot(time_mesh(2:end-1),alpha_exp_Newton_org,'color',orange,
      ↪ LineWidth=2)
82 hold on
83 plot(time_mesh(2:end-1),alpha_exp_45_org,'color',lila,LineWidth=2)
84 hold on
85 plot([0 20],[alpha(alpha_unknown) alpha(alpha_unknown)], 'r--',
      ↪ LineWidth=1)
86 legend('Explicit beräkning, ode23s','Explicit beräkning, Newton' ,
      ↪ 'Explicit beräkning, ode45','Sannt parametervärde')
87 title('Original','FontSize',14)
88 ylim([min_org-max_org/3,max_org*1.3])
89 xlabel('Dagar','FontSize',12,'FontWeight','bold')
90 ylabel('Parametervärde','FontSize',12,'FontWeight','bold')
91
92 subplot(2,2,4)
93 plot(time_mesh(2:end-1),log10(alpha_exp_23s_org),'color', gron,
      ↪ LineWidth=2)
94 hold on
95 plot(time_mesh(2:end-1),log10(alpha_exp_Newton_org),'color',orange,
      ↪ LineWidth=2)
96 hold on
97 plot(time_mesh(2:end-1),log10(alpha_exp_45_org),'color',lila,
      ↪ LineWidth=2)
98 hold on
99 plot([0 20],[log10(alpha(alpha_unknown)) log10(alpha(alpha_unknown)
      ↪ )], 'r--',LineWidth=1)
100 legend('Explicit beräkning i logaritmisk skala, ode23s','Explicit
      ↪ beräkning i logaritmisk skala, Newton' , 'Explicit beräkning
      ↪ i logaritmisk skala, ode45','Sannt parametervärde')
101 title('Original','FontSize',14)
102 ylim([min_org-max_org/3,max_org*1.3])
103 xlabel('Dagar','FontSize',12,'FontWeight','bold')
104 ylabel('Parametervärde','FontSize',12,'FontWeight','bold')
105 hold on
106
107
108
109 %%
110 figure
111
112
113 plot(time_mesh,x_45(1,:), 'r');
114 hold on
115 plot( time_mesh,x_45(2,:), 'g');
116 hold on
117 plot(time_mesh,x_45(3,:), 'b');
118 hold on
119 legend('x_T', 'x_{M1}', 'x_{M2}');
120 xlabel('Mätpunkt');
121 ylabel('Densitet')
122
123
124

```

```

125 %%
126 function alpha = alpha_vec(dm1, dm2, at1, at2, k12, time_mesh)
127 scaling_factor_dm1 = dm1;
128 scaling_factor_dm2 = dm2;
129 scaling_factor_at1 = at1;
130 scaling_factor_at2 = at2;
131 scaling_factor_k12 = k12;
132
133 function_flag = 0; % constant
134
135 exact_dm1 = ExactParameter(scaling_factor_dm1, function_flag,
    ↪ time_mesh); %Exact profile for dm1 to produce data.
136 exact_dm2 = ExactParameter(scaling_factor_dm2, function_flag,
    ↪ time_mesh); %Exact profile for dm2 to produce data.
137 exact_at1 = ExactParameter(scaling_factor_at1, function_flag,
    ↪ time_mesh); %Exact profile for at1 to produce data.
138 exact_at2 = ExactParameter(scaling_factor_at2, function_flag,
    ↪ time_mesh); %Exact profile for at2 to produce data.
139 exact_k12 = ExactParameter(scaling_factor_k12, function_flag,
    ↪ time_mesh); %Exact profile for k12 to produce data.
140
141 alpha = [exact_dm1; exact_dm2; exact_at1; exact_at2; exact_k12];
142
143 end

```

mod_test_alpha_exp_delar.m

```

1 clc; close all; clear all;
2
3 t_min=0;t_max=20; m=500; x_initial =[5*10-6; 10-3; 10-3];%0m startv
    ↪ ärden ska ligga nära ett steady state, sätt in
    ↪ [3.1298490038*10-9; 10-5; 402531911.894];
4 time_mesh=linspace(t_min,t_max,m);
5 alpha = [10-11 10-12 10-10 10-12 10-12]*100;
6 alpha_1=alpha_vec(alpha(1), alpha(2), alpha(3), alpha(4), alpha(5),
    ↪ time_mesh);
7 x_23s = ForwardODE23s(alpha_1, time_mesh, x_initial);
8 x_Newton = ForwardNewton(alpha_1, time_mesh, x_initial);
9 x_45 = ForwardODE45(alpha_1, time_mesh, x_initial);
10 t_plot = [1:500];
11
12
13 gron = [102,194,165]/255;
14 orange = [252,141,98]/255;
15 lila = [141,160,203]/255;
16
17 alpha_unknown=5;
18 %modifierad, hela
19 alpha_exp_23s=mod_calculate_alpha_exp(alpha, alpha_unknown, x_23s,
    ↪ t_min, t_max);
20 alpha_exp_Newton=mod_calculate_alpha_exp(alpha, alpha_unknown,
    ↪ x_Newton, t_min, t_max);
21 alpha_exp_45=mod_calculate_alpha_exp(alpha, alpha_unknown, x_45, t_min
    ↪ , t_max);
22

```

```

23
24 %modifierad, del 1 dvs  $dm^2 \cdot x_{M2}/x_{M1}$  är borttaget
25 alpha_exp_23s_del1=mod_calculate_alpha_exp_del1(alpha, alpha_unknown
    ↪ , x_23s, t_min, t_max);
26 alpha_exp_Newton_del1=mod_calculate_alpha_exp_del1(alpha,
    ↪ alpha_unknown, x_Newton, t_min, t_max);
27 alpha_exp_45_del1=mod_calculate_alpha_exp_del1(alpha, alpha_unknown,
    ↪ x_45, t_min, t_max);
28
29 %modifierad, del 2
30 alpha_exp_23s_del2=mod_calculate_alpha_exp_del2(alpha, alpha_unknown
    ↪ , x_23s, t_min, t_max);
31 alpha_exp_Newton_del2=mod_calculate_alpha_exp_del2(alpha,
    ↪ alpha_unknown, x_Newton, t_min, t_max);
32 alpha_exp_45_del2=mod_calculate_alpha_exp_del2(alpha, alpha_unknown,
    ↪ x_45, t_min, t_max);
33
34 %modifierad, del 3
35 alpha_exp_23s_del3=mod_calculate_alpha_exp_del3(alpha, alpha_unknown
    ↪ , x_23s, t_min, t_max);
36 alpha_exp_Newton_del3=mod_calculate_alpha_exp_del3(alpha,
    ↪ alpha_unknown, x_Newton, t_min, t_max);
37 alpha_exp_45_del3=mod_calculate_alpha_exp_del3(alpha, alpha_unknown,
    ↪ x_45, t_min, t_max);
38
39 figure
40 subplot(2,1,1)
41 plot(time_mesh(2:end-1), alpha_exp_23s, '-*', 'MarkerSize', 12, '
    ↪ MarkerIndices', 1:20:length(time_mesh), 'Color', gron,
    ↪ LineWidth=1)
42 hold on
43 plot(time_mesh(2:end-1), alpha_exp_Newton, '-o', 'MarkerSize', 12, '
    ↪ MarkerIndices', 1:20:length(time_mesh), 'Color', orange,
    ↪ LineWidth=1)
44 hold on
45 plot(time_mesh(2:end-1), alpha_exp_45, '-S', 'MarkerSize', 12, '
    ↪ MarkerIndices', 1:20:length(time_mesh), 'Color', lila, LineWidth
    ↪ =1)
46 hold on
47 plot([0 20], [alpha(alpha_unknown) alpha(alpha_unknown)], 'r--',
    ↪ LineWidth=1)
48 legend('Explicit calculation, ode23s', 'Explicit calculation, Newton
    ↪ ', 'Explicit calculation, ode45', 'True value of parameter')
49 title('Förenklad, hela')
50 xlabel('Dagar', 'FontSize', 12, 'FontWeight', 'bold');
51 ylabel('Parametervärde', 'FontSize', 12, 'FontWeight', 'bold')
52
53
54 subplot(2,1,2)
55 plot(time_mesh(2:end-1), alpha_exp_23s_del1, '-*', 'MarkerSize', 12, '
    ↪ MarkerIndices', 1:20:length(time_mesh), 'Color', gron,
    ↪ LineWidth=1)
56 hold on
57 plot(time_mesh(2:end-1), alpha_exp_Newton_del1, '-o', 'MarkerSize', 12,
    ↪ 'MarkerIndices', 1:20:length(time_mesh), 'Color', orange,
    ↪ LineWidth=1)

```



```

58 hold on
59 plot(time_mesh(2:end-1),alpha_exp_45_del1,'-S','MarkerSize',12,'
    ↳ MarkerIndices',1:20:length(time_mesh),'Color',lila,LineWidth
    ↳ =1)
60 hold on
61 plot([0 20],[alpha(alpha_unknown) alpha(alpha_unknown)], 'r--',
    ↳ LineWidth=1)
62 legend('Explicit calculation, ode23s','Explicit calculation, Newton
    ↳ ', 'Explicit calculation, ode45','True value of parameter')
63 title('Förenklad, del 1 borta')
64 xlabel('Dagar','FontSize',12,'FontWeight','bold');
65 ylabel('Parametervärde','FontSize',12,'FontWeight','bold')
66 fontsize(16,"points")
67
68
69 figure
70 subplot(2,1,1)
71 plot(time_mesh(2:end-1),alpha_exp_23s_del2,'-*','MarkerSize',12,'
    ↳ MarkerIndices',1:20:length(time_mesh), 'Color',gron,
    ↳ LineWidth=1)
72 hold on
73 plot(time_mesh(2:end-1),alpha_exp_Newton_del2,'-o','MarkerSize',12,
    ↳ 'MarkerIndices',1:20:length(time_mesh),'Color',orange,
    ↳ LineWidth=1)
74 hold on
75 plot(time_mesh(2:end-1),alpha_exp_45_del2,'-S','MarkerSize',12,'
    ↳ MarkerIndices',1:20:length(time_mesh),'Color',lila,LineWidth
    ↳ =1)
76 hold on
77 plot([0 20],[alpha(alpha_unknown) alpha(alpha_unknown)], 'r--',
    ↳ LineWidth=1)
78 legend('Explicit calculation, ode23s','Explicit calculation, Newton
    ↳ ', 'Explicit calculation, ode45','True value of parameter')
79 title('Förenklad, del 2 borta')
80 xlabel('Dagar','FontSize',12,'FontWeight','bold');
81 ylabel('Parametervärde','FontSize',12,'FontWeight','bold')
82
83 subplot(2,1,2)
84 plot(time_mesh(2:end-1),alpha_exp_23s_del3,'-*','MarkerSize',12,'
    ↳ MarkerIndices',1:20:length(time_mesh), 'Color',gron,
    ↳ LineWidth=1)
85 hold on
86 plot(time_mesh(2:end-1),alpha_exp_Newton_del3,'-o','MarkerSize',12,
    ↳ 'MarkerIndices',1:20:length(time_mesh),'Color',orange,
    ↳ LineWidth=1)
87 hold on
88 plot(time_mesh(2:end-1),alpha_exp_45_del3,'-S','MarkerSize',12,'
    ↳ MarkerIndices',1:20:length(time_mesh),'Color',lila,LineWidth
    ↳ =1)
89 hold on
90 plot([0 20],[alpha(alpha_unknown) alpha(alpha_unknown)], 'r--',
    ↳ LineWidth=1)
91 legend('Explicit calculation, ode23s','Explicit calculation, Newton
    ↳ ', 'Explicit calculation, ode45','True value of parameter')
92 title('Förenklad, del 3 borta')
93 xlabel('Dagar','FontSize',12,'FontWeight','bold');

```

```

94 ylabel('Parametervärde','FontSize',12,'FontWeight','bold')
95
96 hold on
97
98 fontsize(16,"points")
99 %%
100 figure
101 plot(time_mesh,x_45(1,:), 'r');
102 hold on
103 plot( time_mesh,x_45(2,:), 'g');
104 hold on
105 plot(time_mesh,x_45(3,:), 'b');
106 hold on
107 legend('x_T', 'x_{M1}', 'x_{M2}');
108 xlabel('Mät punkt');
109 ylabel('Densitet')
110
111
112 %%
113 function alpha = alpha_vec(dm1, dm2, at1, at2, k12, time_mesh)
114 scaling_factor_dm1 = dm1;
115 scaling_factor_dm2 = dm2;
116 scaling_factor_at1 = at1;
117 scaling_factor_at2 = at2;
118 scaling_factor_k12 = k12;
119
120 function_flag = 0; % constant
121
122 exact_dm1 = ExactParameter(scaling_factor_dm1, function_flag,
    ↪ time_mesh); %Exact profile for dm1 to produce data.
123 exact_dm2 = ExactParameter(scaling_factor_dm2, function_flag,
    ↪ time_mesh); %Exact profile for dm2 to produce data.
124 exact_at1 = ExactParameter(scaling_factor_at1, function_flag,
    ↪ time_mesh); %Exact profile for at1 to produce data.
125 exact_at2 = ExactParameter(scaling_factor_at2, function_flag,
    ↪ time_mesh); %Exact profile for at2 to produce data.
126 exact_k12 = ExactParameter(scaling_factor_k12, function_flag,
    ↪ time_mesh); %Exact profile for k12 to produce data.
127
128 alpha = [exact_dm1; exact_dm2; exact_at1; exact_at2; exact_k12];
129
130 end

```

mod_test_alpha_exp.m

```

1 clc; close all; clear all;
2
3 t_min=0;t_max=20; m=500; x_initial =[5*10^6; 10^3; 10^3];%För att
    ↪ ha startvärden nära ett steady state sätt in
    ↪ [3.1298490038*10^9; 10^-5; 402531911.894];
4 time_mesh=linspace(t_min,t_max,m);
5 alpha = [10^-11 10^-12 10^-10 10^-12 10^-12]*100;
6 alpha_1=alpha_vec(alpha(1),alpha(2),alpha(3),alpha(4),alpha(5),
    ↪ time_mesh);
7 x_23s = ForwardODE23s(alpha_1,time_mesh,x_initial);

```

```

8 x_Newton = ForwardNewton(alpha_1,time_mesh,x_initial);
9 x_45 = ForwardODE45(alpha_1,time_mesh,x_initial);
10 t_plot = [1:500];
11
12 gron = [102,194,165]/255;
13 orange = [252,141,98]/255;
14 lila = [141,160,203]/255;
15
16 alpha_unknown=1;
17 alpha_exp_23s=mod_calculate_alpha_exp(alpha,alpha_unknown,x_23s,
    ↪ t_min,t_max);
18 alpha_exp_Newton=mod_calculate_alpha_exp(alpha,alpha_unknown,
    ↪ x_Newton,t_min,t_max);
19 alpha_exp_45=mod_calculate_alpha_exp(alpha,alpha_unknown,x_45,t_min
    ↪ ,t_max);
20
21 %original
22 alpha_exp_23s_org=calculate_alpha_exp(alpha,alpha_unknown,x_23s,
    ↪ t_min,t_max);
23 alpha_exp_Newton_org=calculate_alpha_exp(alpha,alpha_unknown,
    ↪ x_Newton,t_min,t_max);
24 alpha_exp_45_org=calculate_alpha_exp(alpha,alpha_unknown,x_45,t_min
    ↪ ,t_max);
25
26
27 figure('name','Vanlig')
28 subplot(2,1,1)
29 plot(time_mesh(2:end-1),alpha_exp_23s,'-*','MarkerSize',12,'
    ↪ MarkerIndices',1:20:length(time_mesh),'Color',gron,
    ↪ LineWidth=1)
30 hold on
31 plot(time_mesh(2:end-1),alpha_exp_Newton,'-o','MarkerSize',12,'
    ↪ MarkerIndices',1:20:length(time_mesh),'Color',orange,
    ↪ LineWidth=1)
32 hold on
33 plot(time_mesh(2:end-1),alpha_exp_45,'-S','MarkerSize',12,'
    ↪ MarkerIndices',1:20:length(time_mesh),'Color',lila,LineWidth
    ↪ =1)
34 hold on
35 plot([0 20],[alpha(alpha_unknown) alpha(alpha_unknown)],'r--',
    ↪ LineWidth=1)
36 legend('Explicit beräkning, ode23s','Explicit beräkning, Newton',
    ↪ 'Explicit beräkning, ode45','Sannt parametervärde')
37 title('Förenklad')
38
39 %subplot(2,2,2)
40 %plot(time_mesh(2:end-1),log10(alpha_exp_23s),'color',gron,
    ↪ LineWidth=1.5)
41 %hold on
42 %plot(time_mesh(2:end-1),log10(alpha_exp_Newton),'color',orange,
    ↪ LineWidth=1.5)
43 %hold on
44 %plot(time_mesh(2:end-1),log10(alpha_exp_45),'color',lila,
    ↪ LineWidth=1.5)
45 %hold on
46 %plot([0 20],[log10(alpha(alpha_unknown)) log10(alpha(alpha_unknown

```

```

    ↪ )]], 'r--')
47 %legend('Logarithm of explicit calculation, ode23s','Logarithm of
    ↪ explicit calculation, Newton' , 'Logarithm of explicit
    ↪ calculation, ode45','True value of parameter')
48 %title('Modifierad, logaritmisk skala')
49
50 subplot(2,1,2)
51 plot(time_mesh(2:end-1),alpha_exp_23s_org, '-*', 'MarkerSize',12, '
    ↪ MarkerIndices',1:20:length(time_mesh), 'Color',gron,
    ↪ LineWidth=1)
52 hold on
53 hold on
54 plot(time_mesh(2:end-1),alpha_exp_Newton_org, '-o', 'MarkerSize',12, '
    ↪ MarkerIndices',1:20:length(time_mesh), 'Color',orange,
    ↪ LineWidth=1)
55 hold on
56 plot(time_mesh(2:end-1),alpha_exp_45_org, '-S', 'MarkerSize',12, '
    ↪ MarkerIndices',1:20:length(time_mesh), 'Color',lila,LineWidth
    ↪ =1)
57 hold on
58 plot([0 20],[alpha(alpha_unknown) alpha(alpha_unknown)], 'r--',
    ↪ LineWidth=1)
59 legend('Explicit beräkning, ode23s','Explicit beräkning, Newton' ,
    ↪ 'Explicit beräkning, ode45','Sannt parametervärde')
60 title('Original','FontSize',14)
61 xlabel('Dagar','FontSize',12,'FontWeight','bold')
62 ylabel('Parametervärde','FontSize',12,'FontWeight','bold')
63
64
65 fontsize(16,"points")
66
67 %subplot(2,2,4)
68 %plot(time_mesh(2:end-1),log10(alpha_exp_23s_org), 'color',gron,
    ↪ LineWidth=1.5)
69 %hold on
70 %plot(time_mesh(2:end-1),log10(alpha_exp_Newton_org), 'color',
    ↪ orange,LineWidth=1.5)
71 %hold on
72 %plot(time_mesh(2:end-1),log10(alpha_exp_45_org), 'color',lila,
    ↪ LineWidth=1.5)
73 %hold on
74 %plot([0 20],[log10(alpha(alpha_unknown)) log10(alpha(alpha_unknown
    ↪ ))]], 'r--')
75 %legend('Logarithm of explicit calculation, ode23s','Logarithm of
    ↪ explicit calculation, Newton' , 'Logarithm of explicit
    ↪ calculation, ode45','True value of parameter')
76 %title('Original, logaritmisk skala')
77
78 %%
79 figure
80
81
82 plot(time_mesh,x_23s(1,:), '-*', 'MarkerSize',12, 'MarkerIndices'
    ↪ ,1:20:length(time_mesh), 'Color',gron, LineWidth=1);
83 hold on
84 plot( time_mesh,x_23s(2,:), '-o', 'MarkerSize',12, 'MarkerIndices'

```

```

    ↪ ,1:20:length(time_mesh), 'Color', orange, LineWidth=1);
85 hold on
86 plot(time_mesh, x_23s(3,:), '-S', 'MarkerSize', 12, 'MarkerIndices'
    ↪ ,1:20:length(time_mesh), 'Color', lila, LineWidth=1);
87 hold on
88 legend('x_T', 'x_{M1}', 'x_{M2}');
89 xlabel('Dagar', 'FontSize', 12, 'FontWeight', 'bold');
90 ylabel('Densitet', 'FontSize', 12, 'FontWeight', 'bold')
91
92 fontsize(16, "points")
93
94
95
96 %%
97 function alpha = alpha_vec(dm1, dm2, at1, at2, k12, time_mesh)
98 scaling_factor_dm1 = dm1;
99 scaling_factor_dm2 = dm2;
100 scaling_factor_at1 = at1;
101 scaling_factor_at2 = at2;
102 scaling_factor_k12 = k12;
103
104 function_flag = 0; % constant
105
106 exact_dm1 = ExactParameter(scaling_factor_dm1, function_flag,
    ↪ time_mesh); %Exact profile for dm1 to produce data.
107 exact_dm2 = ExactParameter(scaling_factor_dm2, function_flag,
    ↪ time_mesh); %Exact profile for dm2 to produce data.
108 exact_at1 = ExactParameter(scaling_factor_at1, function_flag,
    ↪ time_mesh); %Exact profile for at1 to produce data.
109 exact_at2 = ExactParameter(scaling_factor_at2, function_flag,
    ↪ time_mesh); %Exact profile for at2 to produce data.
110 exact_k12 = ExactParameter(scaling_factor_k12, function_flag,
    ↪ time_mesh); %Exact profile for k12 to produce data.
111
112 alpha = [exact_dm1; exact_dm2; exact_at1; exact_at2; exact_k12];
113
114
115 end

```

mod_test1_alpha_exp_ode23s.m

```

1 clc; close all; clear all;
2
3 t_min=0; t_max=20; m=500; x_initial = [5*10^6; 10^3; 10^3]; %För att
    ↪ ha startvärden nära ett steady state sätt in
    ↪ [3.1298490038*10^9; 10^-5; 402531911.894];
4 time_mesh=linspace(t_min, t_max, m);
5 alpha = [10^-11 10^-12 10^-10 10^-12 10^-12]*100; %[1,1,1,1,1];%
6 alpha_1=alpha_vec(alpha(1), alpha(2), alpha(3), alpha(4), alpha(5),
    ↪ time_mesh);
7 x_23s = ForwardODE23s(alpha_1, time_mesh, x_initial);
8 t_plot = [1:500];
9
10 gron = [102, 194, 165]/255;
11 orange = [252, 141, 98]/255;

```

```

12 lila = [141,160,203]/255;
13
14 alpha_unknown=2;
15
16 %modifierad
17 alpha_exp_23s=mod_calculate_alpha_exp(alpha,alpha_unknown,x_23s,
    ↪ t_min,t_max);
18 alpha_exp_23s_T = alpha_exp_23s';
19 alpha_mod_medel = mean(alpha_exp_23s_T([250:498]))
20
21
22 %original
23 alpha_exp_23s_org=calculate_alpha_exp(alpha,alpha_unknown,x_23s,
    ↪ t_min,t_max);
24 alpha_exp_23s_org_T = alpha_exp_23s_org';
25 alpha_mod_medel = mean(alpha_exp_23s_org_T([250:498]))
26
27 figure('name','Vanlig')
28 subplot(2,1,1)
29 plot(time_mesh(2:end-1),alpha_exp_23s,'color',gron,LineWidth=2)
30 hold on
31 plot([0 20],[alpha(alpha_unknown) alpha(alpha_unknown)],'r--',
    ↪ LineWidth=1)
32 legend('Explicit beräkningar, ode23s','Sannt parametervärde')
33 title('Förenklad','FontSize',14)
34 xlabel('Dagar','FontSize',12,'FontWeight','bold')
35 ylabel('Parametervärde','FontSize',12,'FontWeight','bold')
36
37
38 subplot(2,1,2)
39 plot(time_mesh(2:end-1),alpha_exp_23s_org,'color',gron,LineWidth
    ↪ =2)
40 hold on
41 plot([0 20],[alpha(alpha_unknown) alpha(alpha_unknown)],'r--',
    ↪ LineWidth=1)
42 legend('Explicit beräkningar, ode23s','Sannt parametervärde')
43 title('Original','FontSize',14)
44 xlabel('Dagar','FontSize',12,'FontWeight','bold')
45 ylabel('Parametervärde','FontSize',12,'FontWeight','bold')
46
47 fontsize(16,"points")
48
49 %%
50 figure
51
52
53 plot(time_mesh,x_23s(1,:),'-*','MarkerSize',12,'MarkerIndices'
    ↪ ,1:20:length(time_mesh),'Color',gron,LineWidth=1);
54 hold on
55 plot( time_mesh,x_23s(2,:),'-o','MarkerSize',12,'MarkerIndices'
    ↪ ,1:20:length(time_mesh),'Color',orange,LineWidth=1);
56 hold on
57 plot(time_mesh,x_23s(3,:),'-S','MarkerSize',12,'MarkerIndices'
    ↪ ,1:20:length(time_mesh),'Color',lila,LineWidth=1);
58 hold on
59 legend('x_T', 'x_{M1}', 'x_{M2}');

```

```

60 xlabel('Dagar', 'FontSize', 12, 'FontWeight', 'bold');
61 ylabel('Densitet, [celler]', 'FontSize', 12, 'FontWeight', 'bold')
62
63 fontsize(16, "points")
64 %%
65 function alpha = alpha_vec(dm1, dm2, at1, at2, k12, time_mesh)
66 scaling_factor_dm1 = dm1;
67 scaling_factor_dm2 = dm2;
68 scaling_factor_at1 = at1;
69 scaling_factor_at2 = at2;
70 scaling_factor_k12 = k12;
71
72 function_flag = 0; % constant
73
74 exact_dm1 = ExactParameter(scaling_factor_dm1, function_flag,
    ↪ time_mesh); %Exact profile for dm1 to produce data.
75 exact_dm2 = ExactParameter(scaling_factor_dm2, function_flag,
    ↪ time_mesh); %Exact profile for dm2 to produce data.
76 exact_at1 = ExactParameter(scaling_factor_at1, function_flag,
    ↪ time_mesh); %Exact profile for at1 to produce data.
77 exact_at2 = ExactParameter(scaling_factor_at2, function_flag,
    ↪ time_mesh); %Exact profile for at2 to produce data.
78 exact_k12 = ExactParameter(scaling_factor_k12, function_flag,
    ↪ time_mesh); %Exact profile for k12 to produce data.
79
80 alpha = [exact_dm1; exact_dm2; exact_at1; exact_at2; exact_k12];
81 end

```

solver_adapt.m

```

1 %% Specify fixed parameter values.
2 clear all
3 close all
4 clc
5 %Time parameters
    ↪ -----
6 final_time = 20;
7 %obs_start = 100; %Starting time for observations of
    ↪ true solution.
8 obs_start = 0;
9 obs_end = 20; %End time for observations of true
    ↪ solution.
10 %Parameters from the model problem
    ↪ -----
11
12
13 dm1=10^-11;
14 dm2 =10^-12;
15 at1 =10^-10;
16 at2 =10^-12;
17 k12=10^-12;
18
19 %Optimization parameters
    ↪ -----
20 gamma_start =10^(-11); %Initial value of regularization

```

```

    ↪ parameter.
21 opt_step_length = 0.001; %Step length in optimization algorithm.
22 optim_maxiter = 500; %Maximum iterations of optimization alg.
23 %Noise
    ↪ -----
    ↪
24 noise_level = 0.01; %Noise level of observations.
25 %noise_level = 0.1; %Noise level of observations.
26 noise_flag = 1; % 0 = no noise, 1 = random noise, 2 =
    ↪ additive noise.
27
28 % Create initial time mesh, observations and starting guess for
    ↪ parameter dm1.
29 %time_mesh = 0:final_time; % will be adaptively updated.
30 m=15; %number of observations
31 time_mesh =linspace(0,final_time ,m);
32
33 refined = time_mesh;
34
35
36 %Values for scaling factors for parameters
    ↪ -----
37
38 scaling_factor_dm1 = 10^-11;
39 scaling_factor_dm2 = 10^-12;
40 scaling_factor_at1 = 10^-10;
41 scaling_factor_at2 = 10^-12;
42 scaling_factor_k12 = 10^-12;
43
44
45 function_flag = 0; %dm1(t) = scaling_factor*function
46 %function flag can be between 1 and 4, determines model function
    ↪ which should be reconstructed
47 %Function flag: 0. const. 1. +linear 2. -linear 3. sin 4. exp(-x)
48 %NB! For now, we will specify these values inside the time-adaptive
    ↪ loop
49
50 %instad.
51 %They will be moved back here at a later stage.
52 %[dm1_guess,g] = AnalyticDm1(exact_dm1,time_mesh,obs_start,obs_end,
    ↪ noise_flag,noise_level);
53 %Input: 1. exact dm1 2. time mesh 3. observation start 4.
    ↪ observation end. 5. noise_flag. 6. noise level
54
55 % initials for forward problem
56 x_initial = [5*10^6; 10^3; 10^3];
57
58 %===== values of exact constant parameters
59
60 eps = 10^(-7);
61 % Run algorithm
62 figure
63 for meshref = 1:10 %Outer loop is for time adaptivity, will be
    ↪ replaced with while loop later.
64
65 time_mesh = refined; %

```



```

66     ↪ Our new time mesh (if mesh refinement has been made.
67     nodes = length(time_mesh);
68     %res_time= 0.1*ones(1,nodes);
69     ↪
70
71     exact_dm1 = ExactParameter(scaling_factor_dm1,function_flag,
72     ↪ time_mesh); %Exact profile for dm1 to produce data.
73     exact_dm2 = ExactParameter(scaling_factor_dm2,function_flag,
74     ↪ time_mesh); %Exact profile for dm2 to produce data.
75     exact_at1 = ExactParameter(scaling_factor_at1,function_flag,
76     ↪ time_mesh); %Exact profile for at1 to produce data.
77     exact_at2 = ExactParameter(scaling_factor_at2,function_flag,
78     ↪ time_mesh); %Exact profile for at2 to produce data.
79     exact_k12 = ExactParameter(scaling_factor_k12,function_flag,
80     ↪ time_mesh); %Exact profile for k12 to produce data.
81
82     alpha = [exact_dm1; exact_dm2; exact_at1; exact_at2; exact_k12
83     ↪ ];
84
85     %Observations and first guess for dm1.
86     ↪
87     [dm1_guess,g] = AnalyticParameter(alpha, time_mesh,obs_start,
88     ↪ obs_end,noise_flag,noise_level,x_initial);
89
90     %plot(time_mesh,dm1_guess,'o')
91     %obtain initial guess for gradient method using method of
92     ↪ normal equations
93
94     %use polynomial of degree 5 to recover noisy data via method
95     ↪ of normal equations and obtain initial guess
96     %dm1_guess=LinearClassAdapt(dm1_guess, time_mesh,m);
97     dm1_guess = LinearClassNormalEqExample2(dm1_guess,time_mesh,m);
98     dm1 = zeros(optim_maxiter,nodes); %
99     ↪ Preallocation of dm1 (for use in for-loop).
100
101
102     dm1(1,:) = dm1_guess; %
103     ↪ First guess for dm1 in first row.
104     beta = opt_step_length*ones(1,nodes); %
105     gamma = gamma_start; %
106     ↪ Restore beta and gamma.
107     big_grad = zeros(1,nodes); %
108     ↪ Preallocation of vector for adaptivity.
109     u1 = ForwardODE45(alpha,time_mesh,x_initial);
110     ↪ %Compute initial forward sol.
111     lambda1 = AdjointODE45(alpha,u1,g,time_mesh,obs_start,obs_end);
112     ↪ %Compute adjoint sol.
113
114     % u1(1,:) = X_T; u1(2,:) = X_M1; u1(3,:) = X_M2;
115
116     g0 = (lambda1(1,:).*u1(1,:).*u1(2,:)); %Compute grad
117     ↪ with respect to dm1 without reg.term
118
119
120
121
122

```

```

103     grad_hist = zeros(optim_maxiter,nodes);
104     grad_hist(1,:) = g0; %
    ↪ Save gradient for later plot.
105     if norm(g0) < 1000
106         dm1(1:end,:) = ones(length(1:optim_maxiter),1)*dm1(1,:);
    ↪ %Check if gradient is already small
107         disp('The algorithm has converged at first step!')
108         break
109     end
110     bm = 1/gamma; %
    ↪ For Conjugate Gradient algorithm.
111     gn = -g0;
112     dn = gn;
113     g0 = sign(g0);
    ↪ %Normalize gradient.
114     dm1(2,:) = dm1(1,:) + beta.*g0;
    ↪ %Compute new dm1.
115     iter = 0;
116     for i = 2:optim_maxiter-1
    ↪ %Here we start calculating dm1.
117         gamma = gamma/i^0.5;
    ↪ %Update gamma.
118         u = ForwardODE45(alpha,time_mesh,x_initial);
    ↪ %Update forward and adjoint sol.
119         lambda = AdjointODE45(alpha,u,g,time_mesh,obs_start,obs_end
    ↪ );
120
121     % update gradient for dm1 with reg.term: gamma is reg.
    ↪ parameter
122     gm = gamma*(dm1(i,:)-dm1(1,:)) + lambda1(1,:).*u1(1,:).*u1
    ↪ (2,:);
123
124     bs = (norm(gm)/norm(gn))^2;
    ↪ %For CG.
125     dm = -gm + bs*dn;
126     bm = -(gm*dn')/(gamma*(dn*dn'));
    ↪ %beta = -<g,d>/gamma<d,d>
127     grad_hist(i,:) = gm;
    ↪ %Save gradient for later plot.
128     if norm(gm) < 0.001
    ↪ %Check if gradient is small enough.
129     dm1(i+1:end,:) = ones(length(i+1:optim_maxiter),1)*dm1(
    ↪ i,:);
130     grad_hist(i+1:end,:) = ones(length(i+1:optim_maxiter)
    ↪ ,1)*grad_hist(i,:);
131     disp('The algorithm has converged!')
132     break
133     elseif 0.999999*norm(dm1(i-1,:)) < norm(dm1(i,:)) && norm(
    ↪ dm1(i,:)) < 1.000001*norm(dm1(i-1,:))
134     dm1(i+1:end,:) = ones(length(i+1:optim_maxiter),1)*dm1(
    ↪ i,:);
135     grad_hist(i+1:end,:) = ones(length(i+1:optim_maxiter)
    ↪ ,1)*grad_hist(i,:);
136     disp('Dm1 does not change!')
    ↪ %Also terminate if dm1 stabilizes.
137     break

```

```

138     %elseif norm(grad_hist(i-1,:)) < norm(grad_hist(i,:))
139     %     dm1(i+1,:) = dm1(i,:) + 0.5*bdm1.*sign(grad_hist(i,:))
↪ ;
140     %     dm1(i+2:end,:) = ones(length(i+2:optim_maxiter),1)*dm1
↪ (i+1,:);
141     %     disp('Gradient grows.')
142     %     break
143     %     %Termination if the gradient increases turned out to
↪ give
144     %     worse results, and is therefore disabled.
145     else
146     gm = sign(gm); %
↪ Otherwise, continue with line search.
147     for j = 1:nodes
148     if dm1(i,j) < 10^-9
↪ %Force dm1=0 if computed dm1 is negative.
149     dm1(i+1,j) = 10^-9;
150     elseif dm1(i,j) > 10^-3
151     dm1(i+1,j) = 10^-3;
152     elseif bm < 0.01
153     dm1(i+1,j) = dm1(i,j) + bm*gm(j); %
↪ Use conjugate gradient if appropriate.
154     else
155     if gm(j) == -gn(j) %
↪ Otherwise use fixed step length.
156     %bdm1(j) = beta(j)/2; %
↪ If gradient change sign, halve step-length.
157     beta(j) = beta(j)/2;
158     end
159     dm1(i+1,j) = dm1(i,j) - beta(j)*gm(j); %
↪ Compute new dm1 closer to the actual solution.
160     end
161     end
162     end
163     gn = gm; %Save gradient for use in the CG
↪ algorithm.
164     dn = dm;
165     iter = iter + 1;
166     end
167
168
169     iter;
170     max_grad = max(abs(grad_hist(end,:)));
171     big_grad = abs(grad_hist(end,:)) > 0.2*max_grad;
172
173     refined = []; %Start refinement of time mesh ...
174     refining = [];
175     k = 1;
176     r = 1;
177     while r < length(big_grad)
178     if big_grad(r+1) == 1 && big_grad(r) == 0
179     refined = [refined,time_mesh(k:r)];
180     end
181     if big_grad(r) == 0
182     r = r + 1;
183     if r == length(big_grad)

```

```

184         refined = [refined,time_mesh(k:r)];
185     end
186     continue
187 else
188     %j = i;
189     while big_grad(r) == 1 && r < length(time_mesh)
190         refining = [refining,time_mesh(r),(time_mesh(r)+
↪ time_mesh(r+1))/2];
191         r = r + 1;
192         if r == length(time_mesh)
193             refining = [refining,time_mesh(r)];
194         end
195     end
196     refined = [refined, refining];
197     k = r;
198 end
199 refining = [];
200 end
201
202 dm1_final = dm1(end,:);
203
204
205 %relativeerror = norm((dm1(end,:)-exact_dm1)/exact_dm1)/m;
206 relativeerror = norm((dm1(end,:)-exact_dm1)/exact_dm1);
207 reler(meshref) = relativeerror;
208
209
210 %if (meshref > 1 & relativeerror < reler(meshref-1) )
211 figure
212
213
214 plot(time_mesh,exact_dm1,'b','LineWidth',3)
215 hold on
216 plot(time_mesh,dm1_final,'-*','LineWidth',1)
217
218 title(['Calculated dm1, number of refinements: ',num2str(
↪ meshref),'number of points',num2str(m)])
219 legend('exact dm1', 'computed dm1 (CGM)')
220
221 hold off
222
223
224
225 %figure(2)
226
227 %plot(time_mesh,exact_dm1,'b','LineWidth',3)
228
229 %hold on
230
231
232 % plot(time_mesh,dm1_final,'-*','LineWidth',1)
233
234 % title(['Calculated \dm1, number of refinements: ',num2str(
↪ meshref),'number of points',num2str(m)])
235 % legend('exact \dm1','computed \dm1')
236

```

```

237
238     %    hold off
239
240
241     meshref
242     %    plot(time_mesh, dm1(end,:)) %Plot calculated dm1 for each
↪ iteration in time adaptive algorithm.
243
244     %end
245     reler
246     %include time partitioning
247     %% Visualize    computed dm1
248     %figure
249     %surf(dm1)
250     %xlabel('time partition');
251     %ylabel('iteration');
252     %zlabel('dm1');
253     %title('Computed drug efficiency, dm1');
254
255
256     % presentation of the computed gradient
257     %figure
258     %surf(grad_hist)
259     %xlabel('time partition');
260     %ylabel('iteration');
261     %zlabel('gradient');
262     %title('Gradient of the functional');
263
264
265
266
267     if ( relativeerror < eps)
268         break
269     end
270
271
272     if (meshref > 1 & relativeerror > reler(meshref-1) )
273         break
274     end
275
276     %% Apply least-squares smoothing on the solution
277
278     %dm1_final = dm1(end,:);
279     N = length(dm1_final);
280     e = ones(N,1);
281     D = spdiags([e -2*e e], 0:2, N-2, N);
282     F = speye(N) + 50*(D'*D);
283     dm1_smooth = F\dm1_final';
284
285     figure
286     plot(time_mesh, exact_dm1, 'LineWidth', 2)
287
288         hold on
289     plot(time_mesh, dm1_guess, 'LineWidth', 2)
290
291     plot(time_mesh, dm1_smooth, 'LineWidth', 2)

```

```

292         legend('exact dm1','guess for dm1 (LS)','computed
↪ dm1 (smoothed CGM)')
293
294
295
296     % plot(time_mesh,dm1_final,'LineWidth',2)
297     % legend('exact \dm1','guess for \dm1','computed \dm1
↪ ')
298
299
300         xlabel('Time')
301
302
303     title(['Calculated dm1, number of refinements: ',num2str(
↪ meshref),'number of points',num2str(m)])
304
305     hold off
306 end

```

test_alpha_exp.m

```

1 %%
2 clc, clf
3
4 t_min=0;t_max=20; m=5000; x_initial = [5*10^6; 10^3; 10^3];
5 time_mesh=linspace(t_min,t_max,m);
6 alpha = [10^-11 10^-12 10^-10 10^-12 10^-12]*100;
7 alpha_1=alpha_vec(alpha(1),alpha(2),alpha(3),alpha(4),alpha(5),
↪ time_mesh);
8 x = ForwardODE23s(alpha_1,time_mesh,x_initial);
9 %x = ForwardNewton(alpha_1,time_mesh,x_initial);
10 %x = ForwardODE45(alpha_1,time_mesh,x_initial);
11 t_plot = linspace(0,20,5000);
12
13
14 alpha_unknown=1;
15 alpha_exp=calculate_alpha_exp(alpha,alpha_unknown,x,t_min,t_max);
16
17 %Ger vanlig skala
18 %plot(t_plot(2:end-1),alpha_exp,LineWidth=1.5)
19 %hold on
20 %plot([0 20],[alpha(alpha_unknown) alpha(alpha_unknown)], 'r--')
21 %legend('Explicit beräkning','Sanna parametervärdet')
22
23 %Ger logaritmisk skala
24 plot(t_plot(2:end-1),log10(alpha_exp),LineWidth=1.5)
25 hold on
26 plot([0 20],[log10(alpha(alpha_unknown)) log10(alpha(alpha_unknown)
↪ )], 'r--')
27 legend('Logaritmiska värdet av den explicita beräkningen','Sanna
↪ parametervärdet')
28
29 %%
30 function alpha = alpha_vec(dm1,dm2,at1,at2,k12,time_mesh)
31 scaling_factor_dm1 = dm1;

```

```

32 scaling_factor_dm2 = dm2;
33 scaling_factor_at1 = at1;
34 scaling_factor_at2 = at2;
35 scaling_factor_k12 = k12;
36
37 function_flag = 0; % constant
38
39 exact_dm1 = ExactParameter(scaling_factor_dm1,function_flag,
    ↪ time_mesh); %Exact profile for dm1 to produce data.
40 exact_dm2 = ExactParameter(scaling_factor_dm2,function_flag,
    ↪ time_mesh); %Exact profile for dm2 to produce data.
41 exact_at1 = ExactParameter(scaling_factor_at1,function_flag,
    ↪ time_mesh); %Exact profile for at1 to produce data.
42 exact_at2 = ExactParameter(scaling_factor_at2,function_flag,
    ↪ time_mesh); %Exact profile for at2 to produce data.
43 exact_k12 = ExactParameter(scaling_factor_k12,function_flag,
    ↪ time_mesh); %Exact profile for k12 to produce data.
44
45 alpha = [exact_dm1; exact_dm2; exact_at1; exact_at2; exact_k12];
46
47 end

```

test.m

```

1 %% Initials
2 clc; close all; clear all;
3 %%initial of x and time variables
4 m = 15; % number of observations
5 obs_start = 2.1; obs_end = 7; %interval of observations
6 time_final = 20;
7
8 time_mesh = linspace(0,time_final,m);
9 % x_initial = [x_T(0); x_M1(0); x_M2(0)]
10 % initial values that seems to fit fig 1a
11 x_initial = [5*10^6; 10^3; 10^3];
12
13
14 %% observations
15 alpha = alpha_vec(10^-9,10^-10,10^-8,10^-10,5*10^-10,time_mesh);
16 noise_level = 0.1;% 10% noise
17
18 %using ode45 since newton seems to have problems with low numbers
    ↪ for
19 % this particular system of odes
20
21 [g, g_brus1, g_add] = ExactODE45(alpha,time_mesh,noise_level,
    ↪ x_initial);
22 figure
23
24 plot(time_mesh,g(1,:), 'linewidth',2)
25 hold on
26 plot(time_mesh,g_brus1(1,:), '*')
27 legend('x_T, ode45', 'observations g1')
28 title(['ODE45 versus noisy data, noise , \delta= ', num2str(
    ↪ noise_level)]);

```

```

29
30
31 %% Test solver quality : Forward
32 figure
33 hold on
34 sch = 0;
35 for m2 = [15 20 50 100 500 1000]
36     time_mesh2 = linspace(0,time_final,m2);
37     alpha = alpha_vec(10^-9,10^-10,10^-8,10^-10,5*10^-10,time_mesh2
↪ );
38     FN = ForwardNewton(alpha,time_mesh2,x_initial);
39     F45 = ForwardODE45(alpha,time_mesh2,x_initial);
40     subtitle('ODE45 versus Newton for forward problem');
41 sch = sch+1;
42 subplot(2, 3, sch);
43 plot(time_mesh2,FN(1,:),'-r',time_mesh2,F45(1,:), '--b','linewidth'
↪ ,2);
44 subtitle('ODE45 versus Newton for forward problem');
45 xlabel(m2)
46
47 legend('x_T Newton', 'x_T ode45')
48 %     text(time_mesh2(end),FN(1,end),['N', num2str(m2)])
49 %     text(time_mesh2(end),F45(1,end),['45', num2str(m2)])
50 end
51
52 grid on
53
54
55
56
57 %% Test solver quality : Adjoint
58 clc
59 noise_level = 0.1;
60 time_obs = linspace(obs_start, obs_end, 15);
61 alpha_obs = alpha_vec(10^-9,10^-10,10^-8,10^-10,5*10^-10,time_obs);
62 [g, g_brus, g_add] = ExactODE45(alpha_obs,time_obs,noise_level,
↪ x_initial); % get observations
63 %interpolate to be able to use for other time meshes
64 gPol =@(t) [];
65 for j = 1:size(g_brus,1)
66     Pol_j =@(t) interp1(time_mesh,g_brus(j,:),t);
67     gPol =@(t) [gPol(t); Pol_j(t)];
68 end
69
70
71 figure
72 hold on
73
74 sch = 0;
75
76 for m2 = [15 20 50 100 500 1000]
77     time_mesh2 = linspace(0,time_final,m2);
78     alpha = alpha_vec(10^-9,10^-10,10^-8,10^-10,5*10^-10,time_mesh2
↪ );
79     g_brus = gPol(time_mesh2);
80     FN = ForwardNewton(alpha,time_mesh2,x_initial);

```



```

81     F45 = ForwardODE45(alpha,time_mesh2,x_initial);
82     AN = AdjointNewton(alpha, FN, g_brus, time_mesh2, obs_start,
    ↪ obs_end);
83     A45 = AdjointODE45(alpha, F45, g_brus, time_mesh2, obs_start,
    ↪ obs_end);
84     sch = sch+1;
85     subplot(2, 3, sch);
86     plot(time_mesh2,AN(2,:),'-r',time_mesh2,A45(2,:),'-b',
    ↪ linewidth',2)
87     %text(time_mesh2(1),A45(2,1),['', num2str(m2)])
88     %text(time_mesh2(end),FN(1,end),['45', num2str(m2)])
89     xlabel(m2)
90     legend('x_T Newton', 'x_T ode45')
91     title('ODE45 versus Newton for adjoint problem');
92     hold on
93 end
94     title('ODE45 versus Newton for adjoint problem');
95
96 grid on
97
98
99
100 hold off
101 %% Test Forward Newton vs ode45
102 alpha = alpha_vec(10^-9,10^-10,10^-8,10^-10,5*10^-10,time_mesh);
103 FN = ForwardNewton(alpha,time_mesh,x_initial);
104 F45 = ForwardODE45(alpha,time_mesh,x_initial);
105 figure
106 subplot(2, 3, 1);
107 plot(time_mesh,FN(1,:),time_mesh,F45(1,:),'-', 'linewidth',2)
108 legend('x_T Newton', 'x_T ode45')
109 grid on
110 hold on
111 %legend('x_T Newton', 'x_M1','x_M2','x_T ode45', 'x_M1','x_M2')
112
113 %% Newton and Raluca
114 %fig 1a
115 figure
116
117 alpha = alpha_vec(10^-9,10^-10,10^-8,10^-10,5*10^-10,time_mesh);
118 FN = ForwardNewton(alpha,time_mesh,x_initial);
119
120 subplot(2, 2, 1);
121 plot(time_mesh,FN,'--','linewidth',2)
122 grid on
123 legend('x_T', 'x_{M1}','x_{M2}')
124 title('(a)')
125 hold on
126
127 %fig 1b
128
129 alpha = alpha_vec(10^-11,10^-10,10^-8,10^-10,5*10^-10,time_mesh);
130 FN1 = ForwardNewton(alpha,time_mesh,x_initial);
131 alpha = alpha_vec(10^-9,10^-10,10^-8,10^-10,5*10^-10,time_mesh);
132 FN2 = ForwardNewton(alpha,time_mesh,x_initial);
133 alpha = alpha_vec(10^-7,10^-10,10^-8,10^-10,5*10^-10,time_mesh);

```

```

134 FN3 = ForwardNewton(alpha,time_mesh,x_initial);
135
136 subplot(2, 2, 2);
137 plot(time_mesh,FN1(1,:),':r',time_mesh,FN2(1,:),'-r',time_mesh,FN3
    ↪ (1,:),'-r', 'linewidth',2)
138 title('(b)')
139 legend('d_{m1} = 10^{-11}','d_{m1} = 10^{-9}','d_{m1} = 10^{-7}')
140 ylim([0 4*10^9])
141 grid on
142 hold on
143
144 %fig 1c
145
146 alpha = alpha_vec(10^-9,10^-12,10^-8,10^-10,5*10^-10,time_mesh);
147 FN1 = ForwardNewton(alpha,time_mesh,x_initial);
148 alpha = alpha_vec(10^-9,10^-10,10^-8,10^-10,5*10^-10,time_mesh);
149 FN2 = ForwardNewton(alpha,time_mesh,x_initial);
150 alpha = alpha_vec(10^-9,10^-8,10^-8,10^-10,5*10^-10,time_mesh);
151 FN3 = ForwardNewton(alpha,time_mesh,x_initial);
152
153 subplot(2, 2, 3);
154 plot(time_mesh,FN1(1,:),':r',time_mesh,FN2(1,:),'-r',time_mesh,FN3
    ↪ (1,:),'-r', 'linewidth',2)
155 title('(c)')
156 legend('d_{m1} = 10^{-11}','d_{m1} = 10^{-9}','d_{m1} = 10^{-7}')
157 ylim([0 4*10^9])
158 grid on
159 hold on
160
161 %fig 1d
162
163 alpha = alpha_vec(10^-9,10^-10,10^-10,10^-10,5*10^-10,time_mesh);
164 FN1 = ForwardNewton(alpha,time_mesh,x_initial);
165 alpha = alpha_vec(10^-9,10^-10,10^-8,10^-10,5*10^-10,time_mesh);
166 FN2 = ForwardNewton(alpha,time_mesh,x_initial);
167 alpha = alpha_vec(10^-9,10^-10,10^-6,10^-10,5*10^-10,time_mesh);
168 FN3 = ForwardNewton(alpha,time_mesh,x_initial);
169
170 subplot(2, 2, 4);
171 plot(time_mesh,FN1(1,:),':r',time_mesh,FN2(1,:),'-r',time_mesh,FN3
    ↪ (1,:),'-r', 'linewidth',2)
172 title('(d)')
173 legend('d_{m1} = 10^{-11}','d_{m1} = 10^{-9}','d_{m1} = 10^{-7}')
174 ylim([0 4*10^9])
175 grid on
176
177 % Test Adjoint newton vs ode45
178 alpha = alpha_vec(10^-9,10^-10,10^-8,10^-10,5*10^-10,time_mesh);
179 FN = ForwardNewton(alpha,time_mesh,x_initial);
180 F45 = ForwardODE45(alpha,time_mesh,x_initial);
181 AN = AdjointNewton(alpha, FN, g_brus1, time_mesh, obs_start,
    ↪ obs_end);
182 A45 = AdjointODE45(alpha, F45, g_brus1, time_mesh, obs_start,
    ↪ obs_end);
183
184 figure

```

```

185 for i = 1:size(AN,1)
186     subplot(2, 3, i);
187     plot(time_mesh,AN(i,:), 'linewidth',2)
188     plot(time_mesh,A45(i,:), '--', 'linewidth',2)
189     legend(['\lambda', num2str(i), 'Newton'], ['\lambda', num2str(i), '
↪ ode45'])
190     hold on
191 end
192
193
194 %% Inner functions
195
196 function alpha = alpha_vec(dm1, dm2, at1, at2, k12, time_mesh)
197     scaling_factor_dm1 = dm1;
198     scaling_factor_dm2 = dm2;
199     scaling_factor_at1 = at1;
200     scaling_factor_at2 = at2;
201     scaling_factor_k12 = k12;
202
203     function_flag = 0; % constant
204
205     exact_dm1 = ExactParameter(scaling_factor_dm1, function_flag,
↪ time_mesh); %Exact profile for dm1 to produce data.
206     exact_dm2 = ExactParameter(scaling_factor_dm2, function_flag,
↪ time_mesh); %Exact profile for dm2 to produce data.
207     exact_at1 = ExactParameter(scaling_factor_at1, function_flag,
↪ time_mesh); %Exact profile for at1 to produce data.
208     exact_at2 = ExactParameter(scaling_factor_at2, function_flag,
↪ time_mesh); %Exact profile for at2 to produce data.
209     exact_k12 = ExactParameter(scaling_factor_k12, function_flag,
↪ time_mesh); %Exact profile for k12 to produce data.
210
211     alpha = [exact_dm1; exact_dm2; exact_at1; exact_at2; exact_k12
↪ ];
212
213 end

```

test2_Chebyshev.m

```

1 %% Initials
2 clc; close all; clear all;
3 %%initial of x and time variables
4 m = 15; % number of observations
5 obs_start = 2.1; obs_end = 7; %interval of observations
6 time_final = 20;
7 t_min = 0;
8
9 %time_mesh = linspace(0,time_final,m);
10 % x_initial = [x_T(0); x_M1(0); x_M2(0)]
11 % initial values that seems to fit fig 1a
12 x_initial = [5*10^6; 10^3; 10^3];
13 time_mesh = [];
14 for k = 1:m
15     time_mesh(end+1) = -(time_final-t_min)/2*cos((2*k-1)*pi/(2*m))
↪ + (time_final+t_min)/2;

```

```

16 end
17
18 %% observations
19 alpha = alpha_vec(10^-9,10^-10,10^-8,10^-10,5*10^-10,time_mesh);
20 noise_level = 0.1;% 10% noise
21
22 %using ode45 since newton seems to have problems with low numbers
    ↪ for
23 % this particular system of odes
24
25 [g, g_brus, g_add] = ExactODE45(alpha,time_mesh,noise_level,
    ↪ x_initial);
26 figure
27
28 plot(time_mesh,g(1,:), 'linewidth',2)
29 hold on
30 plot(time_mesh,g_brus(1,:), '*')
31 legend('x_T, ode45', 'observations g1')
32 title(['ODE45 versus noisy data, noise , \delta= ', num2str(
    ↪ noise_level)]);
33
34
35 %% Test solver quality : Forward
36 figure
37
38 hold on
39 sch = 0;
40 for m2 = [50 100 200 400 800 1000]
41     time_mesh2 = linspace(0,time_final,m2);
42     alpha = alpha_vec(10^-9,10^-10,10^-8,10^-10,5*10^-10,time_mesh2
    ↪ );
43     FN = ForwardNewton(alpha,time_mesh2,x_initial);
44     F45 = ForwardODE45(alpha,time_mesh2,x_initial);
45
46     sch = sch+1;
47     subplot(2, 3, sch);
48
49     plot(time_mesh2, FN(1,:), '-r', time_mesh2, F45(1,:), '--b', 'linewidth'
    ↪ ,2);
50     title(' forward problem');
51     xlabel(m2)
52
53     legend('x_T Newton', 'x_T ode45')
54     %     text(time_mesh2(end), FN(1,end), ['N', num2str(m2)])
55     %     text(time_mesh2(end), F45(1,end), ['45', num2str(m2)])
56 end
57
58 grid on
59
60
61 hold off
62
63
64 %% Test solver quality : Adjoint
65 clc
66 noise_level = 0.1;

```

```

67 time_obs = linspace(obs_start, obs_end, 15);
68 alpha_obs = alpha_vec(10^-9,10^-10,10^-8,10^-10,5*10^-10,time_obs);
69 [g, g_brus, g_add] = ExactODE45(alpha_obs,time_obs,noise_level,
    ↪ x_initial); % get observations
70 %interpolate to be able to use for other time meshes
71 gPol =@(t) [];
72 for j = 1:size(g_brus,1)
73     Pol_j =@(t) interp1(time_mesh,g_brus(j,:),t);
74     gPol =@(t) [gPol(t); Pol_j(t)];
75 end
76
77
78 figure
79 hold on
80
81 sch = 0;
82
83 for m2 = [50 100 200 400 800 1000]
84     time_mesh2 = linspace(0,time_final,m2);
85     alpha = alpha_vec(10^-9,10^-10,10^-8,10^-10,5*10^-10,time_mesh2
    ↪ );
86     g_brus = gPol(time_mesh2);
87     FN = ForwardNewton(alpha,time_mesh2,x_initial);
88     F45 = ForwardODE45(alpha,time_mesh2,x_initial);
89     AN = AdjointNewton(alpha, FN, g_brus, time_mesh2, obs_start,
    ↪ obs_end);
90     A45 = AdjointODE45(alpha, F45, g_brus, time_mesh2, obs_start,
    ↪ obs_end);
91
92 sch = sch+1;
93 subplot(2, 3, sch);
94     plot(time_mesh2,AN(2,:),'-r',time_mesh2,A45(2,:),'-b',
    ↪ linewidth',2)
95     % text(time_mesh2(1),A45(2,1),['', num2str(m2)])
96     % text(time_mesh2(end),FN(1,end),['45', num2str(m2)])
97     xlabel(m2)
98     title('adjoint problem');
99     legend('x_T Newton', 'x_T ode45')
100 end
101
102
103 grid on
104
105
106
107 hold off
108
109 %% Inner functions
110
111 function alpha = alpha_vec(dm1,dm2,at1,at2,k12,time_mesh)
112     scaling_factor_dm1 = dm1;
113     scaling_factor_dm2 = dm2;
114     scaling_factor_at1 = at1;
115     scaling_factor_at2 = at2;
116     scaling_factor_k12 = k12;
117

```

```

118     function_flag = 0; % constant
119
120     exact_dm1 = ExactParameter(scaling_factor_dm1,function_flag,
    ↪ time_mesh); %Exact profile for dm1 to produce data.
121     exact_dm2 = ExactParameter(scaling_factor_dm2,function_flag,
    ↪ time_mesh); %Exact profile for dm2 to produce data.
122     exact_at1 = ExactParameter(scaling_factor_at1,function_flag,
    ↪ time_mesh); %Exact profile for at1 to produce data.
123     exact_at2 = ExactParameter(scaling_factor_at2,function_flag,
    ↪ time_mesh); %Exact profile for at2 to produce data.
124     exact_k12 = ExactParameter(scaling_factor_k12,function_flag,
    ↪ time_mesh); %Exact profile for k12 to produce data.
125
126     alpha = [exact_dm1; exact_dm2; exact_at1; exact_at2; exact_k12
    ↪ ];
127
128 end

```

test2.m

```

1 %% Initials
2 clc; close all; clear all;
3 %%initial of x and time variables
4 m = 15; % number of observations
5 obs_start = 2.1; obs_end = 7; %interval of observations
6 time_final = 20;
7
8 time_mesh = linspace(0,time_final,m);
9 % x_initial = [x_T(0); x_M1(0); x_M2(0)]
10 % initial values that seems to fit fig 1a
11 x_initial = [5*10^6; 10^3; 10^3];
12
13
14 %% observations
15 alpha = alpha_vec(10^-9,10^-10,10^-8,10^-10,5*10^-10,time_mesh);
16 noise_level = 0.1;% 10% noise
17
18
19 [g, g_brus, g_add] = ExactODE45(alpha,time_mesh,noise_level,
    ↪ x_initial);
20 figure
21
22 plot(time_mesh,g(1,:), 'linewidth',2)
23 hold on
24 plot(time_mesh,g_brus(1,:), '*')
25 legend('x_T, ode45', 'observations g1')
26 title(['ODE45 versus noisy data, noise , \delta= ', num2str(
    ↪ noise_level)]);
27
28
29 %% Test solver quality : Forward
30 figure
31
32 hold on
33 sch = 0;

```

```

34 for m2 = [50 100 200 400 800 1000]
35     time_mesh2 = linspace(0,time_final,m2);
36     alpha = alpha_vec(10^-9,10^-10,10^-8,10^-10,5*10^-10,time_mesh2
↪ );
37     FN = ForwardNewton(alpha,time_mesh2,x_initial);
38     F45 = ForwardODE45(alpha,time_mesh2,x_initial);
39
40 sch = sch+1;
41 subplot(2, 3, sch);
42
43 plot(time_mesh2,FN(1,:), '-r',time_mesh2,F45(1,:), '--b', 'linewidth'
↪ ,2);
44 title(' forward problem');
45 xlabel(m2)
46
47 legend('x_T Newton', 'x_T ode45')
48 %     text(time_mesh2(end),FN(1,end),['N', num2str(m2)])
49 %     text(time_mesh2(end),FN(1,end),['45', num2str(m2)])
50 end
51
52 grid on
53
54
55 hold off
56
57
58 %% Test solver quality : Adjoint
59 clc
60 noise_level = 0.1;
61 time_obs = linspace(obs_start, obs_end, 15);
62 alpha_obs = alpha_vec(10^-9,10^-10,10^-8,10^-10,5*10^-10,time_obs);
63 [g, g_brus, g_add] = ExactODE45(alpha_obs,time_obs,noise_level,
↪ x_initial); % get observations
64 %interpolate to be able to use for other time meshes
65 gPol =@(t) [];
66 for j = 1:size(g_brus,1)
67     Pol_j =@(t) interp1(time_mesh,g_brus(j,:),t);
68     gPol =@(t) [gPol(t); Pol_j(t)];
69 end
70
71
72 figure
73 hold on
74
75 sch = 0;
76
77 for m2 = [50 100 200 400 800 1000]
78     time_mesh2 = linspace(0,time_final,m2);
79     alpha = alpha_vec(10^-9,10^-10,10^-8,10^-10,5*10^-10,time_mesh2
↪ );
80     g_brus = gPol(time_mesh2);
81     FN = ForwardNewton(alpha,time_mesh2,x_initial);
82     F45 = ForwardODE45(alpha,time_mesh2,x_initial);
83     AN = AdjointNewton(alpha, FN, g_brus, time_mesh2, obs_start,
↪ obs_end);
84     A45 = AdjointODE45(alpha, F45, g_brus, time_mesh2, obs_start,

```

```

    ↪ obs_end);
85
86 sch = sch+1;
87 subplot(2, 3, sch);
88 plot(time_mesh2,AN(2,:), '-r', time_mesh2, A45(2,:), '--b', '
    ↪ linewidth', 2)
89 % text(time_mesh2(1), A45(2,1), ['', num2str(m2)])
90 % text(time_mesh2(end), FN(1,end), ['45', num2str(m2)])
91 xlabel(m2)
92 title('adjoint problem');
93 legend('x_T Newton', 'x_T ode45')
94 end
95
96
97 grid on
98
99
100
101 hold off
102
103 %% Inner functions
104
105 function alpha = alpha_vec(dm1, dm2, at1, at2, k12, time_mesh)
106     scaling_factor_dm1 = dm1;
107     scaling_factor_dm2 = dm2;
108     scaling_factor_at1 = at1;
109     scaling_factor_at2 = at2;
110     scaling_factor_k12 = k12;
111
112     function_flag = 0; % constant
113
114     exact_dm1 = ExactParameter(scaling_factor_dm1, function_flag,
    ↪ time_mesh); %Exact profile for dm1 to produce data.
115     exact_dm2 = ExactParameter(scaling_factor_dm2, function_flag,
    ↪ time_mesh); %Exact profile for dm2 to produce data.
116     exact_at1 = ExactParameter(scaling_factor_at1, function_flag,
    ↪ time_mesh); %Exact profile for at1 to produce data.
117     exact_at2 = ExactParameter(scaling_factor_at2, function_flag,
    ↪ time_mesh); %Exact profile for at2 to produce data.
118     exact_k12 = ExactParameter(scaling_factor_k12, function_flag,
    ↪ time_mesh); %Exact profile for k12 to produce data.
119
120     alpha = [exact_dm1; exact_dm2; exact_at1; exact_at2; exact_k12
    ↪ ];
121
122 end

```

test3.m

```

1 %% Initials
2 clc; close all; clear all;
3 %%initial of x and time variables
4 m = 15; % number of observations
5 obs_start = 2.1; obs_end = 7; %interval of observations
6 time_final = 20;

```



```

7
8 time_mesh = linspace(0,time_final,m);
9 % x_initial = [x_T(0); x_M1(0); x_M2(0)]
10 % initial values that seems to fit fig 1a
11 x_initial = [5*10^6; 10^3; 10^3];
12
13
14 %% observations
15 alpha = alpha_vec(10^-9,10^-10,10^-8,10^-10,5*10^-10,time_mesh);
16 noise_level = 0.1;% 10% noise
17
18 %using ode45 since newton seems to have problems with low numbers
19   ↪ for
20 % this particular system of odes
21 [g, g_brus, g_add] = ExactODE45(alpha,time_mesh,noise_level,
22   ↪ x_initial);
23 figure
24 plot(time_mesh,g(1,:), 'linewidth',2)
25 hold on
26 plot(time_mesh,g_brus(1,:), '*')
27 legend('x_T, ode45', 'observations g1')
28 title(['ODE45 versus noisy data, noise , \delta= ', num2str(
29   ↪ noise_level)]);
30
31 %% Test solver quality : Forward
32 figure
33
34 hold on
35 sch = 0;
36 for m2 = [50 100 200 400 800 1000]
37     time_mesh2 = linspace(0,time_final,m2);
38     alpha = alpha_vec(10^-9,10^-10,10^-8,10^-10,5*10^-10,time_mesh2
39     ↪ );
40
41     F45 = ForwardODE45(alpha,time_mesh2,x_initial);
42
43 sch = sch+1;
44 subplot(2, 3, sch);
45
46 plot(time_mesh2,F45(1,:), '--r',time_mesh2,F45(2,:), '--b',time_mesh2
47     ↪ ,F45(3,:), '--m', 'linewidth',2);
48
49 title(' forward problem');
50 xlabel(m2)
51 xlabel(['nr. of discr. points:', num2str(m2)]);
52 %title(['ODE45 versus noisy data, noise , \delta= ', num2str(
53     ↪ noise_level)]);
54 legend('x_T', 'x_{M_1}', 'x_{M_2}')
55
56

```

```

57 %     text(time_mesh2(end),FN(1,end),['N', num2str(m2)])
58 %     text(time_mesh2(end),FN(1,end),['45', num2str(m2)])
59 end
60
61 grid on
62
63
64 hold off
65
66
67 %% Inner functions
68
69 function alpha = alpha_vec(dm1, dm2, at1, at2, k12, time_mesh)
70     scaling_factor_dm1 = dm1;
71     scaling_factor_dm2 = dm2;
72     scaling_factor_at1 = at1;
73     scaling_factor_at2 = at2;
74     scaling_factor_k12 = k12;
75
76     function_flag = 0; % constant
77
78     exact_dm1 = ExactParameter(scaling_factor_dm1, function_flag,
79     ↪ time_mesh); %Exact profile for dm1 to produce data.
80     exact_dm2 = ExactParameter(scaling_factor_dm2, function_flag,
81     ↪ time_mesh); %Exact profile for dm2 to produce data.
82     exact_at1 = ExactParameter(scaling_factor_at1, function_flag,
83     ↪ time_mesh); %Exact profile for at1 to produce data.
84     exact_at2 = ExactParameter(scaling_factor_at2, function_flag,
85     ↪ time_mesh); %Exact profile for at2 to produce data.
86     exact_k12 = ExactParameter(scaling_factor_k12, function_flag,
87     ↪ time_mesh); %Exact profile for k12 to produce data.
88
89     alpha = [exact_dm1; exact_dm2; exact_at1; exact_at2; exact_k12
90     ↪ ];
91 end

```